

ДОКЛАД
О ЛЕДОВОМ РЕЖИМЕ РЕКИ ДУНАЯ

RAPPORT
SUR LE REGIME DES GLACES DU DANUBE

ДУНАЙСКАЯ КОМИССИЯ
БУДАПЕШТ, 1967

COMMISSION DU DANUBE
BUDAPEST, 1967

Д О К Л А Д
о ледовом режиме реки Дуная

Дунайская Комиссия
Будапешт, 1967 г.

Настоящий Доклад о ледовом режиме реки Дуная разработан в соответствии с решением XXIII сессии Дунайской Комиссии на основе материалов, полученных от придунайских стран, данных и графиков, полученных от Научно-Исследовательского института Венгерской Народной Республики, Доклада о ледовом режиме, изданного Дунайской Комиссией в 1959 году, и других изданий Дунайской Комиссии, а также материалов придунайских стран, опубликованных в специальной литературе.

Доклад о ледовом режиме может служить справочным материалом для организаций, занимающихся эксплуатацией дунайского флота.

Обработанные статистические данные и графики могут быть использованы для прогнозирования ледовых явлений на отдельных участках Дуная.

Содержащиеся в Докладе описания характеристик ледового режима отдельных участков и раздел о борьбе со льдом могут быть использованы компетентными органами, занимающимися этими проблемами.

I. ОБРАЗОВАНИЕ ЛЬДА И ЛЕДОВЫЕ ЯВЛЕНИЯ НА РЕКАХ

I.I. ОБРАЗОВАНИЕ ЛЬДА

Развитие мировой экономики требует обеспечения транспортировки грузов в течение всего года. Однако с наступлением зимнего периода и образованием льда навигация обычно прекращается на реках и озерах. Это неблагоприятное положение требует изучения возможностей и способов продления навигационного периода на крупных водных магистралях.

На образование льда на реках влияют многочисленные факторы, тем более, что основные параметры рек и отдельных их участков отличаются друг от друга. Одним из основных показателей, принимаемых во внимание, является водный и температурный режим реки в различные годы.

В водном потоке при турбулентном движении охлажденные поверхностные слои воды смешиваются с остальной массой воды и таким образом температура воды во всем живом сечении реки почти одинакова.

Холодные поверхностные слои воды охлаждают также и русло реки.

В водохранилищах и в озерах с относительно большими глубинами, наоборот, имеет место температурное расслоение воды по глубине. Ледовые явления на водотоках наступают позднее, чем в стоячей или медленно движущейся воде. На больших реках ледовые явления наступают позже, чем на малых, где расход воды меньше и она быстрее охлаждается. Аналогичное явление наблюдается и на отдельных участках одной реки, где при одинаковых температурных условиях воздуха дата появления льда на участках может быть различной.

При понижении температуры воздуха вода постепенно охлаждается и под влиянием турбулентности температура всей массы воды падает ниже 0°C , вследствие чего начинается образование льда.

Принята следующая классификация видов льда:

- поверхностный лёд;
- внутриводный лёд /шуга/;
- донный лёд.

I.2. ЛЕДОВЫЕ ЯВЛЕНИЯ НА РЕКАХ

Осенний ледоход. Продолжительность осеннего ледохода на больших реках колеблется в довольно широких пределах, а на Дунае в некоторые годы достигает 90 дней, но бывают годы, когда ледоход продолжается только одну неделю, а затем наступает ледостав.

Ледостав. При постоянном понижении температуры воздуха ледоход становится более густым и на самых неблагоприятных, с точки зрения прохода льда, участках реки лёд останавливается. Скорость образования ледового покрова зависит в первую очередь от количества плывущего по реке льда и от температурных условий, способствующих его образованию; во вторую очередь - от величины расхода воды и скорости потока, от ветра, от размеров водного зеркала и, наконец, от морфологических условий русла реки. Изучение зависимостей между указанными элементами даёт возможность прогнозирования ледовых явлений.

В случае образования ледяного свода вся масса воды течет в закрытом створе под поверхностью ледяного покрова, который вначале сильно шероховат, следствие чего резко сокращается гидравлический радиус и возникает подпор уровня воды, который распространяется вверх по реке от ледяного свода. Вследствие уменьшения уклона поверхности воды и скорости течения, возможно образование нового свода в месте выклинивания подпора.

Полынь. Участок между двумя ледяными сводами может оставаться долгое время свободным от ледяного покрова, но в то же время здесь может происходить интенсивное образование разных видов льда, который течение уносит под нижележащий свод. Такое положение очень часто является причиной образования захоров.

Часто вследствие повышения уровня воды или временного потепления начинается подвижка ледяного покрова и льдины начинают тороситься под или над прочно стоящим льдом. Если лёд незначительно сужает живое сечение реки, то это явление принято называть торошением, если же лёд сильно сужает его, то образуется затор.

Затор - такое явление, когда льдины нагромождаются одна на другую и течением уносятся под поверхность лёд, образуя нечто вроде ледяной плотины, которая почти преграждает путь поступающей сверху воде. Выше затора уровень воды резко повышается, а ниже затора - падает. Участок выше затора покрывается льдом, а ниже затора, естественно, ледоход почти прекращается. Заторы прорываются, когда подъем воды выше затора доходит до таких размеров, что сила напора воды становится больше устойчивости скопившихся ледовых масс. Ледяные заторы очень опасны, так как они создают большое повышение уровня воды и при прорыве часто вызывают значительное разрушение береговых укреплений, защитных дамб, деформации берегов и русла.

В верхней части бассейна Дуная в весенние оттепели часто выпадают обильные дожди и, как следствие, быстрее происходит таяние снежного покрова. Такое сочетание способствует образованию паводков. Если на своем пути паводки сталкиваются с весьма прочным ледяным покровом, возникает опасность образования заторов. Льдины, плывущие сверху, сталкиваются с прочным покровом и при торошении теряют своё горизонтальное положение. Часто на участке длиной в несколько километров льдины стоят почти вертикально, перекрывая значительную часть поперечного сечения реки и образуя громадный затор, выше которого река выходит из берегов.

Зажор - явление, образующееся в результате скопления под ледяным покровом внутриводного льда, а также поверхностных льдин. Забивая живое сечение реки, большие скопления внутриводного льда преграждают путь прибывающей сверху воде, как это наблюдается и при заторах, и вызывают явления, присущие последним. Зажоры обычно возникают на участках, расположенных ниже полыней или гидроузлов, откуда при сильных морозах поступают большие массы внутриводного льда.

На Дунае при ледоставе и образовании ледяного покрова больших размеров, на любом участке реки могут образовываться заторы и зажоры и вследствие этого могут иметь место наводнения, которые наносят значительные ущербы и ухудшают навигационные условия реки.

2. ИМЕЮЩИЕСЯ ДАННЫЕ И МЕТОД ИХ ОБРАБОТКИ

2.I. ИМЕЮЩИЕСЯ ДАННЫЕ

2.II. Морфологические данные

Основой для морфологических описаний служили Схематический план реки Дуная /приложение № I/, Продольный профиль реки Дуная /приложение № 5, графикA/, Навигационные карты, Километровник, Лоция реки Дуная, Описание фарватера реки Дуная, План основных работ на Дунае /1961 - 1965 гг./, изданные Дунайской Комиссией, а также данные, опубликованные в придунайских странах.

2.I2. Данные о характеристиках ледового режима

В настоящее время наблюдения за ледовыми явлениями проводятся с учетом Рекомендаций по дальнейшей координации гидрометеорологических наблюдений и гидрометеорологической службы на Дунае /изд.ДК/.

Прилагаемые к настоящему докладу таблицы и графики составлены на основе статистической обработки данных по 72 водомерным постам, указанным в таблицах № I и № УІ , на которых продолжительное время уже проводятся наблюдения за ледовыми явлениями.

Как рабочий материал в архиве Дунайской Комиссии находятся графики по 72 водомерным постам, которые содержат данные о ледовом режиме с указанием периодов, когда наблюдалась ледоход и ледостав, даты появления льда и вскрытия реки по годам. Из графиков видна последовательность ледовых явлений. В качестве примера приводятся данные по водомерным постам Швабельвейс, Вена, Братислава, Будапешт, Нови-Сад, Джурджу и Браила /приложение № 2, схемы a, b, c, d, e, f, g./.

2.I3. Данные о температуре воздуха и воды

В целях изучения связи между ледовыми явлениями и метеорологическими условиями были использованы:

a/ Ежедневные средние температуры воздуха за зимний период /ноябрь - март/ по метеорологическим станциям, указанным в таблице № П и приложении № 3.

В отношении температурных данных воздуха необходимо отметить, что большинство метеорологических станций расположено в местах более или менее удаленных от реки и в связи с этим их данные полностью не соответствуют данным о температуре воздуха вдоль реки. Вследствие сказанного, эти данные нельзя считать однородными и вычисления на их основе могут служить лишь для общей ориентации.

б/ Средние температуры воды также за зимний период /ноябрь - март/ по водомерным постам, указанным в таблице № III и в приложении № 4.

2. I4. Уровни воды

По уровням воды в распоряжении имелись многочисленные, почти полные, данные, полученные от компетентных органов придунайских стран и обобщенные в гидрологических ежегодниках Дунайской Комиссии.

2.2. МЕТОД СТАТИСТИЧЕСКОЙ ОБРАБОТКИ ДАННЫХ

2.2I. Обработка данных о ледовом режиме

Ввиду отсутствия некоторых данных по 72 водомерным постам /см. приложение № 2, схемы а, б, с, д, е, ф, г./ в наблюдаемом периоде имеющиеся данные не однородны и вследствие этого вычисленные на их основе характеристики ледового режима не совсем идентичны /см. таблицу VI/.

Однако при изучении разниц, имеющихся в периодах наблюдений, оказалось, что они значительно не влияют на расхождения в характеристиках и остаются в пределах ошибок, допускаемых на практике.

Таблица № I, составленная на основе графиков /см. приложение № 2/, содержит следующие характеристические данные по каждому водомерному посту:

- самая ранняя дата появления льда и ледостава;
- самая поздняя дата вскрытия реки;
- окончательное очищение реки от льда и его крайние даты;
- наблюдавшаяся продолжительность ледового периода, ледостава, ледохода и их средняя продолжительность;

- годовая повторяемость /в %/ появления льда и ледостава;
- показатель ледостава.

Приложение № 5, которое показывает по водомерным постам изменения характеристик ледового режима вдоль реки, содержит следующие данные:

- a/ крайние уровни воды,
- b/ схему Дуная;
- c/ годовую вероятность появления льда и наступления ледостава;
- d/ среднюю годовую продолжительность наличия льда и ледостава;
- e/ показатель ледостава;
- f/ сумму средних отрицательных и положительных температур, предшествующих разным ледовым явлениям /см. п.2.22 и таблицу № у/.

В связи с тем, что обработанные данные наблюдений покрывают достаточно длительный период, можно считать, что кривые величин, указанных в пунктах "e" и "f" /показатель ледостава и сумма отрицательных и положительных температур, предшествующая в среднем разным ледовым явлениям/ являются не только кривыми повторяемости, но и приближенными кривыми вероятности, которые в дальнейшем могут служить для прогнозирования.

С целью получения однородных величин продолжительности ледовых явлений при вычислении средних величин были учтены годы всего периода /даже те годы, когда ледовые явления не наблюдались/.

Распределение повторяемости отдельных ледовых явлений по водомерным постам было принято для того, чтобы иметь возможность более глубоко изучить характеристики ледовых явлений и сделать практические выводы.

Повторяемости подытоживались последовательно и величины, полученные таким образом, были выражены в процентах к числу лет анализируемого периода /сравнительная повторяемость/. Ломаная линия соответствует, таким образом, вычисленным величинам, а выпрямленная - осредненным величинам. Такие линии могут считаться аппроксимативными кривыми сравнительной вероятности появления данного явления.

Кроме того, определено также по пентадам число дней с наличием льда и ледоставом, т.е. распределение повторяемости этих

явлений. Полученные величины выражены в процентах к числу пентад и нанесены в виде ординат без осреднения.

В качестве примера составлены приложение 6, рис. а, б, с, д, е, ф, и г и таблица № IУ.

Кривые сравнительной вероятности появления первого льда и начала ледостава начинаются от 0% и не достигают 100%, так как на Дунае лёд появляется не каждый год. Кривые окончательного вскрытия реки и окончательного очищения реки ото льда не могут начинаться от 0%, так как на Дунае имеется определенная вероятность того, что лёд не появится и не остановится, но наоборот, достигают 100%, так как река обязательно освобождается ото льда.

На основе кривых вероятности наличия ледовых явлений вычислено, в каком проценте случаев можно ожидать появление льда до определенной даты или же его исчезновение после определенной даты.

Ступенчатые линии, изображающие повторяемость ледовых явлений, показывают в процентах повторяемость наличия льда или ледостава в определенной пентаде или же процентную вероятность их повторяемости в будущем.

По указанным кривым можно определить продолжительность наличия отдельных ледовых явлений, имеющих среднюю 50-процентную вероятность. Эти данные приведены в таблице № I.

На основе графиков /см.приложение 6/ по 72 основным водомерным постам, были составлены:

а/ два графика, приложение 7, изображающие на протяжении всей судоходной части Дуная самые ранние и самые поздние даты первого появления и окончательного исчезновения льда, ледостава и окончательного очищения реки, а также 5, 10, 20 и т.д. 80, 90, 95-процентную вероятность этих дат.

Сплошные линии определяют те сроки, в пределах которых возможно появление льда и ледостава, пунктир - сроки, в пределах которых возможно вскрытие и окончательное очищение реки ото льда.

б/ Приложение 8, в котором приведен новый способ вычисления повторяемости наличия льда и ледостава, предложенный Научно-Исследовательским Водохозяйственным институтом ВНР. На рисунке в приложении наглядно показаны разные проценты повторяемости наличия льда и ледостава.

В связи с тем, что для составления кривых повторяемости были использованы данные за 60-летний период, можно их считать кривыми вероятности и на их основе определить в процентах вероятность наличия льда и ледостава на отдельных участках Дуная для любого периода зимнего времени.

2.22. Обработка данных о температурах воздуха и воды

В приложении № 3 и в таблице № П указаны изменения зимних /декабрь-февраль/ и январских средних температур воздуха, определенных на основе данных двадцатилетнего периода 1940/41 - 1959/60 гг.

В отношении общих температурных условий воздуха вдоль Дуная из графика видно, что на Верхнем Дунае до Девина, а на Нижнем Дунае от Турну-Северина зимние и январские средние температуры значительно ниже, чем на Среднем Дунае. Самые высокие температуры наблюдались у Белграда. Климат Верхнего и Нижнего Дуная суровее, чем Среднего Дуная. График наглядно показывает влияние Карпат на климат Среднего Дуная в зимний период.

На Нижнем Дунае кривая средних температур выпрямлена у водомерного поста Чернавода и Галац. У города Чернавода средняя зимняя температура на +1,3°С и январская температура на +0,7° выше осредненной температуры. У города Галац средняя зимняя температура воздуха на -0,8°С и средняя январская на -0,6°С ниже осредненной температуры. Также значительное отклонение температур от осредненной имеет место на участке между Джурджу и Тульчей.

На графике показаны две кривые, пунктиром указано отклонение от кривой осредненной температуры.

Меньшее отклонение средней январской температуры наблюдается в Девинских воротах, где она снижается на -0,4°С у Братиславы и затем плавно повышается вниз по Дунаю.

В приложении № 4 и в таблице № III на основе имеющихся данных, приведены средние зимние и декабрьские - февральские температуры воды на протяжении Дуная от Регенсбурга до Сулины.

Между температурами воздуха и воды существует определенная связь. Изменения температуры воды, как это видно также по графикам гидрологических ежегодников, изданных Дунайской Комиссией, следуют за изменениями температуры воздуха с запозданием и притом неравномерным. Кривая температуры воды более ровная, чем кривая температуры воздуха.

Кроме изменений средней зимней и январской температуры воздуха и воды вдоль реки, была также определена по метеорологическим станциям сумма положительных и отрицательных температур, предшествующих отдельным ледовым явлениям.

Под выражением "сумма положительных /отрицательных/ температур, предшествующих отдельным ледовым явлениям" подразумевается сумма средней дневной температуры за определенный период времени, начинающийся со дня понижения /повышения/ дневной средней температуры ниже /выше/ 0°C и оканчивающейся с наступлением данного ледового явления.

Суммы положительных и отрицательных температур, предшествующие ледовым явлениям, были определены по 50 водомерным постам по отношению к тем зимним периодам, по которым имелись в распоряжении аппарата данные о ледовом режиме и температуре воздуха.

В виду того, что метеорологических станций вдоль Дуная намного меньше, чем водомерных постов, были использованы данные о температурах воздуха отдельных метеорологических станций, расположенных в небольшом удалении от водомерных постов.

В таблице № У по водомерным постам Дуная указаны суммы положительных и отрицательных температур, предшествующие в среднем первому появлению льда и наступлению ледостава или вскрытию реки.

В таблице У даны суммы отрицательных температур, предшествующие первому появлению льда, для водомерных постов участка Энгельхартсцель - Ибс; данные, приведенные в скобках, указывают суммы отрицательных температур до строительства гидроузла Кахлет, а данные без скобок - после строительства гидроузла.

В приложении № 5, график "Г" указаны изменения суммы положительных и отрицательных температур, предшествующей разным ледовым явлениям.

2.23. Обработка данных об уровнях воды

В таблице № УІ показаны величины характерных уровней воды в периоды ледовых явлений и без них по 78 водомерным постам на протяжении Дуная от Регенсбурга до Сулины. В приложении № 5, график "А" показаны изменения этих величин в продольном профиле.

В качестве характерного минимального уровня воды без ледовых явлений принята линия, соединяющая наименьшие уровни, наблюдавшиеся осенью 1947 года, когда уровни воды были исключительно низкими и по всему течению реки одновременно наступили крайне малые воды. Следует отметить, что в октябре - ноябре 1921 года на участке Хыршова - Сулина наблюдались еще более низкие уровни воды, но они не характеризуют маловодье, так как они наступили не одновременно.

Изображенные линии уровней не представляют уровень, наблюдаемый в точно идентичный срок, а являются соединяющими линиями крайних величин низких уровней, наблюдавшихся на отдельных водомерных постах в период маловодья.

В приложении № 5, график "А" приводятся те же наименьшие уровни в период ледовых явлений, которые были меньше, чем величины осеннего маловодья, без ледовых явлений в 1947 году. Хотя эти величины расходятся по времени, они соединены между собой линией, которая важна для определения глубин в зимовниках.

В приложении № 5, график "А" указаны также величины наивысших уровней воды при ледовых явлениях и без них.

3. ХАРАКТЕРИСТИКА ЛЕДОВОГО РЕЖИМА РЕКИ ДУНАЯ

3.II. Годовая вероятность появления льда и ледостава

В приложении № 5, график "С" показаны ледовые явления по всему течению Дуная и их годовая вероятность, которая колеблется в сравнительно небольших пределах между 93% /Будапешт, 1646,5 км/ и 72% /Груя, 851 км/.

Ледостав или образование сплошного ледяного покрова не является регулярно повторяемым явлением и имеются довольно большие по протяженности участки реки, на которых ледостав никогда не наблюдался. Например, на участке Верхнего Дуная между Пассау и Пёхларн /2230 - 2043 км/ до строительства плотин Йохенштайн, Аах и Ибс-Перзенбёйг ледостав никогда не наблюдался. Ниже узкости Сиколовац и ущелья Казаны, которые частично закрывают живое сечение для пропуска льда, а также между ущельем Казаны и Турну-Северином ледостав практически никогда не наблюдался.

Из приложения № 5, график "С" видно, что в верхнем бьефе гидроузла Кахлет /2230,5 км/ вероятность ледостава доходит до 51%, на Среднем Дунае, вверх от устья р.Дравы /1383,5 км/ - до 65%, в узкости Сиколовац - до 50%, на участке Железных Ворот - до 74% и у Сулины наблюдается максимум, где вероятность ледостава доходит до 82%.

На основе этого графика можно также определить вероятность наступления ледостава в любом створе на протяжении всего Дуная.

3.12. Характерные даты ледовых явлений

В таблице I даны крайние даты появления льда, наступления ледостава, вскрытия ледяного покрова и очищения реки от льда. В приложении № 7, график "А" показаны крайние даты с различными вероятностями наступления и прекращения периода со льдом /в процентах/. Из графика видно, что появление льда и его исчезновение в общем, относительно равномерно по всему течению Дуная, в зависимости от метеорологических условий. Однако скачкообразное отключение имеет место у гидроузла Кахлет и в устьях притоков. Самый ранний срок появления льда - 15 ноября /1908. г./ у Пакш /1531 км/ и самый поздний срок очищения реки - 31 марта /1929 и 1932 гг./ у Тульчи /72 км/.

Наступление ледостава и вскрытие реки с различными вероятностями даны в приложении № 7, график "В". Из графика видно, что ледостав на Дунае наступает раньше всего в четырех характерных местах: на участке выше Кахлет, где зарегистрирована самая ранняя дата наступления ледостава у Деггендорфа 7 декабря, выше устья реки Драги /Бездан и Апатин/ - 8 декабря, в узкости Сиколовац 16 декабря и у Тульчи - 8 декабря. Самая поздняя дата вскрытия реки наблюдалась выше Кахлета у Деггендорфа - 8 марта, на Среднем Дунае у Надьмарош, Вац и Домбори - 22 марта, на участке Железных Ворот у Оршогы - 26 марта и на Нижнем Дунае у Тульчи - 29 марта.

3.13. Характерные продолжительности ледовых явлений

Таблица № I содержит данные о характерных продолжительностях ледовых явлений, а именно: максимальная и средняя продолжительность наличия льда, ледостава и ледохода. Изменения средних продолжительностей показаны в приложении № 5, графики "С" и "Д".

3.13I. Характерные продолжительности периода со льдом

В приложении № 7, график "А" указаны самая ранняя дата появления льда на Дунае - 15 ноября /1929 и 1932 гг/ и самая поздняя дата очищения реки - 31 марта /1929 и 1932 гг./. Согласно этим двум датам продолжительность ледовых явлений на Дунае может достигать 138 дней.

Кривые, изображающие изменения наибольшего периода, внутри которого возможны ледовые явления, построены по данным наблюдений. Отклонения от плавной кривой имеет место у гидроузла Кахлеть и при впадении больших притоков в Дунай.

Наблюдаемая наибольшая продолжительность периода со льдом /в рамках одной зимы/ колеблется на Дунае в пределах от 53 дней /Кахлеть, 1954 г./ до 96 дней /Пакш, 1909 г./.

Ледовый режим реки лучше характеризует средняя продолжительность периода со льдом, чем крайние величины, так как она содержит данные сравнительно длительного периода, а не только отдельные крайние случаи.

Средняя продолжительность периода со льдом колеблется в пределах от 13,4 дня /Мельк, 2036 км/ и 36,8 дня /Браила, 170 км/.

Ввиду того, что продолжительность периода со льдом зависит не только от срока появления льда, но также и от срока очищения реки, а последний связан с водным режимом и с морфологическими условиями русла, то кривая, изображающая годовую среднюю продолжительность наличия льда, не является плавной и видно, что она менее связана с температурным режимом участка, чем с вышеупомянутыми условиями. Таким образом, хотя на Среднем Дунае зимы не так суровы, продолжительность периода со льдом здесь значительно большая, чем на Верхнем и Нижнем Дунае.

На основе указанного графика можно сделать общий вывод, что на Дунае появление льда нормальное явление, но продолжительность периода со льдом весьма различна.

3.132. Характерные продолжительности ледостава

В приложении № 7, график "В" указаны самая ранняя дата наступления ледостава - 7 декабря /1925 г. у Деггендорфа, 2285 км/ и самая поздняя дата вскрытия реки - 29 марта /1929 г. у Тульчи, 72 км/. Согласно этим двум датам вероятная продолжительность ледостава достигает 113 дней.

Наблюденная /в одну зиму/ максимальная продолжительность ледостава - 85 дней у Хиршова. Средняя продолжительность периода ледостава на участке выше Пассау составляет - 16,3 дня, на Среднем Дунае, ^{на} участке выше устья Дравы - 23 дня и на Нижнем Дунае, у города Тульчи - 25,7 дня.

3.14. Показатель ледостава

Показатель ледостава представляет собой величину соотношения, выраженную в процентах, между периодом ледостава и периодом ледовых явлений.

Изменения показателя ледостава даны в приложении № 5, график "Е".

Этот показатель при идентичных условиях температуры, расходе воды и уклоне реки характеризует морфологические условия русла с точки зрения прохождения льда на отдельных участках. Так например, на участке Энгельхартсцелль-Пёхларн, где хорошие морфологические условия для прохождения льда, этот показатель нулевой /до постройки гидроузлов/.

На участке Верхнего Дуная, выше гидроузла Кахлет, показатель ледостава составляет - 76%, на Среднем Дунае, выше устья Дравы 69% и на Нижнем Дунае, у Хиршова /252 км/ - 74,6%.

3.15. Суммы положительных и отрицательных температур, предшествующие в среднем ледовым явлениям

Эти величины содержатся в таблице № У и их изменения даны в приложении № 5, график "F".

Средняя сумма отрицательных температур, предшествующих первому появлению льда, колеблется между $13,7^{\circ}\text{C}$ /Дунафёльдвар, 1560 км/ и $54,3^{\circ}\text{C}$ /Олтеница, 430 км/.

Кривая, характеризующая сумму отрицательных температур, предшествующую в среднем наступлению ледостава, не носит постоянный характер, так как за наблюдаемый период не на каждом участке реки образовывался ледяной покров. Эта кривая линия графика прерывается у устья реки Изар, у Энгельхартсцелль и Пёхларн, в районе падения уклона у Палковичово, у устья рек Дравы, Сагы, Серета и Прута, что характеризует изменение ледового режима на указанных участках реки.

Средняя сумма отрицательных температур, предшествующая наступлению ледостава, составляет $-71,6^{\circ}\text{C}$ /Фильскофен, 2249 км/, в верхнем бьефе гидроузла Кахлет она составляет -55°C . На Среднем Дунае выше устья реки Дравы -70°C , на Нижнем Дунае у Турну-Северина $-43,1^{\circ}\text{C}$ и у города Тульчи $-82,6^{\circ}\text{C}$.

Линия, изображающая изменения суммы положительных температур, предшествующих вскрытию реки, не имеет постоянного характера, в частности в устье рек Изар, Морава, Ваг, Драва, Сава, Серет, Прут. Сумма положительных температур, предшествующая вскрытию реки, колеблется между $+4,2^{\circ}\text{C}$ /Фильскофен, 2249 км/ и $+34,9^{\circ}\text{C}$ /Тульча, 72 км/.

3.16. Характерные уровни воды

В приложении № 5, график "A" указаны низкие уровни воды с льдом и без льда. Из графика видно, что ниже Комарно на отдельных участках реки в период ледовых явлений могут наступать уровни ниже минимальных уровней, наблюдавшихся в периоды без ледовых явлений. Это положение необходимо учитывать при проектировании и

эксплуатации портов и зимовников.

По имеющимся данным такими участками являются следующие:

<u>Участок</u>	Разница между минимальными уровнями со льдом и без льда /в см/
Комарно - Эстергом	32
Будапешт - Пакш	73
Байя - Нови-Сад	98
Дренкова - Бекет	38
Турну-Мэгуреле - Зимница	75
Чернавода - Браила	67
Исакча	19

Наступление чрезвычайно низких уровней со льдом, как правило, происходит из-за того, что стоку воды временно мешают заторы и захоры, которые задерживают большую часть прибывающей сверху воды.

На графике также показаны высокие уровни воды со льдом и без льда. На некоторых участках уровни воды со льдом значительно превышают многолетние паводковые уровни без льда.

Участки, на которых максимальные уровни со льдом превышали максимальные уровни без льда, следующие:

<u>Участок</u>	Разница между максимальными уровнями со льдом и без льда /в см/
Регенсбург - Фильсхофен	63
Русовце	114
Комарно-Мохач	300
Базиаш	18
Груя - Браила	195

На участке Молдоа-Веке - Турну-Северин /см. Доклад о ледовом режиме, изд. ДК, 1959 г./ в 1942 году во время весеннего ледохода, в результате образования заторов, подпертый уровень воды превышал максимальный уровень /1885 г./ на 624 см у Трэй-Куде /991 км/ и на 666 см в канале Юц /988 км/.

Чрезвычайно высокие уровни воды в период ледовых явлений вызваны, как правило, заторами или захорами на нижележащих участках реки.

Заторы иногда имеют большую прочность и сопротивляемость к разрушению, как это было весной 1956 года. В таких случаях вода, не находя прохода в пойму, поднимается до чрезвычайных уровней и причиняет катастрофические наводнения.

3.17. Виды ледяного покрова на Дунае

В приложении № 9 показан ледовый режим Верхнего и Среднего Дуная зимой 1908/09 гг. и вид образовавшегося ледяного покрова. /Редкой штриховкой показан ледоход, а густой - ледостав/. Характерно, что плавучий лед на стадельных местах реки несколько раз останавливался, образовавшиеся ледяные покровы имели значительную протяженность /максимальная длина 260 км/ и не были связаны между собой.

Наиболее неблагоприятными местами с точки зрения прохождения льда в эту зиму были: излучина Багомер /1813 км/, участки Будапешт - Будафок и Эрчи - Адонь, участок Дунафёльвар, излучина Шарашпарт ниже Байи, узкость Сирина ниже Мохача, излучина Беленица ниже Даль, участок ниже устья р. Савы, узкость Сиколовац и вход в ущелье Казаны.

Проведенными регуляционными работами многие из этих, в свое время неблагоприятных мест для прохождения льда, были устраниены. В настоящее время только некоторые из них вызывают затруднения для прохождения льда.

3.18. Толщина ледяного покрова

На Верхнем Дунае толщина однослоиного ледяного покрова в самые суровые зимы никогда не превышала 60 см.

После постройки гидроузла Кахлете в верхнем бьефе часто имеет место торошение льда. Так зимой 1928/29 гг. образовался сплошной ледяной покров толщиной в 30 см и после того вследствие торошения и скопления шуги под ледяным покровом толщина льда достигла 2 - 2,5 м, а в некоторых местах лед достигал дна водохранилища, имея при этом толщину до 7 м /см. приложение № 13/.

На Среднем Дунае толщина гладкого однослоиного ледяного покрова редко превышает 25 - 30 см. Даже чрезвычайно суровой и продолжительной зимой 1928/29 гг. не наблюдался ледяной покров, толщина которого превышала бы 60 см. Этую толщину можно считать максимальной для однослоиного ледяного покрова на Среднем Дунае.

На Нижнем Дунае в нормальные зимы толщина составляет 15, а в суровые - 30 см. Однако даже в самые суровые зимы толщина ледяного покрова не превышала 60 см.

В случае ледостава с торошением толщина ледяного покрова может быть в несколько раз больше, так как в этом случае льдины располагаются не горизонтально и не в одном слое.

При зажорах и заторах отдельные льдины, попадающие под прочный ледяной покров, не прилегают плотно к нижней поверхности свода и пространство между ними, как правило, заполняется ледяной кашей.

При измерениях, проведенных в начале этого века, неоднократно находили под ледяным покровом лед толщиной в 3 - 5 и более метров, закрывающий значительную часть живого сечения и причиняющий тем самым наводнения. Так например, в феврале 1914 года у Богоево под ледяным покровом был обнаружен слой ледяной каши в 2,0 - 2,5 м, местами достигающий дна. В 1956 г. на расстоянии 3 км выше плотины Кахлеть наблюдался ледяной покров толщиной в 5 м.

В феврале 1937 года в створе 396 км наблюдался так называемый "стеклянный лед", толщиной в 370 см, над ним толщиной в 130 см образовалось торошение льда, а под ним ледяная каша, достигающая дна.

3.19. Скорость образования ледяного покрова

На участке Верхнего Дуная выше плотины Кахлеть средняя скорость образования ледяного покрова 4 - 5 км/сутки; как исключение в 1956 г. наблюдалась гораздо большая скорость - 40 км/сутки. На участке ниже плотины Кахлеть зимой 1929 года наблюдалась средняя скорость 17 км/сутки.

На участках Среднего Дуная, скорость нарастания ледостава имеет следующие величины:

Братислава - Дунаремете..... - 43-22-7 км/сутки

Дунаремете - Геню - 34 км/сутки

Геню - Комарно - 40-24-8 км/сутки

Комарно - Дунаальмаш.....-40-8 км/сутки

Дунаальмаш - Штурого-48-II км/сутки

Штурово - Надьмарош-24 км/сутки

Исключительным случаем явился ледостав, образовавшийся в 1946/47 гг., когда лед остановился по частям в течение одного дня на участке длиной 100 км /Штурово-Дунаремете/.

На участке ниже Будапешта /на основе данных 24 зим/ скорость образования ледяного покрова колебалась между 6 км/сутки /1946 и 1949 гг./ и 32 км/сутки /1924 г./, то-есть в весьма широких пределах, при средней величине 27 км/сутки. Чаще всего /12 раз из 24-х/ она была между 18 - 24 км/сутки. Среднее арифметическое самых частых величин - 22,8 км/сутки. Сюда входят данные 1935, 1938, 1940, 1941 и 1956 гг., то-есть годов, когда наблюдались ледовые наводнения.

На Нижнем Дунае средняя скорость образования ледяного покрова больше чем на Среднем Дунае. Причина этому - метеорологические условия. В п.2.13 указано, что зимы этого района более суровые, чем на Среднем Дунае. Так например, на участке реки ниже Галаца, длиной в 150 км, ледостав наступил в течение одних суток. На участке вверх от Чернавода скорость образования ледяного покрова также колеблется в широких пределах. Ниже приводятся несколько наблюденных величин:

- зимой 1929 г. на участке между 200 - 900 км скорость составляла 19,5 км/сутки;
- зимой 1950 г. на участке между 500 - 600 км - 5,5 км/сутки;
- зимой 1954 года на участке между 300 - 600 км - 23,0 км/сутки.

3.2. Ледовый режим отдельных участков Дуная

На основе изменений показателей ледостава вдоль реки, с точки зрения ледового режима, Дунай можно разделить на пять существенно отличающихся друг от друга участков /см.приложение № 5, графики "С", "Д", "Е" и приложения 7 и 8/.

Участок между Регенсбургом /2379 км/ и плотиной гидроузла Кахлет /2230,5 км/, протяженностью в 148,5 км;

- Участок между нижним бьефом гидроузла Кахлет /2230,5 км/ и Пёхларн /2043 км/, протяженностью в 157,5 км;
- Участок между Пёхларн /2043 км/ и узкостью Сиколовац /1039 км/, протяженностью в 1004 км;
- Участок между Сиколовац /1039 км/ и Турну-Северином /935 км/, протяженностью в 104 км;
- Участок между Турну-Северином /935 км/ и Сулиной /0 км/, протяженностью в 935 км.

3.2I. Участок Регенсбург - плотина гидроузла
Кахлет /2379 - 2230,5 км/

Ледовый режим данного участка ухудшается от Регенсбурга до Кахлете /см.приложение 5, графики "С", "D", "E" и таблицу № I/.

Годовая вероятность появления льда возрастает от Регенсбурга, где ее величина 81%, вниз по течению до 91,7% у Деггендорфа и устья р.Изар, затем снижается до 86,7% у Фильсхофена и в верхнем бьефе гидроузла Кахлет равна 90%.

Годовая вероятность наступления ледостава повышается с 20% до 32% между Регенсбургом и устьем р.Изар, затем резко снижается до 17%, а в верхнем бьефе гидроузла Кахлет достигает 51%.

Самая ранняя дата появления льда на этом участке 19 ноября /1902 г. у г.Фильсхофена, 2249 км/ и самая поздняя дата очищения реки 19 марта /1929 г. у Деггендорфа, 2284 км/.

Внутри периода продолжительность наличия льда на этом участке Дуная возможна до 122 дней /см.приложения № 7 и 8/.

Наблюдаемая наибольшая продолжительность периода со льдом - 82 дня /1929 г. у Деггендорфа/. Средняя продолжительность периода со льдом между Регенсбургом и устьем р.Изар повышается с 14,7 дня до 23,4 дня, затем резко снижается до 6 дней и постепенно повышается до 22 дней в подпоре гидроузла Кахлет.

Средняя вероятность наличия льда в 50% характерна в 70-дневном периоде между 3 января и 13 марта.

Самая ранняя дата наступления ледостава - 7 декабря /1925 г. у Деггендорфа, 2285 км/, а самая поздняя дата вскрытия реки на этом участке 19 марта /1929 г., у Деггендорфа/. Продолжительность ледостава внутри периода возможна до 104 дней.

Наблюдаемая на этом участке наибольшая продолжительность ледостава составляла 79 дней /1947 г. в верхнем бьефе гидроузла Кахлет/. Средняя продолжительность возрастает от Регенсбурга до устья р.Изар с 4,7 дня до 10,5 дня, затем резко снижается до 2 дней и в направлении к водохранилищу гидроузла Кахлет значительно повышается и достигает 16,3 дня.

Из приложения № 5, график "Е" видно, что показатель ледостава ухудшается между Регенсбургом и устьем реки Изар с 32% до 45%, затем снижается до 13% и значительно повышается до 76% в водохранилище гидроузла Кахлет.

В приложении 5, график "F" показаны изменения суммы отрицательных и положительных температур, соответствующей отдельным ледовым явлениям.

Первому появлению льда предшествует в среднем у Регенсбурга сумма отрицательных температур в $-23,9^{\circ}\text{C}$, затем она медленно повышается до -30°C в водохранилище гидроузла Кахлет.

Наступлению ледостава у Регенсбурга предшествует в среднем сумма отрицательных температур -179°C , которая до устья реки Изар понижается до -85°C и затем в связи с увеличением продольного уклона реки резко повышается до -220°C , а приближаясь к плотине гидроузла Кахлет - снижается, и в верхнем бьефе гидроузла равна -55°C .

Вскрытию реки предшествует в среднем сумма положительных температур $+4,6^{\circ}\text{C}$ у Регенсбурга, которая постепенно увеличивается до устья р.Изар и доходит до $+10^{\circ}\text{C}$, а затем снижается до $+3,5^{\circ}\text{C}$, и в верхнем бьефе гидроузла Кахлет равна $+4,2^{\circ}\text{C}$.

Из приложения № 5, график "С" видно, что на данном участке повторяемость появления льда колеблется в сравнительно небольших пределах между 81,0 - 91,7 %, а повторяемость наступления ледостава - в сравнительно больших пределах между 17 - 51%. На графике вероятности ледостава на участке устья р.Изар имеются резкие изменения в смысле уменьшения этой вероятности. Аналогично изменяется график продолжительности ледовых явлений, показатель ледостава, а сумма отрицательных температур, предшествующая ледоставу, наоборот резко повышается с $-85,2^{\circ}\text{C}$ до -180°C .

Нерегулярные изменения показателей ледового режима показывают, что с точки зрения ледового режима самым неблагоприятным местом на данном участке была до постройки плотины скалистая порожистая его часть выше 2230 км. Постройка плотины улучшила коренным образом условия судоходства, но с точки зрения ледового режима положение не улучшилось, т.к. движущиеся льдины, которые раньше останавливались на порогах, теперь остаются в водохранилище гидроузла и ледяной покров, опираясь на создающийся ледяной свод, распространяется вверх по реке.

Другим неблагоприятным местом является участок при впадении р.Изар /2282 км/. Здесь как правило, ледяной свод образуется намного раньше /макс. на 16 дней/, чем ледяной покров, распространяющийся снизу вверх, достигает этого участка. Это положение вызываетя наличием отмели гравия у устья, которая выше устья снижает уклон реки до 0,3%. Опираясь на этот свод, начинает образовываться независимо от ледяного покрова, образующегося на нижележащем участке, ледяной покров, который распространяется вверх по реке.

Сильный ветер, дующий с Востока, уменьшает скорости течения у Деггендорфа, что еще больше увеличивает густоту ледохода. Вследствие этого здесь может образовываться ледяной свод. Ранее ледяной свод чаще всего образовывался у многочисленных устоев старого шоссейного моста Деггендорф.

С точки зрения ледового режима, также весьма неблагоприятны крутые излучины между Нидерахдорф и Бogen /2345 - 2313 км/, у Пфатер /2350 - 2351 км/ и в районе Киленхольц /2359 - 2355 км/. Самым неблагоприятным является излучина у Штраубинга, где река имеет небольшую ширину. Однако после проведения регуляционных работ лёд на этом участке больше не останавливался. Следует также отметить участок Обермоцинг /2335 км/, где крутая излучина иногда способствует образованию ледяного свода.

За период 1901 - 1960 гг. лёд останавливался:

- на порогах /кахлетах/ вверх от Пассау /2230,5 км/ и в водохранилище в течение 29-ти зим;
- на участке у устья р.Изар /2281,6 км/ - в течение 19-ти зим;

- у Обермоцинга /2335 км/ - в течение 4-х зим;
- у Рейберодорфа /2315 км/ - в течение 2-х зим;
- у Киленхольца /2355 км/ - в течение одной зимы.

Вскрытие реки на участке происходит в преобладающем большинстве случаев вниз по течению, что вызывает образование заторов, под влиянием которых создаются уровни воды, превышающие паводковые уровни без льда, так например:

- у Регенсбурга /2376,2 км/ на 63 см,
- у Штраубинга /2321,2 км/ на 48 см,
- у Пфелинга /2305,5 км/ на 38 см,
- у Хофкирхен /2256,9 км/ на 3 см,
- у Фильсхоффен /2249,2 км/ на 37 см.

При этом таяние льда происходит при расходах воды в несколько раз меньших расходов при паводках без льда.

Низко лежащие территории этого участка защищены дамбами против наводнений. Однако при вскрытии реки^в 1928/29 и 1955/56 гг. наводнения нанесли большие ущербы. В результате усовершенствования защитных сооружений в настоящее время наводнения прекратились.

3.22. Участок между гидроузлом Кахлет - Пёхларн

/2230,5 - 2043 км/

После постройки гидроузлов на этом участке были устраниены неблагоприятные места для судоходства. В настоящее время строится гидроэлектростанция Вальзе /2094 км/. Мосты на этом участке не влияют отрицательно на ледовый режим. До строительства гидроузлов этот участок являлся самым благоприятным с точки зрения ледового режима, случаев задержки льда на нем не наблюдалось. Однако после постройки гидроузлов ледяные покровы образуются в их верхних бьефах.

Годовая вероятность появления льда колеблется между 76,6% /Ибс/ и 88,3% /Маутхаузен/.

Самая ранняя дата появления льда на этом участке - 18 ноября /1902 г., Пассау, Ильштадт, 2225 км/, а самая поздняя дата очищения реки от льда - 12 марта /1929 г., Ибс, 2058,8 км/. Внутри периода возможная продолжительность наличия льда на этом участке Дунай составляет 116 дней /приложения № 7 и № 8/.

Наблюдаемая наибольшая продолжительность периода со льдом /в рамках одной зимы/ была 63 дня /1929 г./. Средняя продолжительность периода со льдом от Пассау до Ибс медленно возрастает с 14,6 до 16,6 дня, а у устья реки Ибс уменьшается до 13,4 дня. До постройки гидроузла Кахлёт первому появлению льда предшествовала сумма отрицательных температур - $22,0^{\circ}\text{C}$ /Энгельхартсцель/ и $-26,6^{\circ}\text{C}$ /Маутхаузен/, /см. приложение № 5, график "F" и таблицу У/. Эта сумма отрицательных температур значительно возрасла после постройки гидроузла Кахлёт и составляет - $37,8^{\circ}\text{C}$ /Энгельхартсцель/ и $-27,5^{\circ}\text{C}$ /Ибс/. Увеличение суммы отрицательных температур, предшествующей появлению льда, ясно показывает, что и не очень крупные водохранилища значительно влияют на тепловой режим реки. Под ледяным покровом в водохранилище температура воды повышается, поэтому воде, проходящей через водохранилище, необходимо иметь большую сумму отрицательных температур для начала образования льда.

За период с 1900 по 1954 гг., т.е. до постройки указанных гидроузлов, на этом участке ледостав ни разу не наблюдался и сумма отрицательных температур, предшествующая ледоставу, неизвестна, но ясно, что намного выше, чем в створе Штайн-Кремс, где она равна $-343,9^{\circ}\text{C}$.

Однако это благоприятное положение с точки зрения ледового режима зависит не только от благоприятных климатических и морфологических условий реки, но и от положения этого участка по длине реки.

Этим условиям способствует то обстоятельство, что в водохранилище гидроузла Кахлёт /а до его постройки на порогах, кахлетах/, после начала ледохода очень быстро наступает ледостав и следовательно после ледостава на участок ниже гидроузла Кахлёт с вышележащих участков Дуная прибывает сравнительно мало льдин и шуги. Аналогичное положение имеется на реке Инн в узости Форхбах. Количество же льда, образующегося на самом Дунае ниже устья р.Инн, недостаточно для образования ледяных сводов, несмотря на извилистость реки, чрезвычайно крутие излучины /например Шлеген/ множество скал, выступающих из русла, и неравномерный из-за кахлетов /например Штруден/ уклон реки. Кроме того, достаточная скорость воды способствует беспрепятственному прохождению льда.

Хотя в результате строительства плотины Кахлех продолжительность периода с ледовыми явлениями увеличилась /появление плавучих льдин и более ранний ледостав, чем когда река была в естественном состоянии/, однако, опасность образования заторов не увеличилась по сравнению с предыдущим периодом. Кроме того, только после строительства плотины стало возможным прибегать к действенным мерам борьбы против ледовых явлений /применение ледоколов/, что ранее исключалось.

3.23. Участок Пёхларн - узкость Сиколовац /2043 - I039 км/

Участок между Пёхларн и узкостью Сиколовац /2043 - I039 км/ протяженностью I0I4 км, с точки зрения ледового режима, можно разделить на три следующие участка /приложение № 5/:

- Пёхларн - устье р.Дравы /2043 - I383 км/, протяженностью в 660 км;
- устье р.Дравы - Илок /I383 - I298 км/, протяженностью в 85 км;
- Илок - узкость Сиколовац /I298 - I039 км/, протяженностью в 259 км.

3.23I. Участок Пёхларн - устье р.Дравы /2043 - I383 км/

Ледовый режим от Пёхларна до устья р.Дравы постепенно ухудшается, /см.таблицу № I, приложение № 5, графики "С", "D"/. Это выражается глазным образом в повышении повторяемости ледостава с 0% до 65%, в увеличении продолжительности периодов со льдом с I3,4 до 35 дней и особенно ледостава с 0 до 23 дней, а также в повышение показателя ледостава с 0 до 69%, в большом снижении суммы отрицательных температур, предшествующей в среднем ледоставу, с $-343,9^{\circ}\text{C}$ до $-76,3^{\circ}\text{C}$ и в повышение суммы положительных температур, предшествующей в среднем вскрытию реки, с $+14,1^{\circ}\text{C}$ до $+27^{\circ}\text{C}$.

а/ участок Пёхларн - Палковичово

Из графика изменения показателей ледового режима /см.приложение № 5, 7 и 8/ видно, что перелом уклона у Палковичово и находящаяся непосредственно выше его излучина Багомер /I8I3 км/ разделяют этот участок реки, с точки зрения ледового режима, на две части. Наиболее неблагоприятным является участок выше перелома уклона. Это положение объясняется тем, что в излучине Багомер в

большинстве случаев /в течение 8-ми зим из 17-ти/ ледяной свод об разовывался до того, как ледяной покров, распространяющийся снизу вверх, достиг излучины. Можно констатировать, что на чехословацко-венгерском, чехословакском и австрийском участках Дуная выше Палковичово ледяной покров образуется, опираясь на ледяной свод, образующийся в излучине Багомер, вследствие перелома уклона реки. Крутая излучина и перелом уклона неблагоприятно влияют на ледовый режим вышележащего участка. Это положение похоже на условия у устья реки Изар, описанное в пункте 3.21. Излучина Багомер неблагоприятна не только с точки зрения ледостава, но также и с точки зрения вскрытия реки. Поэтому на участке Дуная выше Палковичово опасность наводнений, вызванных ледовыми явлениями, больше, чем на участке ниже Палковичово.

На участке между Пёхларн и излучиной Багомер /2043 - 1813 км/ /см.таблицу № I/, самая ранняя дата появления льда - 17 ноября /1908 г. у Братиславы, Доброгашть и Дунаремете, 1868 - 1826 км/ и самая поздняя дата очищения реки от льда - 22 марта /1929 г. Братислава, 1868 км/. Таким образом внутри периода продолжительность наличия льда на этом участке возможна до 127 дней.

Наблюдаемая наибольшая продолжительность периода со льдом - 93 дня /1947 г./. Самый ранний ледостав наступил 13 декабря /1908 г. Братислава, Доброгашть и Дунаремете/, а самое позднее вскрытие реки - 20 марта /1929 г. Доброгашть и Дунаремете/, наибольшая продолжительность ледостава составляла 85 дней /1947 г./.

Из приложения № 7, графики 1 и 2 видно, что на участке ниже устья р.Моравы лёд появляется, как правило, на 2 - 4 дня раньше и исчезает на 2 - 4 дня позже, чем на вышележащем участке и, что образование ледяного покрова происходит снизу вверх, а вскрытие реки - в обратном направлении.

Годовая вероятность появления льда колеблется между 76,6% /Пёхларн, 2043 км/ и 91,7% /Братислава, 1868 км и Русовце, 1856 км/, её средняя величина составляет 86%. Отклонение порядка 5% имеет место у устья р.Моравы, отражающее влияния притока /см.приложение № 5/.

Годовая вероятность наступления ледостава постепенно возрастает от Пёхларна до излучины Багомер с 0% до 30%. Средняя продолжительность периода со льдом колеблется между 14,5 дня /Штайн, 2003 км/ и 23,3 дня /Дунаремете, 1825 км/, у устья Моравы она увеличивается на 5 дней. Это изменение вместе с уменьшением температуры воды показывает, что с Моравы поступает лёд в Дунай даже в

такое время года, когда на Дунае образование льда еще не началось. Продолжительность периода ледостава на участке Пёхларн - излучина Багомер возрастает с 0 до 8,2 дней. Показатель ледостава возрастает с 0% до 33%. На изменение показателя ледостава также оказывается влияние реки Моравы: вследствие большей продолжительности ледовых явлений показатель ледостава снижается приблизительно на 5% /см.приложение № 5, график "Е" /.

Сумма отрицательных температур, предшествующая появлению льда, колеблется в небольших пределах между $-30,1^{\circ}\text{C}$ /Хайнбург, 1884 км и Русовце, 1856 км/ и $-24,8^{\circ}\text{C}$ /Дунаремете, 1825 км/. У устья р.Моравы она снижается до -4°C . Сумма отрицательных температур, предшествующая в среднем наступлению ледостава, наоборот колеблется в сравнительно больших пределах. У Пёхларн она составляет $-343,9^{\circ}\text{C}$, в то время как в излучине Багомер только -120°C . Вскрытию реки предшествует у Штейна в среднем сумма положительных температур $+14^{\circ}\text{C}$, а в излучине Багомер $+12^{\circ}\text{C}$. На графике величин положительных температур, предшествующих вскрытию реки, характерны два отклонения - у устья р.Моравы и на переломе уклона.

После образования ледяного свода в излучине Багомер в процессе образования ледяного покрова выше ледяного свода, быстрое течение уносит большее количество льда под ледяной покров. Часто этот лёд задерживается на перекатах и образует захоры, которые занимают большую часть живого сечения реки и вызывают значительный подпор воды, уже во время образования ледяного покрова. Этот подпор часто распространяется до Братиславы при уровне воды до двух метров выше нормальных уровней воды без ледовых явлений. При весенних ледоходах в преобладающем большинстве случаев ледяной покров разрушается паводками сверху, при этом часто наблюдается торошение льда.

На этом участке реки часто образуются заторы, вызванные кроме торошения льда, также и отмелами, крутыми изулчинами и струенаправляющими дамбами. Заторы вызывают паводки, при которых уровни воды выше, чем уровни при паводках без ледовых явлений. В 1956 году вследствие затора уровень воды у Дунафельдвара превышал на 251 см уровень, наблюдавшийся до тех пор при паводках

без ледовых явлений. В суровые зимы и при инверсии температур городу Братиславе до сих пор угрожают ледовые паводки /см.таблицу УІ/.

Ниже излучины Багомер, т.е. в районе изменения уклона реки, хотя уклон и уменьшается, ледовый режим значительно улучшается. Согласно приложению № 5, графики "С", "Д" и "Е" годовая вероятность наступления ледостава снижается с 30% до 16,7%, средняя продолжительность ледостава снижается с 8,2 дня до 4,7 дня, величина показателя ледостава с 33% до 20%. Сумма отрицательных температур, предшествующая ледоставу, возрастает с -120°C до -142°C /см.приложение № 5, графики "С", "Д" и "Е" /.

б/ Участок Палковичово - устье реки Дравы

От Палковичово /1810 км/ до устья реки Дравы /1383 км/ ледовый режим постепенно ухудшается. На этом участке самая ранняя дата появления льда - 15 ноября /1908 г. у г.Пакш/ и самая поздняя дата очищения реки от льда - 26 марта /1929 г. у .Байя, Мохач и Апатин/.

Внутри периода продолжительность наличия льда на этом участке возможна до 133 дней. Наблюдаемая наибольшая продолжительность периода со льдом была - 97 дней на участке выше Будапешта /1947 г/ и - 91 день на участке Мохач - устье р.Дравы /1448 - 1383 км в 1947 г./.

Годовая вероятность появления льда колеблется между 88% /Апатин/ и 93,4% /Будапешт/, средняя ее величина 90,6%.

Средняя продолжительность периода со льдом возрастает с 23 дней у Палковичово /1810 км/ до 31,4 дня у Будапешта /1648 км/; ниже Будапешта она несколько снижается и затем возрастает до 35 дней у устья р.Дравы /1383 км/; у устья р.Ваг /1765,8 км/ она возрастает на 5 дней, что указывает на влияние притока, который увеличивает продолжительность периода со льдом /см.приложение № 5, график "Д" /.

Вероятность наступления ледостава возрастает от Палковичово до устья р.Дравы с 16,7% до 65%. Самый ранний ледостав наблюдался 3 декабря /1925 г. Бездан, 1425 км и Апатин, 1401 км/ и самое позднее вскрытие реки было 26 марта /1929 г. Мохач, 1448 км и Бездан, 1425 км/. Ледяной покров распространяется снизу вверх, а вскрытие реки в большинстве случаев происходит сверху вниз.

Продолжительность ледостава на этом участке возможна внутри периода до 115 дней. Наблюдаемая продолжительность ледостава составляла 89 дней на участке выше Будапешта и 84 дня - на участке Мохач - устье р.Дравы /1448 - 1383 км/ в 1947 году.

Средняя продолжительность ледяного покрова составляет 4,7 дня у Палковичово /1810 км/, она постепенно возрастает до Будапешта /1646 км/, где равна 10,1 дня, а затем остается почти неизменной до Адонь /1598 км/ и далее достигает 10,7 дня.

У Домбори /1507 км/ продолжительность составляет 20,9 дня, у устья р.Дравы /1383 км/ она возрастает до 23 дней.

Показатель ледостава возрастает от Палковичово с 20% до Надьмароша /1695 км/ до 32,4%, между Надьмарош и Эрчи /1613 км/ он колеблется в пределах от 30,4% до 32,6%, затем быстро возрастает до Домбори /1507 км/, где достигает 60,5%. Между Домбори и Мохач /1448 км/ показатель ледостава колеблется в пределах от 58% до 60,5%, а затем возрастает и у устья р.Дравы /1383 км/ составляет 64%.

Сумма отрицательных температур, предшествующая первому появлению льда, колеблется в пределах от $-25,0^{\circ}\text{C}$ /Палковичово, 1810 км/ и $-13,7^{\circ}\text{C}$ /Дунайфельвар, 1560 км/.

Сумма отрицательных температур, предшествующая ледоставу, колеблется в сравнительно больших пределах. У Палковичово /1810 км/ она составляет $-141,8^{\circ}\text{C}$, у Дунайфельвар /1560 км/ $-73,8^{\circ}\text{C}$ и выше устья р.Дравы она равна в среднем -76°C .

Сумма положительных температур, предшествующая вскрытию реки, наоборот возрастает вниз по течению и составляет у Палковичово $+16,7^{\circ}\text{C}$, затем под влиянием более теплой воды рек Раба и Рабча снижается у Генью /1790 км/ до $+13,3^{\circ}\text{C}$, а между Комарно /1768 км/ и Бая /1479 км/ колеблется в пределах $+15,6^{\circ}\text{C}$ и $+22,9^{\circ}\text{C}$. Средняя ее величина $+18,4^{\circ}\text{C}$ и у устья р.Дравы /1383 км/ она возрастает до $+27^{\circ}\text{C}$.

Анализируя данные графиков "D", "F" приложения № У и таблицы № У, можно констатировать, что ледовый режим постепенно ухудшается от Палковичово до устья р.Дравы. Ухудшение ледового режима более значительно между Палковичово /1810 км/ и Надьмарош /1694 км/, чем между Надьмарош и Адонь /1598 км/, а также

между Дунауйварошем /1580 км/ и Домбори /1507 км/, чем между Домбори и устьем р.Дравы /1383 км/. Это объясняется тем, что Дунай у Надьмароша разветвляется на два рукава, и вниз от Домбори начинается более неблагоприятный, с точки зрения ледового режима, участок.

Характерным для участка Палковичово - устье реки Дравы является то обстоятельство, что повторяемость появления льда снижается с 90% до 88% и, наоборот, повторяемость наступления ледостава резко повышается с 20% до 65%. Если принять во внимание улучшение температурных и гидрологических условий на этом участке, то частое образование ледяных сводов и ледяного покрова можно объяснить только изменением морфологических условий русла. Непропорциональное изменение имеет место и в других показателях ледового режима. Средняя продолжительность наличия льда от Палковичово до устья Дравы возрастает с 22,8 до 35 дней, т.е. на 53,6%, а средняя продолжительность ледостава возрастает с 4,7 до 23 дней, т.е. на 38,9%. Показатель ледостава повышается с 23% до 69%, т.е. на 200%.

Лёд на Среднем Дунае появляется раньше всего между Дунафельваром и устьем р.Дравы /1560 - 1383 км/, очищение ото льда происходит позднее и в большинстве случаев лёд останавливается раньше всего на этом участке. Ледяной покров, как правило, опирается на образовавшийся ледяной свод и распространяется вверх по течению. Участок Мохач - устье Дравы более неблагоприятен с точки зрения прохождения льда, чем выше и нижележащие участки и он неблагоприятно влияет на режим прохождения льда на вышележащих участках.

В большинстве случаев /85%/ вскрытие реки наступает раньше на участках выше Дунафельвара /1560 км/, чем вызывается нагромождение льдин, поступающих с вышележащих участков на участок Дунафельвар - Мохач /1560 - 1448 км/.

Таблица средних дат начала ледостава и вскрытия реки
в зимние периоды 1900 - 1960 гг.

	Средняя дата на- чала ледостава и вскрытия реки	Начала ледо- стара	Разница между датами	
			Вскрытия реки	дни
	День и Месяц			
Соб - Будапешт	14/І	13/ІІ	--6	+7
Будапешт - Дуна- фельдвар	8/І	20/ІІ	-1	+3
Дунафельдвар- Мохач	7/І	23/ІІ	-1	-1
Мохач-устье Дравы	6/І	22/ІІ		

Таблица повторяемости наступления ледостава
вскрытия реки по отдельным водомерным постам

Наименование водом.поста	Расстояние от устья км	Самый ранний ледостав		Самое позднее вскрытие		Примечание
		раз	%	раз	%	
Дунафельдвар	1560,6	-	-	I	3	
Пакш	1531,3	-	-	-	-	
Домбори	1506,7	I	3	9	25	
Байя	1479,4	5	14	7	19	
Мохач	1446,8	5	3	8	22	
Бездан,	1425,5	I2	33	2	6	
Апатин	1401,5	I0	28	8	22	
Богоево	1367,4	7	19	I	3	Влияние излу- чин между Эрдут и Даль
ИТОГО:		36	100,0	36	100,0	

Из таблицы видно, что при вскрытии ледяного покрова в большинстве случаев лёд нагромождается на участке Домбори - Мохач, что вызвано влиянием нижележащего участка Мохач - устье Дравы, где в большинстве случаев ледяной свод образуется раньше. С этой точки зрения следует отметить следующие неблагоприятные участки реки: Домбори - Мохач, Мохач - устье р.Дравы и устье Дравы - Вуковар /1383 - 1333 км/. Вскрытие реки и проход льда происходят в наиболее неблагоприятных условиях на участке Домбори - Мохач /1506 - 1448 км/, где лёд, поступающий с вышележащих участков наторашивается и нагромождается до тех пор, пока не вскроется

река на участке ниже Мохача. Такое положение вызывает частое образование захоров и заторов на участке ниже Дунафельдвара /1560 км/ в результате которых имеют место наводнения.

Крайние уровни воды, вызванные ледовыми явлениями

Между Комарно и Мохач уровень паводков, вызванных ледовыми явлениями, превысил на 3,02 м /в 1956 г. у Апоштаг, 1568,5 км/ максимальный уровень паводка без льда. Крайний низкий уровень при ледовых явлениях был на 73 см ниже в 1954 г. у Адонь /1598 км/, низкого уровня без льда, наблюденного в 1947 году.

3.232. Участок от устья р.Дравы до Илок /1383 - 1298 км/

На участке Дуная ниже устья Дравы ледовый режим улучшается, снижается величина повторяемости ледостава, средней продолжительности периодов со льдом и с ледоставом, а также резко снижается показатель ледостава и сумма положительных температур, предшествующая вскрытию реки. Сумма отрицательных температур, предшествующая наступлению ледостава, наоборот резко повышается у устья реки Дравы /см.приложение № 5/.

Годовая вероятность появления льда снижается на этом участке с 88% до 86,8%. Самая ранняя дата появления льда - 21 ноября /1908 г. Богоево, 1367 км/ и самая поздняя дата очищения реки от льда - 26 марта /1929 г. Богоево, 1367 км и Вуковар, 1333 км/. Продолжительность наличия льда возможна внутри периода до 127 дней. Наблюденная наибольшая продолжительность периода со льдом - 93 дня в 1947 году. Средняя продолжительность периода со льдом почти постоянная - 29,0 - 29,5 дня.

Годовая вероятность наступления ледостава колеблется между 31,6% и 47% и уменьшается вниз по течению. Самая ранняя дата наступления ледостава на протяжении всего участка - 16 декабря /1902 г/ и самая поздняя дата вскрытия реки - 16 марта /1940 г. Богоево и 1929 г. Илок/. Из приложения № 7 видно, что ледостав наступает раньше на вышележащем участке. Продолжительность ледостава возможна внутри периода до 92 дней. Наблюденная наибольшая продолжительность ледостава - 71 день в 1934 и 1947 гг.

Средняя продолжительность ледостава у устья р.Дравы резко снижается с 23 до 13 дней и далее, постепенно падая, у Илок /1298 км/ равна 4,4 дня.

снижаясь

Показатель ледостава в устье р.Дравы улучшается, с 69% до 50%; далее он постепенно до Илок /I298 км/ уменьшается, составляя 15,3% /см.приложение № 5, график "С"/.

Первому появлению льда в среднем предшествует сумма отрицательных температур -23°C у устья р.Дравы и -30°C у Илок, ледоставу выше устья -70°C , ниже устья -86°C , а затем у Илока повышается до -90°C . Вскрытию реки предшествует сумма положительных температур $+27^{\circ}\text{C}$ выше устья, $+13^{\circ}\text{C}$ - ниже устья, и $+17^{\circ}\text{C}$ у Илок.

Улучшение ледового режима ниже устья р.Дравы объясняется тем, что выше устья Дравы очень рано наступает ледостав и на участок ниже устья поступают только льдины с реки Дравы, льдинны, отрывающиеся от захоров или образующиеся на самом участке. Эта сравнительно небольшая масса льда в большинстве случаев беспрепятственно проходит до тех пор, пока лед не остановится на каком-то морфологически неблагоприятном месте реки.

Следует отметить, что в нескольких случаях лёд останавливается раньше /или одновременно/ в круtyх излучинах у Эрдут и Даль /I370 - I372 км и I354 - I356 км/, чем на участке выше устья Дравы. Такое положение имеет место особенно в те зимы, когда с Дравы прибывает /при малых водах в Дунае/ сравнительно большое количество льдин до наступления ледостава на Дунае выше устья Дравы. Ледяные своды, образовавшиеся в крутых излучинах, и ледяной покров, опирающийся на них, задерживают прибывающие сверху льдины, которые таким образом не достигают участка ниже Даль /I354 - I356 км/. Этим объясняется, что повторяемость ледостава значительно меньше ниже указанных излучин, т.е. у Вуковара, Илока и Богоева.

Весенние паводки Дравы, как правило, наступают за несколько дней раньше весенних паводков Дуная, следовательно, Драва в определенной мере меняет водный и ледовый режим Дуная. Однако улучшение ледового режима ниже устья только в небольшой мере можно приписывать влиянию весенних паводков Дравы, т.к. оно вызывается также уменьшением количества поступающего сверху льда после ледостава выше устья Дравы, а также изменением морфологических условий русла Дуная.

На участке между устьем Дравы и Илок уровень воды при наводнениях, вызванных ледовыми явлениями, до сих пор не превышал уровней при паводках без льда. Низкий уровень со льдом у Вуковара /I333 км/ был на 98 см ниже низкого уровня без льда в 1947 году.

3.233. Участок Илок - узкость Сиколовац /1298 - 1039 км/

На этом участке условия прохождения льда постепенно ухудшаются сверху вниз. Постепенно повышается величина средней годовой повторяемости наступления ледостава, а также показателя ледостава /см.приложение № 5/.

В начале участка Железных Ворот ниже острова Молдова, у 1039 км, русло сужается до 300 м. Это сужение содействует образованию ледяных сводов и ледяного покрова. Выше этой узкости в 52% наблюденных годов имел место ледостав, а ниже Дренкова /1016 км/ только в 20%. Узкость Сиколовац задерживает прибывающие сверху льдины и ледяной покров, опираясь на ледяной свод, распространяется вверх против течения.

С точки зрения прохождения льда особенно неблагоприятная крутая S-образная излучина у Нови-Сада.

Река Тисса со своими весенними паводками, в основном запаздывающими по отношению к Дунаю, не имеет существенного влияния на ледовый режим Дуная.

Река Сава способствует сокращению периода ледохода и ледостава на Дунае. Весенние паводки Савы наступают на несколько дней раньше, чем паводки Дуная и Дравы, но её влияние на ледовый режим Дуная намного меньше, чем Дравы, хотя Сава является более многоводным притоком. Это можно объяснить тем, что ледовый режим Дуная выше устья Савы более благоприятен, а также тем, что ниже устья Савы морфологические условия для прохождения льда значительно лучше.

Годовая вероятность появления льда на этом участке уменьшается с 86,8% до 75,0%. Самая ранняя дата появления льда - 28 ноября /1902 г., Илок, 1298 км/ и самая поздняя дата очищения реки от льда - 21 марта /1929 г. Смедерево, III6 км/.

Продолжительность периода со льдом возможна внутри периода до II5 дней. Наблюдаемая наибольшая продолжительность периода со льдом была - 83 дня зимой 1939/40 гг.

Средняя продолжительность наличия льда снижается сверху вниз с 29 дней до 27,8 дня. У устья Савы она снижается до 24 дней и затем равномерно уменьшается до 20,5 дня.

Годовая вероятность наступления ледостава увеличивается с 31,6% до 49%. Самая ранняя дата наступления ледостава - 16 декабря /1902 г./ и самая поздняя дата вскрытия реки - 21 марта /1929 г. Земун, 1173 км/. Продолжительность ледостава возможна внутри периода до 97 дней. Наблюдаемая наибольшая продолжительность ледостава была 70 дней зимой 1954/1955 гг.

Средняя продолжительность наличия ледяного покрова составляет у Илок 4,4 дня, к устью Савы возрастает до 10,1, в районе устья снижается до 6 дней и затем постепенно повышается до 11 дней в узкости Сиколовац.

Показатель ледостава возрастает с 15,3% у Илок /1298 км/ до 29,6% у Нови-Сада /1255 км/ и затем равномерно повышается до 56% в узкости Сиколовац /1039 км/.

Сумма отрицательных температур, предшествующая первому появлению льда, возрастает между Илок /1298 км/ и Нови-Сад /1255 км/ с -30°C до $-32,8^{\circ}\text{C}$, затем до устья Савы /1170 км/ равномерно уменьшается до -25°C , в районе устья повышается до -33°C и далее остается почти неизменной и у узкости Сиколовац равна -32°C . Сумма отрицательных температур, предшествующая наступлению ледостава, колеблется в сравнительно небольших пределах, уменьшаясь от Илок к устью Савы с -89°C до -83°C , в районе устья повышается до -92°C и постепенно возрастает до -110°C выше Молдова-Беке /1048 км/.

Вскрытию реки предшествует в среднем сумма положительных температур $+17^{\circ}\text{C}$ у Илок, выше устья Савы она повышается до $+26,5^{\circ}\text{C}$, в районе устья снижается до $+19,5^{\circ}\text{C}$ и затем постепенно повышается. В узкости Сиколовац она равна $+29^{\circ}\text{C}$.

Уровень паводков, вызванных ледовыми явлениями только у Базиаш /1072 км/ превысил на 18 см уровень паводков без льда /см. приложение № 5, графики "С", "F" и таблицу № У/.

Узкость Сиколовац является неблагоприятной с точки зрения прохождения льда. Ледяной покров, опираясь на ледяной свод, образовавшийся в этой узкости, распространяется вверх по течению.

Ледяные покровы, опирающиеся на ледяные своды в узкости Сиколовац и выше устья Драгы, соединяются лишь в суровые зимы с повторяемостью около 30%.

3.24. Участок узкость Сиколовац - Турну-Северин

/1039 - 931 км/

Данные о ледовом режиме на этом участке имеются по водомерным постам Базиаш /1072,5 км/, Молдога-Веке /1048 км/, Дренкова /1015 км/, Оршова /955 км/ и Турну-Северин /931 км/ с 1900 по 1960 год. У Сваници /996 км/ и Плавишиевицы /976 км/ осуществлялись регулярные наблюдения за ледовым режимом только в течение 22 зим с 1891 по 1915 год. Характерные данные участка узкость Сиколовац - Турну-Северин содержатся в таблице УП и указаны в графиках приложения № 5.

Годовая вероятность появления льда на этом участке колеблется в небольших пределах между 73,3 - 86,5 %.

Средняя продолжительность периода со льдом колеблется между 19,6 дня /Сваница, 996 км/ и 26,4 дня /Плавишиевица, 976,3 км/.

Годовая вероятность наступления ледостава колеблется в широких пределах от 3,3 до 72,8%.

Средняя продолжительность ледостава колеблется между 0,4 дня /Турну-Северин, 931 км/ и 18,8 дня /Плавишиевица, 976 км/. Показатель ледостава колеблется между 1,8% и 71,3% /Плавишиевица/.

В таблице № I определены вышеуказанные величины для Базиаш Дренкова, Оршова и Турну-Северин на основе наблюдений за период 1901 - 1960 гг.

Участок ниже Дренкова /1016 км/ не замерзает. Вследствие сильного турбулентного движения воды образование льдин, донного льда и ледяной каши на этом участке весьма интенсивное. С точки зрения прохождения льда вход в ущелье Казаны /973,6 км/ весьма неблагоприятен, т.к. русло сужается до 170 м, глубина превышает 50 м, уклон реки составляет до 3,5 см/км и скорость течения практически падает ниже 0,5 м/сек. Всё это является причиной того, что даже небольшое количество льда задерживается и образуется ледяной ск褶.

После ледостава в узкости Сиколовац на нижележащий участок поступают только льдины, отрыгающиеся от ледяного свода, и густота ледохода, состоящего из поступающих льдин сверху и образующихся на самом участке, возрастает вдоль реки медленно.

Большое количество шуги, образующейся в районе Катарактов, влияет также и на ледовый режим Нижнего Дуная.

В разделах 3.I - 3.I9 указывалось на то, что Катаракты разделяют Дунай с точки зрения прохождения льда, на две резко различные части. Вышеприведенные выводы подтверждают правильность этого положения. Узкости этого участка полностью задерживают массы льда, прибывающие сверху. На Нижний Дунай поступает только лёд, образующийся на участке ниже ущелья Казаны.

В суровые зимы узкость Сиколовац и ущелье Казаны частично закрывают живое сечение с точки зрения прохождения льда.

После постройки гидроэнергетического и судоходного комплекса на участке Железных Ворот, можно ожидать, что в указанных створах условия ледового режима улучшатся.

Следует отметить, что ледяной покров, опирающийся на ледяной свод в ущелье Казаны и распространяющийся вверх по течению, доходит до ледяного свода в узкости Сиколовац только лишь в очень суровые зимы. Согласно таблице № I вероятность ледостава по водомерному посту Оршова за 60-летний период составляет только 13,3%.

Ледяной покров, опирающийся на ледяной свод в ущелье Казаны, чаще всего не является сплошным, а прерывается длинными участками, свободными ото льда, или с плавучими льдинами. Вследствие этого ледяные покровы Нижнего и Среднего Дуная практически никогда не связаны между собой. Это положение необходимо учитывать с точки зрения борьбы со льдом.

Высокие уровни воды при паводках, вызванных ледовыми явлениями, зимой 1941/42 гг. в ущелье Казаны превысили на 624 см уровень паводка без льда.

3.25. Участок Турну-Северин - Сулина /931 - 0 км/

Ледовый режим от Турну-Северина до устья /935 - 0 км/ постепенно ухудшается. Вероятность появления льда повышается от Турну-Северина до устья в сравнительно небольших пределах, вероятность наступления ледостава возрастает в большой степени, существенно возрастает продолжительность периода со льдом и ледоставом, в значительных пределах снижается сумма отрицательных температур, предшествующих ледоставу и, наоборот значительно повышается сумма положительных температур, предшествующая вскрытию реки /см. приложение № 5/. От Турну-Северина до

начала дельты Дуная средняя зимняя и январская температуры значительно снижаются, зимы намного суровее, чем на Среднем Дунае, уклон реки снижается и в связи с чем замедляется скорость течения. Повторяемость появления льда и наступления ледостава в первую очередь зависит от метеорологических условий, но наряду с ними также сказываются морфологические условия русла и распределение расхода воды в гирлах Дуная на участке выше Браилы.

Повторяемость ледостава под влиянием местных условий превышает величину, которую можно было бы ожидать на основе общего анализа.

Принимая во внимание местные условия, наиболее характерными участками можно считать: Турну-Северин - Калафат /931 - 795 км/, Олтеница - Чернавода /430 - 300 км/ и Галац - Тульча /150 - 72 км/. Согласно схемы Дуная /см.приложение № I/ видно, что на 346 км от Дуная отходит рукав Бала, отводящий приблизительно около 60% расхода воды в рукав Борча. Значительно уменьшенный расход воды в основном русле и малые скорости течения способствуют быстрому наступлению ледостава. К этому следует добавить, что у Чернавода /300 км/ Дунай поворачивает к северу и этот участок подвергается влиянию сильного и холодного северного ветра, так называемого "Кривец".

Ветер задерживает плавущие на поверхности льдины, уменьшает их скорость и ледоход становится более густым. Этому также способствует сужение русла у скал Хиршова /255 - 253 км/.

Годовая вероятность появления льда колеблется в сравнительно небольших пределах между 72% и 86%. Самая ранняя дата появления льда на этом участке - 7 декабря /1902 г. у Браилы/ и самая поздняя дата очищения реки от льда - 31 марта /1929 и 1932 гг. у Тульчи/.

Продолжительность периода со льдом возможна внутри периода до 116 дней; самая большая наблюдаемая продолжительность периода со льдом была 96 дней зимой 1953/54 гг.

Средняя продолжительность наличия льда у Турну-Северина - 20,9 дня, затем она постепенно возрастает до 27,6 дня у Олтеницы /430 км/, до 31,2 дня у Кэлэрэши /370 км/ и до 30 дней у устья. В районах устьев Серета и Прута наблюдается снижение на 5 дней.

Годовая вероятность наступления ледостава колеблется в значительных пределах между 0% у Турну-Северина и 82% в устье реки. Самая ранняя дата наступления ледостава - 8 декабря /1902 г., Тульча/ и самое позднее время вскрытия реки - 29 марта /1929 г., Тульча/. Продолжительность ледостава возможна внутри периода до 113 дней. Наблюданная наибольшая продолжительность ледостава была 85 дней зимой 1953/54 г.г.

Средняя продолжительность наличия ледяного покрова в начале участка у Турну-Северина - 0,4 дня, затем она постепенно увеличивается до 24 дней у Чернавода и до 25,7 дня у Тульчи.

На Нижнем Дунае лёд появляется раньше всего на участке дельты; ледостав здесь наступает раньше и ледяной покров разрушается позже, чем на других участках. Ледяной покров образуется как правило снизу вверх, однако, имеются участки, на которых образуется ледяной свод до того, как ледяной покров, распространяющийся на нижележащем участке, не достиг этих мест. Такое положение имеет место на участке между Кэлэраши и Браила. В большинстве случаев /90%/ ледяной покров выше Браилы не связан с ледяным покровом нижележащего участка. С точки зрения прохождения льда, весной неблагоприятным является участок между Хыршова и Браила /252 - 170 км/. В большинстве случаев река вскрывается раньше на участке выше, чем на участке ниже Хыршова /252 км/ и тогда льдины с верхнего участка нагромождаются на участке ниже Хыршова.

Показатель ледостава возрастает от Турну-Северина до Калафата /931 - 795 км/ с 0% до 22,4% и затем у Зимницы до 34,2%, у Хыршова /252 км/ он достигает 74,6%, затем снижается у Браилы /170 км/ до 68,8% и опять возрастает у Галаца /150 км/ до 70% и у устья - до 75%.

Сумма отрицательных температур, предшествующая первому появлению льда, колеблется в сравнительно небольших пределах. Она возрастает с $-39,9^{\circ}\text{C}$ у Турну-Северина до $-54,3^{\circ}\text{C}$ у Олтеницы /430 км/ и затем снижается у Чернавода /300 км/ до $-50,3^{\circ}\text{C}$, у Браилы $-53,2^{\circ}\text{C}$, а у устья - до -45°C .

Сумма отрицательных температур, предшествующая в среднем наступлению ледостава, наоборот колеблется в больших пределах. Её величина у Турну-Северина составляет -431°C , у Зимница /554 км/ значительно снижается до $-186,9^{\circ}\text{C}$ и у Чернавода /300 км/ до $-95,2^{\circ}\text{C}$, у Браилы возрастает до $-103,3^{\circ}\text{C}$ и под влиянием притоков

Серет и Прут вновь возрастает до $-130,3^{\circ}\text{C}$ и затем резко снижается у устья до -67°C .

Вскрытию реки предшествует в среднем сумма положительных температур у Турну-Северина 0°C . В 1929 году вскрытие здесь наступило при температуре ниже 0°C . Между Калафат и Джурдху /795 - 493 км/ её величина повышается с $+4,9^{\circ}\text{C}$ до $+9^{\circ}\text{C}$, затем резко повышается у Хыршова /252 км/ до $+26,0^{\circ}\text{C}$ и вновь падает у Галаца /150 км/ до $+19,5^{\circ}\text{C}$; у устья она равна $+40^{\circ}\text{C}$.

Анализируя приложение № 5, видно, что на Нижнем Дунае ледовый режим значительно ухудшается ниже Олтеницы /430 км/. С точки зрения ледового режима наиболее неблагоприятным является участок Чернавода - Хыршова /300 - 252 км/, что вызвано, с одной стороны, резким уменьшением расхода воды в основном русле /большая часть расхода проходит рукавом Борча/, с другой стороны, поворотом Дуная к северу у Чернавода, а также сужением русла у Хыршова /252 км/.

На участке ниже города Галац /150 км/ ухудшение ледового режима связано в первую очередь со снижением продольного уклона реки, вызванного разветвлением дельты на гирла, и уменьшением скорости течения воды. Необходимо также упомянуть неблагоприятное влияние излучин: Писика /140 км/ с радиусом кривизны в 850 м при ширине русла в 420 м и Тульча с радиусом кривизны в 700 м и с центральным углом почти в 180° .

Вскрытие реки в большинстве случаев /86%/ происходит сверху вниз под влиянием теплых ветров с запада. Это способствует образованию заторов и захоров, в связи с которыми создается опасность наводнений.

Уровень паводка, вызванного ледовыми явлениями в 1942 году на участке Турну-Северин - Сулина превысил крайние уровни паводков без льда на 195 см у Калафат /795 км/ и на 141 см у Джурдху /493 км/. Крайние низкие уровни при ледовых явлениях были ниже низкого уровня без льда в 1947 г. на 75 см у Турну-Мэгуреле /597 км/ и на 67 см у Чернавода /300 км/.

3.3. Выводы

На основе статистической обработки данных и описания ледового режима Дуная в целом и по участкам можно сделать следующие выводы:

1/ С точки зрения ледового режима Дунай целесообразно разделять на пять основных участков, а именно:

- выше гидроузла Кахлет;
- между гидроузлом Кахлет и Пёхларн;
- между Пёхларн и узкостью Сиколовац;
- между узкостью Сиколовац и Турну-Северин;
- между Турну-Северин и Сулина.

2/ Вероятность появления льда на Дунае колеблется между 72% - 93%, наибольшая продолжительность периода со льдом в наблюдаемый 60-летний период составляла -97 дней /Пакш, 1909 г./.

3/ Вероятность наступления ледостава колеблется между 0 - 82%. На участке Пассау - Пёхларн до постройки гидроузлов ледостав никогда не наблюдался. У Турну-Северина вероятность наступления ледостава 0%. Наибольшая вероятность наступления ледостава 82% на участке Браила - Сулина. Наибольшая продолжительность ледостава в наблюдаемый 60-летний период составляла 85 дней у Хиршова /1953/54 гг/.

4/ На зимний температурный режим воздуха вдоль Дуная большое влияние имеет горная цепь Карпат и их влияние оказывается на Среднем Дунае, где средние температуры воздуха сравнительно выше, чем на Верхнем и Нижнем Дунае. Зимний климат Верхнего и Нижнего Дуная намного суровее, чем Среднего Дуная.

5/ Условия прохождения льда на Среднем Дунае значительно неблагоприятнее, чем на Нижнем и Верхнем Дунае, что является следствием худших морфологических условий русла.

6/ Верхний Дунай разделяется гидроузлом Кахлет /до строительства - порогами/ с точки зрения ледового режима, на два совершенно различных участка.

7/ Участок выше гидроузла Кахлет, с точки зрения ледового режима неблагоприятен, здесь даже в относительно несурвые зимы образуется ледяной покров, достигающий протяженности до 240 км: Неблагоприятными местами являются отмель в районе устья р.Изар и крутые излучины в районе Штраубинг.

8/ Участок Верхнего Дуная между Пассау и устьем Моравы, с точки зрения прохождения льда, является самым благоприятным на Дунае.

9/ На участке выше гидроузла Кахлет максимальные высокие уровни воды при паводках со льдом превышают максимальные уровни воды при паводках без льда на 63 см.

10/ На Среднем Дунае, с точки зрения прохождения льда, самым неблагоприятным участком является участок между Домбори и устьем р.Дравы. Этот участок в нынешнем состоянии не обеспечивает беспрепятственный проход льда и неблагоприятно влияет на ледовый режим вышележащего участка.

В большинстве случаев ледостав наступает между Мохач и устьем р.Дравы и ледяной покров, опирающийся на создавшийся тут ледяной свод, распространяется вверх.

При вскрытии реки льдины вышележащих участков, в большинстве случаев нагромождаются на участке Домбори - Мохач и их дальнейшее прохождение возможно только после вскрытия реки и её очищения от льда на участке Мохач - устье р.Дравы.

11/ Участок между Палковичово и излучиной Багомер, с точки зрения прохождения льда, является также неблагоприятным и его влияние неблагоприятно оказывается на ледовый режим вышележащего участка.

12/ Ледовый режим Среднего Дуная намного благоприятнее ниже устья р.Дравы, чем выше его, хотя и условия для прохождения льда на участке устье р.Дравы - Вуковар не являются удовлетворительными.

13/ Исключительно неблагоприятными местами, с точки зрения прохождения льда, являются узкость Сиколовац и вход в ущелье Казаны.

14/ В большинстве случаев ледяные покровы, опирающиеся на ледяные своды, образовывающиеся в излучине Багомер, в районах устья р.Дравы и узкости Сиколовац, не связаны между собой.

15/ Ледяной покров, образовавшийся на Среднем Дунае, начиная от узкости Сиколовац, в самые суровые зимы достигал протяженности 100 км.

16/ Если имеет место образование ледяного свода с последующим формированием ледяного покрова больших размеров, то в любом месте могут образовываться заторы и захоры и вызывать опасность ледовых наводнений. Наибольшая опасность таких наводнений возможна на участке Среднего Дуная между Дунафельдвар и устьем р.Дравы.

17/ В образовании захоров и заторов наряду с морфологическими условиями реки, главную роль играют температурные условия. Опасность

представляют собой часто наблюдающиеся инверсии во время образования ледяного покрова или вскрытия реки ото льда.

18/ С точки зрения ледового режима, Средний и Нижний Дунай резко разделяются участком Железных Ворот. Вероятность наступления ледостава ниже ущелья Казаны до Оршова составляет 13,3%.

19/ На Нижнем Дунае самыми неблагоприятными участками, с точки зрения ледового режима, являются участок Браила - Сулина и участок между Кэлэрэши и Браилой, где изобилуют крутые излучины и разветвления на рукава. Эти участки также неблагоприятно влияют на ледовый режим вышележащих участков.

20/ Ледяные покровы участков ниже и выше Браилы в большинстве случаев не связаны между собой. Длина ледяного покрова на Нижнем Дунае в самые суровые зимы не достигала 935 километра и не имела связи с ледяным покровом Среднего Дуная.

21/На Нижнем Дунае также существует опасность образования зажоров и заторов, вызывающих наводнения с уровнями воды, которые превышают уровни при паводках без льда.

22/ Скорость образования ледяного покрова достигает на Верхнем Дунае в среднем 4 - 5 км/сутки, исключением был 1956 год, когда она достигала 40 км/сутки. На Среднем Дунае средняя скорость образования ледяного покрова - 18 - 24 км/сутки, но в 1957 году она была 36 км/сутки и в 1956 г. - 40 км/сутки. На Нижнем Дунае максимальная скорость достигала даже 150 км/сутки.

На основе разницы между действительной и теоретической скоростями образования ледяного покрова при данных условиях можно определить, какое количество льда вода уносит под ледяной покров и на основе этого определить возможность образования зажоров, которые могут вызвать образования заторов при весеннем ледоходе, и в результате этого опасности паводков.

4. ВЛИЯНИЕ ГИДРОЭЛЕКТРОСТАНЦИЙ НА ЛЕДОВЫЙ РЕЖИМ РЕКИ

Гидроузлы на судоходной части реки резко изменяют её ледовый режим. В верхнем бьефе плотины вследствие подпора воды, глубины резко увеличиваются и увеличивается также зеркало воды. Вследствие уменьшения уклона снижается скорость течения, а значит и количество влекомых наносов. Это положение наиболее оказывается в направлении от выклинивания подпора к плотине и особенно в

период мелководья. Все эти факторы в той или иной форме влияют на ледообразование и общий ледовый режим реки.

В период малых вод в интересах получения электроэнергии, гидроэлектростанции с малыми водохранилищами и с низким напором заинтересованы в поддержании нормального эксплуатационного уровня воды в верхнем бьефе, а следовательно, задерживается и лёд, в связи с чем образуется значительный ледяной покров и таким образом возрастает повторяемость и продолжительность ледостава, что отрицательно оказывается на судоходстве. В нижнем бьефе вследствие не-поступления льда сверху сохраняется чистая вода или в зависимости от понижения температуры воздуха, происходит самостоятельное образование льда. Одновременно следует отметить, что эксплуатация гидроэлектростанций с ежедневными пиками, а также открытие затворов для сброса воды вызывают колебания уровня воды выше плотины, облегчающие разрушение ледяного покрова в непосредственной близости от плотины.

Температура воды в верхнем бьефе вследствие наличия ледяного покрова близка к 0°C , образование донного льда и шуги не происходит. Температура воды под ледяным покровом возрастает по направлению к плотине гидроузла пропорционально глубине воды /Приложение № II/.

Что касается верхних бьефов гидроэлектрических австрийских станций, расположенных на Дунае, то там никогда не наблюдалось повышение температуры воды под ледяным покровом в водохранилище по направлению к плотине. Как только температура воды превышает 0°C происходит разрушение ледяного покрова. Однако возможно повышение температуры воды на дне водохранилища. Многочисленные наблюдения показывают, что донный лед образуется во всех случаях в нижних бьефах плотин и это позволяет прийти к выводу, что фактически температура воды достигает 0°C .

В Советском Союзе были зарегистрированы в верхнем бьефе при ледяном покрове в 70 см на глубине более 12 метров температуры воды, равные $+2,65^{\circ}\text{C}$. Исследователи объясняют такое потепление воды как следствие освобождения тепла ложа реки или выделением тепла от разложения органических веществ, находящихся в иле.

Результаты подобных исследований у гидростанций на Дунае не опубликованы, поэтому в условиях реки Дуная в будущем следует проводить наблюдения в связи с этим явлением.

Таким образом при сооружении гидроэлектростанций на судоходных реках следует координировать интересы судоходства и получения электроэнергии.

В то время, когда для нужд судоходства в период ледовых явлений в самом начале зимы необходим пропуск льда во избежание ледостава или разрушение ледяного покрова и тем самым увеличение навигационного периода, для производства электроэнергии желательно в верхнем бьефе плотины быстрое образование беспрерывного ледяного покрова.

Однако в конце зимы интересы защиты от паводка и возможных наводнений являются первостепенными и поэтому ещё до поступления льда с вышележащих участков в верхнем бьефе гидроузлов производится разрушение ледяного покрова и пропуск льда в нижний бьеф.

Влияние на ледовый режим гидроузлов, построенных на верхнем участке Дуная из-за относительно малого периода их эксплуатации, характеризовать довольно трудно, имеются только некоторые данные об участке, подвергающемся влиянию гидроузла Кахлет.

Следует отметить, что в настоящее время на Нижнем Дунае Катаракты, в частности узкость Сиколовац и ущелье Казаны, имеют с точки зрения ледового режима такое же влияние на прохождение льда, как и частичное закрытие живого сечения.

При оценке влияния гидроузлов на реках с точки зрения ледового режима следует четко различать так называемые "одиночные гидроузлы" и "каскад гидроузлов". Одиночными называются те гидроузлы, выше подпорной границы которых длинный участок остается в естественном состоянии, о каскаде же говорится в том случае, если подпор нижележащего гидроузла действует до вышележащего, или если между ними остается небольшой участок свободного течения.

Гидроузел на реке имеет разное влияние на ледовый режим участка выше и ниже его. Эта разница резко выражается при одиночном гидроузле.

4.1. Участок выше гидроузла

Как было уже указано в пункте I.2, появление льда зависит в первую очередь от температурных условий, а в ледоставе решающую роль играют морфологические условия реки. Гидроузел не изменяет климат района, но условия стока и связь между расходом и морфологическими условиями русла существенно меняются.

Общеизвестно, что лёд раньше появляется в стоячей воде и на водотоках с медленным течением, следовательно, в верхнем бьефе гидроузла следует рассчитывать на появление льда даже в течение зимы, когда в свободном течении в аналогичных условиях лёд не образуется.

Изменение годовой повторяемости ледостава в связи с постройкой гидроузлов можно наблюдать на примере гидроузла Кахлет. По имеющимся данным за 54-летний период /1825/26 - 1878/79 гг./ на незарегулированной реке годовая повторяемость ледостава была 55,6%, а за 32-летний период /1928/29 - 1959/60 гг./ после строительства гидроузла, повторяемость ледостава возрасла до 78%. Как видно из данных у гидроузла Кахлет ледостав наступал во все зимы, когда появлялся лёд. Приложение № I2 наглядно показывает влияние гидроузла на ледовый режим реки. Также видно, что вопреки работе трех ледоколов лёд останавливался в верхнем бьефе даже зимой 1954/55 гг., когда на вышележащем участке ледоход длился всего 3 дня. Характерные данные о ледовом режиме гидроузла Кахлет и вышележащего участка содержатся в таблице № УШ. На участке от гидроузла до устья р.Изар показатель ледостава падает с 98% до 25%. Следует ещё раз подчеркнуть, что на участке Катарактов, а именно на участке выше ущелья Казаны, у Плавишивица лёд наблюдался в 90% случаев /зим/, а у Дренкова ледостав наступал только в 25% случаев. Показатель ледостава у Плавишивицы был 71,3 % и только 16,9% у Дренкова.

При оценке изменения среднего количества дней со льдом следует исходить из условий, наблюдавшихся на гидроузле Кахлет. Среднее количество дней со льдом за период 1948/49 - 1962/63 гг., на участке длиной в 51 км от устья р.Изар до гидроузла увеличивается с 16,4 дня до 25,1 дня. Это увеличение дней с ледовыми явлениями происходит из-за того, что разрушение образующегося в верхнем бьефе гидроузла ледяного покрова и пропуск льда не обеспечиваются своевременно.

у Йохенштейна и Ибс-Пёрзенбёйга в свободном течении средняя продолжительность периода со льдом равна 15 дням.

В Приложении I3 приведены условия, наблюденные в 1929 году на участке выше гидроузла Каухлет, когда в зоне выклинивания вследствие огромных ледяных масс, не унесенных под ледяной покров, уровень воды поднялся по сравнению с уровнем без льда при одинаковом расходе на 2,5 м. Такое же повышение уровня наблюдалось зимой 1955/56, 1956/57 и 1959/60 гг. В 1955/56 гг. у г. Фильскофен /на 19 км выше Каухлета/, когда во время ледостава уровень поднялся на 3 м, город дважды в течение зимы был подвержен наводнению.

Следует также указать, что с вышележащего участка, свободного от льда или покрытого льдинами, под ледяной покров поступает переохлажденная вода и, следовательно, образование внутриводного льда продолжается на коротком участке под ледяным покровом. Опасность образования захорог чаще всего возникает вблизи верхнего края ледяного покрова, так как переохлажденная вода, после небольшого пройденного пути нагревается и образование внутриводного льда прекращается. Согласно наблюдениям, проводимым на каскаде гидроузлов реки Инн, клубки ледяной шуги под ледяным покровом, если они не примерзают к верхнему краю ледяного покрова, после непродолжительного времени тают, а попавшие под свод льдины теряют прочность и распадаются.

На увеличенной по площади поверхности канализированной реки образуется больше поверхностного льда чем до канализирования, а после образования ледяного покрова не создается внутриводный лёд. Из проведенных исследований видно, что объем внутриводного льда в неканализированных участках реки значительно больше объема поверхностного льда на тех же канализированных участках и тем не менее в верхнем бьефе гидростанций опасность наводнений, вызванных ледовыми явлениями, увеличивается из-за повышения повторяемости ледостава. Наибольшая опасность наводнения возникает обычно в зоне выклинивания подпора. Опасность наводнений уменьшится при постройке вышележащих гидроузлов. Она уменьшится от границы выклинивания подпора к плотине, но только при принятии соответствующих мер.

Толщина ледяного покрова на Верхнем Дунае в зоне подпора лишь в исключительных случаях достигает 30 - 40 см и даже в самые

суровые зимы не превышает 60 см, а торожение в зоне границы подпора может достигать нескольких метров, толщина ледяной шуги под ледяным покровом может превышать 8 - 10 м.

Сумма отрицательных температур, предшествующая появлению льда и ледоставу и сумма положительных температур, предшествующая вскрытию реки, также меняются вследствие канализирования реки. Ожидаемые изменения обычно можно определить лишь на основе теоретических соображений или по аналогии. Опыт гидроузла Кахлеть позволяет предположить, что в верхнем бьефе, вследствие определенного температурного расслоения, образование поверхностного льда начинается раньше, т.е. при меньшей сумме отрицательных температур, чем на аналогичном участке со свободным течением. Разница может быть в несколько дней или в -6 , -10°C . Сумма же отрицательных температур, предшествующая ледоставу, уменьшается в гораздо больших размерах, так как оказывается влияние льдин, останавливающихся в верхнем бьефе. Сумму положительных температур, предшествующую вскрытию реки, обычно трудно определить, так как разрушение ледяного покрова ускоряется как повышением уровня воды, так и применением ледоколов.

Обобщая, можно отметить, что ледовый режим в выклинивании подпора верхнего бьефа одиночного гидроузла ухудшается в сравнении с аналогичным участком свободного течения реки, что выражается в повторяемости появления льда, удлинении срока ледостава и общем удлинении периода со льдом, при этом в подпорной зоне образуется льда меньше, чем на аналогичном участке со свободным течением.

В зоне выклинивания подпора возможно образование заторов и наводнений, уровни при которых могут достичь и превысить уровни наводнений без льда.

4.2. Участок ниже гидроузла

На участке ниже одиночного гидроузла условия образования льда после его постройки остаются, как правило, неизменными, но условия ледохода и ледостава изменяются значительно. Когда в верхнем бьефе наступает ледостав, то количество льда в нижнем бьефе будет зависеть от количества льда, сбрасываемого через соответствующие сооружения гидроузла, и количества льда, образующегося на самом участке. После образования ледяного покрова в верхнем бьефе, в нижний бьеф не поступает переохлажденная вода,

и, следовательно, ниже гидроузла будет значительно меньше льда, чем в свободном течении аналогичного участка.

Так как вода, сброшенная с верхнего бьефа, имеет температуру выше 0°C, то образование льда и ледоход начинаются лишь на некотором расстоянии от гидроузла. Так например, ниже Днепровской гидростанции свободный от льда участок реки достигает 30 км, ниже Ивановской - 25 км, ниже ущелья Казаны свободный от льда участок реки не был меньше 30 км даже в самые суровые зимы.

На участке нижнего бьефа образование льда, после переохлаждения поступившей сверху воды, происходит весьма интенсивно, поэтому такие участки являются очагами образования внутриводного льда. Для нижнего участка имеет значение тот факт, пропускается ли вода с верхнего бьефа через турбины или же через верх сливной плотины. Вода, пропущенная через турбины, имеет значительно более высокую температуру, чем вода, пропущенная через верх сливной плотины.

Резюмируя, можно сказать, что ввиду уменьшения наличия ледяных масс в нижнем бьефе, повторяемость ледостава и протяженность образующегося ледяного покрова здесь значительно меньше, чем на аналогичном участке со свободным течением.

При правильной эксплуатации гидроузлов, учитывающей как требования энергетики, так и навигации, можно сократить и даже исключить возможность образования в нижнем бьефе заторов, заторов и вызываемые ими наводнения.

Как правило, для беспрепятственного пропуска льда, исключающего образование заторов и т.д., до спуска льда с верхнего бьефа, необходимо предварительно раздробить и пропустить лёд нижнего бьефа.

4.3. Строительство каскада гидроузлов на Дунае и их влияние на ледовый режим реки

Научно-исследовательским институтом водного хозяйства Венгерской Народной Республики проведены исследования в области прогнозирования ледовых явлений на Дунае при последующем зарегулировании реки, когда вступят в эксплуатацию ещё ряд гидроэлектростанций.

В приложении I4 показаны намечаемые к постройке гидроузлы и их месторасположение, подпорные уровни и т.д., но всё это

на настоящий момент носит ориентировочный характер.

Как видно из приложения № 14, график "А" на участке Пассау - Файс /2230 - 1510 км/ планируется строительство каскада гидроузлов, которые будут тесно связаны между собой. Это означает, что подпор плотин, даже при малых водах, будет иметь влияние на нижний бьеф расположенных выше гидроузлов. Однако выше гидроузла Кахлете и между гидроузлами Файс и Железные Ворота и в дальнейшем останется участок значительной длины Файс - Сланкамен со свободным течением. Поэтому гидроузлы Кахлете и Железные Ворота и в будущем следует считать одиночными. Ввиду этого, влияние канализирования рассматривается только по участкам Регенсбург - Кахлете /2379 - 2230,5 км/, Кахлете - Файс /2230,5 - 1510 км/ и Файс - Сланкамен /1510 - 1214/, /ом. Приложение № 14, графики "А", "Е"/.

4.31. Участок Регенсбург - Кахлете /2379 - 2230,5 км/

До строительства новых гидроузлов условия судоходства и прохождения льда на этом участке будут улучшаться путем регуляционных работ. С точки зрения ледового режима не предвидется значительных изменений, однако, можно ожидать, что вследствие регуляционных работ, годовая повторяемость, продолжительность и величина показателя ледостава снизится у устья р.Изар. В верхнем бьефе гидроузла не ожидается снижения годовой повторяемости появления льда и сокращения периода со льдом, поэтому кажется оправданным предвидеть 95% годовую повторяемость появления льда и в среднем 25 дней со льдом. В верхнем бьефе гидроузла можно предложить 93% годовую повторяемость ледостава и 24-дневную среднюю продолжительность ледяного покрова.

4.32. Участок Кахлете - Файс /2230,5 - 1510 км/

На этом участке, после канализирования годовая повторяемость появления льда повысится до 95 - 97% и ледостава в верхнем бьефе плотин до 93 - 94%.

В верхнем бьефе плотины Кахлете средняя продолжительность периода со льдом равна примерно 25 дням, к Дунакишли она увеличится до 27 дней, у Надьмарош до 40 и у Файс до 44 дней. Эти величины относятся к бьефам указанных плотин. В их нижнем бьефе она сократится примерно на 4 - 9 дней.

Средняя продолжительность ледяного покрова в верхнем бьефе гидроузлов возрастет от Пассау к Дунакилити с 23 до 27 дней, затем у Надьмарош до 38 и у Файс до 43 дней. Практически в нижних бьефах гидроузлов образования ледяного покрова не будет, если в холодные периоды не будет разрушения льда в верхних бьефах и ледяной покров, опирающийся на нижележащую плотину, не достигнет нижнего бьефа вышележащей плотины.

Показатель ледостава будет в верхних бьефах будущих плотин около 94 - 98%, а в нижних бьефах 0%.

4.33. Участок ниже плотины Файс

Этот участок длиной в 567 км разделяется на две части с точки зрения условий прохождения льда: на участок длиной в 296 км между Файс и Сланкамен /свободное течение/ и на подпорный участок длиной в 271 км между Сланкамен и плотиной Железных Ворот /в периоды малых вод граница подпора будет достигать Сланкамена/.

Годовая повторяемость появления льда сократится от Файс до Железных Ворот с 97 до 94%. Годовая повторяемость ледостава в нижнем бьефе плотины Файс будет 0%. Следует отметить, что на участке ниже плотины Файс не предвидется образование такого количества льда, чтобы у устья Дравы мог бы образоваться ледяной свод и годовая повторяемость ниже гидроузла Файс до Апатина сократится с 59 до 3 - 4%.

Средняя продолжительность периода со льдом будет в нижнем бьефе гидроузла Файс 35 дней. Образование ледяного покрова в нижнем бьефе гидроузла Файс не предвидится. Кривая изменения средней продолжительности ледяного покрова /Приложение № I4, график "D"/ показывает, что на участке Мохач - Апатин предвидется средняя продолжительность в 1 день.

Показатель ледостава будет в нижнем бьефе гидроузла Файс 0%.

Кривые изменения показателей ледового режима показывают, что ледовый режим неподпретого участка со свободным течением Файс - Сланкамен будет улучшаться.

Научно-исследовательским институтом водного хозяйства Венгерской Народной Республики также изучены возможные изменения в связи с постепенным строительством гидроузлов на Дунае, а именно: влияние одиночного гидроузла Надьмарош, совместное влияние каскада

гидроузлов Вольфсталь, Дунакилити, Надьмарош, Адонь и Файс.

4.4. Выводы

Результаты ориентировочных исследований резюмируются в следующем:

1. Канализирование реки значительно изменит её ледовый режим.

2. При оценке влияния гидроузлов следует различать так называемые одиночные гидроузлы и каскад гидроузлов.

3. Гидроузлы изменят в подпорной зоне режим стока воды и её температурный режим. Увеличится глубина, поверхность воды, живое сечение; уменьшится скорость, турбулентность и концентрация наносов, образуется определенное расслоение толщи воды по температуре, температура вблизи дна в более глубоких бьефах будет значительно выше 0°C.

4. На Дунае, как судоходной реке, с точки зрения пропуска льда интересы судоходства и производства электроэнергии противоречивы. В начале зимы интересы судоходства требуют пропуска льда, с целью предотвращения ледостава, разрушения образовавшегося ледяного покрова и сохранения свободного судоходного пути, потребность же производства электроэнергии требует скрого образования и долгого сохранения ледяного покрова.

Однако интересы одних и других могут быть согласованы применением ледоколов, могущих обеспечить свободный ото льда фарватер в районе подпора, поскольку необорудованные участки реки открыты для судоходства.

5. Влияние гидроузлов на ледовый режим в их верхнем и нижнем бьефах оказывается по разному. Эта разница особенно значительна при одиночной плотине, когда ледовый режим в верхнем бьефе ухудшается, повышается повторяемость появления льда и особенно ледостава и удлиняется средняя продолжительность периода со льдом, особенно периода ледостава. Ледовый же режим участка ниже гидроузла улучшается, снижается годовая повторяемость ледостава /на участке, примыкающем к гидроузлу до 0%, а также средняя продолжительность периода ледостава. При неблагоприятных условиях таяния угроза наводнений, вызванных ледовыми явлениями, остается на участке выше плотины и увеличивается к выклиниванию подпора, а ниже гидроузла, незначительно сокращается.

6. В верхних бьефах гидроузлов, если не препятствуют образованию ледяного покрова, образуется гораздо меньше льда, чем на участках со свободным течением. Объем льда, образующегося в неканализированных реках, в несколько раз больше, чем в канализированных.

7. В соответствии с условиями образования ледяного покрова, в верхних бьефах он самый тонкий и самый гладкий, у плотины вверх по течению толщина и шероховатость поверхности увеличивается, а в зоне выклинивания подпора часто бывают зажоры и заторы. Толщина ледяного покрова в подпорной зоне и в самые суровые зимы не превышает на среднем Дунае 60 см, а торопление в несколько слоев, образующееся вблизи границы выклинивания подпора, может достигать нескольких метров, толщина ледяной шуги, находящейся по ним может превышать 8 - 10 м.

8. Строительство гидроузла Файс настолько улучшит ледовый режим участка ниже его, что ледяной свод в районе устья Дравы будет образовываться только в исключительных случаях.

9. После запланированного полного канализирования Дунай можно будет разделить, с точки зрения ледового режима, на четыре участка.

Ледовый режим участка Регенсбург - Пассау улучшится вследствие регуляционных работ, запланированных в интересах судоходства, но характер ледового режима, по сравнению с настоящим, не изменится.

На участке Пассау - Файс запланированные гидроузлы имеют взаимное влияние. Средняя продолжительность периода со льдом увеличится по сравнению с настоящим периодом и в верхних бьефах будет примерно 25 - 44 дня, а в нижних 20 - 40 дней. Средняя продолжительность наличия ледового покрова будет в верхних бьефах 23 - 43 дня, а в нижних 0. На этом участке будет образовываться значительно меньше льда, чем при свободном течении.

5. МЕТОДЫ БОРЬБЫ СО ЛЬДОМ

Борьба с ледовыми явлениями во всём её многообразии и предотвращение паводков, наносящих значительный ущерб, предусматривает прежде всего осуществление ряда мероприятий предупредительного характера - беспрепятственный пропуск льда вниз по течению, а затем уже действенные меры по предупреждению паводков, вызванных ледовыми явлениями.

5.I. Предупредительные мероприятия

5.II. Регулирование реки

Одной из основных целей регуляционных работ на реке является приведение непрерывно изменяющегося русла в наиболее благоприятное состояние для целей судоходства, а также обеспечение беспрепятственного пропуска влекомых наносов и в зимний период льда.

Регуляционные работы ведутся с целью предотвращения размыва берегов, спрямления резких излучин, устранения значительного расширения русла, способствующего образованию перекатов или неблагоприятных сужений, препятствующих судоходству, а также пропуску паводков и ледохода.

Крутые излучины с небольшим радиусом кривизны и большим центральным углом являются серьезным препятствием для судоходства и пропуска ледовых масс. Обычно у вогнутого берега глубины увеличиваются, куда и устремляется основная масса воды, а у противоположного берега образуются отмели. На прямых участках реки при значительной её ширине и неустойчивых берегах обычно образуются отмели и перекаты, способствующие образованию заторов и зажоров.

К регуляционным работам относится также перекрытие ответвляющихся от основного русла рукавов и очистка поймы от всякого рода естественных и искусственных препятствий, которые могут способствовать задержке льда в период ледохода.

Проведенные до сих пор регуляционные работы на Верхнем и Среднем Дунае значительно способствовали улучшению ледового режима.

Регуляционные работы, проводимые на Сулинском канале, обеспечивают проход льда и позволяют эффективно использовать ледоколы, обеспечивая в последнее время бесперебойное судоходство на морском участке Дуная почти в течение всего зимнего периода.

5.12. О габаритах мостов и других сооружений

Габариты мостов, рекомендованные Дунайской Комиссией, удовлетворяют требованиям свободного пропуска льда и паводков. При строительстве новых мостов рекомендуется полезная ширина судоходных пролетов не менее 100 м.

С точки зрения пропуска льда 100-метровая ширина при среднем уровне воды предусматривается не только для судоходных пролетов, но и для береговых. Рекомендуемая полезная высота мостов, необходимая для судоходства, также отвечает требованиям пропуска льда.

Для пропуска максимальных паводков /а также при средних уровнях/ необходимо и на поймах иметь места для пропуска льда. Полезная высота их должна быть по крайней мере на 1 м выше уровня максимального паводка.

При проектировании и строительстве мостов, кроме определения необходимых размеров пролетов, всегда надо тщательно учитывать и состояние русла реки как выше, так и ниже их. Не должно быть такого положения, чтобы после строительства моста создались неблагоприятные изменения в русле или в отношении пропуска расходов воды, наносов и льда.

Ширину и высоту сооружений гидроузлов для пропуска паводков необходимо определять таким образом, чтобы был обеспечен беспрепятственный пропуск не только паводковых вод, но и ледохода. Очень важно также иметь водосбросные сооружения на случай поступления льда.

Воздушные линии передач над реками или трубопроводы, уложенные по дну реки, должны размещаться таким образом, чтобы они не мешали пропуску паводков и льда.

5.13. Содержание русла

Содержание регуляционных сооружений в хорошем состоянии является необходимым. Необходимо своевременно производить ремонтные работы, т.к. в противном случае могут разрушиться дорогостоящие регуляционные сооружения, а последствия разрушений могут вызвать неблагоприятные деформации в русле реки и стать препятствием для судоходства и пропуска льда.

Влекомые потоком предметы, как например, стволы деревьев, пни и прочее, оседая на отмелях, могут создать перекаты значительных размеров, которые затем становятся препятствием для судоходства и пропуска льда. Поэтому необходимо постоянное наблюдение за состоянием русла и своевременное устранение препятствий, мешающих судоходству и пропуску льда. Необходимо удалять остатки уже нефункционирующих регуляционных сооружений, выступающих в русло реки и тем самым создающих препятствия судоходству и пропуску льда.

5.2. Оперативная борьба со льдом

При рассмотрении способов оперативной борьбы со льдом, основываясь на имеющихся опытах, следует подчеркнуть, что оперативная борьба не исключает необходимости регулирования реки, а наоборот, последняя является одной из предпосылок успешной борьбы со льдом. Однако необходимо указать и на то, что одними регуляционными работами не обеспечивается беспрепятственный пропуск льда и предупреждение опасности паводка, так как в суровые зимы всегда приходится считаться с наступлением ледостава, образованием ледяного покрова и возможностью образования затора.

Габариты фарватера, рекомендуемые Дунайской Комиссией, отнесены к низкому и высокому судоходным уровням воды. Известно, что на Дунае лёд появляется обычно при низких уровнях воды и ледостав наступает на морфологически неблагоприятных участках при средних величинах низкого уровня воды для определенного периода года. Из этого следует, что морфологические условия русла при низком уровне значительно осложняют пропуск льда. Если рассмотреть три основных размера русла - глубину, ширину, радиус кривизны, с точки зрения указанных Рекомендаций, то можно сделать вывод, что минимальные габариты фарватера удовлетворяют требованиям судоходства, хотя и с некоторыми ограничениями. Однако на практике имеются неблагоприятные с морфологической точки зрения участки реки, где достижение указанных габаритов требует больших капиталовложений. На таких участках даже при достижении указанных габаритов следует считаться с опасностью, возникающей в период ледовых явлений. Поэтому устранение указанной опасности и удлинение навигационного

периода могут быть достигнуты только путем совместного и согласованного применения дополняющих друг друга оперативных мероприятий.

К мероприятиям оперативной борьбы относятся: служба наблюдения за ледовыми явлениями и обеспечения связи, как основная предпосылка оперативной борьбы со льдом /разрушение льда ледоколами, взрывами, бомбардированием и другими способами/.

5.21. Служба наблюдения за льдом и обеспечение связи

Основным требованием для принятия заблаговременных и необходимых мероприятий по устранению опасности ото льда является точное знание его положения в любое время. Поэтому, начиная с появления льда на Дунае до весеннего ледохода необходимо, чтобы служба наблюдения и обеспечения связи выполняла тщательную и надежную работу для взаимной, быстрой и надежной информации между отдельными службами заинтересованных придунайских стран.

В связи с этим необходимо иметь достаточное количество наблюдателей на берегах Дуная и на его основных притоках.

5.22. Ледоколы

Эффективным средством в борьбе со льдом является применение ледоколов как на реке в естественном или регулированном состоянии, так и на шлюзовых участках.

5.221. Предупреждение или замедление наступления ледостава

В период первичного ледохода в начале зимы ледоколами разрушаются опорные базы ледяного покрова, образующиеся в неблагоприятных с морфологической точки зрения местах и достигающие толщины в несколько метров. Ледоколы курсируют непрерывно по этим участкам, с тем, чтобы волнами предупредить или, по крайней мере, замедлить наступление ледостава. В результате действия ледоколов значительное количество льда пропускается вниз по течению. В суровый и продолжительный зимний период, хотя наступление ледостава и не устраивается, все же в период весеннего паводка река несет значительно меньшее количество льда в связи с чем уменьшаются возможности образования заторов.

Участки, являющиеся неблагоприятными с точки зрения прохождения льда, способствуют образованию ледяного свода и наступлению

ледостава, а также образованию заторов на вышележащем участке, при этом, если не применять ледоколы, то накапливающиеся во время первичного ледохода на участках с ледяным покровом льдины, а также льдины, прилипнувшие ко дну, при вторичном ледоходе часто образуют заторы. В результате применения ледоколов возможно предотвратить образования заторов в период образования и разрушения ледостава и вызвать ледоход по крайней мере, на шлюзовых участках реки.

5.222. Дробление ледяного покрова во время его формирования

Если лёд останавливается на неблагоприятном участке реки и под ледяным сводом еще не образовалось скопление крупных льдин, то необходимо начать ледоколами дробление формирующегося ледяного покрова, в направлении снизу вверх. Работы следует продолжать до тех пор, пока не будет обеспечено беспрепятственное движение раздробленного ледяного покрова. Хотя скорость развития ледяного покрова обычно превышает скорость его разрушения, всё-таки указанным способом достигается уменьшение количества льда при весеннем паводке.

5.223. Разрыхление льда в конце зимы, т.е. создание вторичного ледохода

Если ледоколы не могут работать во время ледостава из-за неблагоприятных метеорологических условий или из-за положения ледового покрова, то не следует дожидаться того времени, когда при потеплении река сама освободится от ледяного покрова, вызывая тем самым в некоторых случаях катастрофические паводки. Работу по разрушению ледяного покрова необходимо вести ледоколами, как только для этого появится возможность, начиная с нижнего участка и направляясь вверх против течения. Нужно всемерно способствовать началу ледохода и пропуску льда, разрушая опорные базы покрова и раздробляя льдины.

Подобная работа ледоколов уменьшает опасность паводков и увеличивает продолжительность навигационного периода.

5.224. Характеристика ледоколов

Речные ледоколы имеют относительно небольшие габариты, усиленную конструкцию корпуса, большую маневренность и машинную установку большой мощности. Носовая часть ледоколов бывает двух видов. Старые ледоколы имели впереди режущую кромку, которой разрезался лёд. Такая конструкция носовой части не оправдала себя, так как ледоколы часто застревали в разрезанном ледяном покрове.

Современные ледоколы имеют усиленный нос в форме лопасти. Эти ледоколы набегают на ледяной покров и от веса ледокола лёд ломается. Наконец, нужно указать на самые новые типы ледоколов, которые снабжены маятниковым оборудованием, благодаря которому имеется возможность значительного кренования ледокола в продольном и по-перечном направлениях, чем значительно увеличивается эффективность их работы.

Современные ледоколы имеют, как правило, дизельную машинную установку. Мощность двигателей у старых ледоколов составляла 200 - 400 л.с. и практически оказалась недостаточной, прежде всего для ледоколов, работающих по раздроблению ледяных сводов.

Современные ледоколы проектируются с учетом их работы как ледоколов в зимний период и как буксировщиков в период навигации.

Кроме вышеуказанных ледоколов большой мощности, применяются, в качестве вспомогательных, буксиры небольшой мощности с усиленной носовой частью. Они применяются для более легкой работы на трассе или для разрушения льда в портах.

5.23. Разрушение льда посредством взрывных работ

Необходимость применения взрывных работ для разрушения льда на реках и водотоках, прежде всего вызывается требованиями паводковой защиты, а также для спасения сооружений /мостов, гидроэлектростанций и т.д./. На судоходных реках в интересах судоходства, в целях ускорения наступления ледохода, разрушение льда осуществляется ледоколами, а в местах затора - комбинированным способом применение взрывных работ и ледоколов.

Разрушение льда должно начинаться тогда, когда температура приближается к нулю градусов и по метеорологическому прогнозу больше не ожидаются продолжительные похолодания. Так например,

разрушение льда на Одере начинается, когда потепление достигает -4°C и смерзание раздробленных льдин уже исключается.

В большинстве случаев основной целью взрывных работ является устранение причин катастрофических паводков, т.е. разрушение зажоров и заторов, вызывающих местные подпоры, максимально повышающие уровень панодка. Успешного выполнения взрывных работ можно достичь только тогда, когда на реке ниже взрываемого затора уже имеется безледовый участок, по крайней мере, протяженностью в 2 - 3 км, или когда подобный участок можно создать путем раздробления льда ледоколом или другим способом, начиная с нижнего конца ледяного покрова. Свободная ото льда водная поверхность необходима для того, чтобы разрушаемые льдины могли беспрепятственно проходить вниз, не подвергаясь повторному смерзанию.

В исключительных случаях, однако, бывает, что при отсутствии безледового участка реки, необходимого для пропуска льдин, заторы взрываются в интересах только расширения живого сечения реки и для уменьшения опасности местного подпора.

Для производства взрывных работ из-за больших их объемов обычно не имеется достаточно времени и поэтому необходима заблаговременная соответствующая их организация.

Производство взрывных работ

Взрывные работы применяются обычно для разрушения ледяного покрова и устранения заторов и зажоров.

С точки зрения паводковой защиты главную опасность представляют заторы.

Для взрыва ледяного покрова применяются подводные концентрированные заряды или группы зарядов. Заряды опускаются в воду на 1 - 2 м от её поверхности для того, чтобы в максимальной мере использовать давление, возникающее при взрыве. Величина заряда зависит от вида взрывчатого вещества, глубины погружения заряда, прочности льда, а также от цели взрыва /размеров очищаемой зоны/.

Свободно уложенные на ледяной покров или закладываемые в него заряды применяются только для создания полыни.

Заторы и зажоры, т.е. такие уплотненные массы льда, которые в некоторых случаях могут доходить до дна, нужно взрывать зарядами,ложенными на дно.

При организации взрывных работ нужно стремиться к тому, чтобы при взрыве лёд разрушался по возможности на большей площади. В случае толщины льда в 50 см для образования воронки диаметром 10 м необходимо 10 кг взрывчатых веществ тротила при его погружении на 2 м. Исходя из зависимости между величиной заряда и глубиной его погружения в воду, а также воронкой, возникающей при взрыве, расстояние между соседними зарядами нужно принимать в 5 раз больше глубины их погружения.

При взрыве заторов и захоров расстояние между зарядными скважинами принимается в два раза больше их глубины. При взрывных расчетах исходными данными являются нижеследующие:

- для разрушения 1 м² ледяного покрова толщиной в 0,5 м необходимо 7,5 декаграмм тротила или 10 декаграмм взрывчатого вещества низкой эффективности;
- для взрыва затора на разрушение каждого м³ льда требуется 20 декаграмм тротила или 30 декаграмм взрывчатого вещества низкой эффективности.

При взрыве сплошного ледяного покрова целесообразно взрывать заряды или зарядные ряды одновременно, и тогда разрушающая сила взрыва и давление, возникающее при расширении газов, будут использованы наиболее эффективно. Для определения величины зарядов производятся опытные взрывы. Такой метод также рекомендуется при раздроблении заторов и захоров. При разрушении заторов, имеющих форму ледяных масс 4 - 6-метровой толщиной, применяются концентрированные заряды тротила по 25 - 50 кг и больше. Действие взрыва зависит от глубины погружения, от заглушки, от расстояния между соседними зарядами, от степени смерзания льдин, от давления воды и т.д. Более точные данные в этом отношении получаются по результатам экспериментальных опытных взрывов.

5.23I. Взрывные работы по разрушению забережного льда

Забережный лёд является опасным главным образом в круtyх излучинах реки, в местах перекатов, потому, что движущийся лёд при соединении с забережным может вызвать сужение свободного зеркала воды и образование ледяного свода, а также наступление ледостава. Взрывы производятся одновременно сгруппированными и концентрированными зарядами. Забережный лёд одного и другого берега

взрывается по очередности. Разрушение забережного льда начинается с нижнего оледеневшего участка реки. В случае, когда под забережным льдом имеется вода, заряды погружаются на глубину 1 - 2 м. Полыньи для зарядов готовятся, начиная от берега, что дает возможность проверять толщину льда и тем самым соблюдать необходимую безопасность работы. На опасных участках /потрескавшийся лёд/ и там, где толщина льда меньше 5 см, работать можно только с применением досок или брусьев. При толщине льда меньше 10 см заряды весом в 7,5 декаграмм укладываются на его поверхность.

5.232. Взрывные работы при прочном ледяном покрове

Если ледоход остановился и сформировался прочный сплошной ледяной покров, то работы по разрушению льда ведутся следующим образом:

Разрушение льда начинается с нижнего конца ледяного покрова. Разрушение производится по линии потока траншейным способом. Ширина траншеи у малых водотоков составляет 1/3, 1/4 ширины водотока, у более крупных рек - 40 - 50 м. Одновременно с образованием траншеи или после, в местах, опасных с точки зрения ледостава /крутая излучина, перекат, сужение и т.д./ нужно разрушить и забережные опорные базы ледяного покрова. Работы должны проводиться аналогично взрывным работам по разрушению забережного льда. При траншейном способе заряды укладываются параллельными рядами таким образом, чтобы расстояние между зарядами составляло пятикратную, а между рядами - шестикратную величину глубины их погружения.

5.233. Взрыв затора

Взрыв затора является целесообразным тогда, когда ниже его по течению имеется участок, свободный от льда по крайней мере протяженностью в 2 - 3 км. Заряды укладываются в заторе по поперечному направлению взываемой траншеи по 6 - 10 рядов таким образом, чтобы расстояние между ними составило четырехкратную величину глубины погружения. Величина зарядов в каждом отдельном случае определяется опытными взрывами. В случае весьма мощного затора на крупных реках величина заряда может достигать 100 - 250 кг. После взрыва в направлении потока в заторе образуются траншеи шириной 20 - 50 м. Если при взрывных работах ледоход угрожает безопасности моста или льдины у моста могут снова наторошиваться, то в целях обеспечения свободного пути для взорванных льдин необходимо, чтобы ниже моста имелись траншеи,

ширина которых соответствовала бы ширине нескольких пролетов моста. Для того, чтобы предотвратить опасность разрушения конструкции моста под действием вибраций, вызванных взрывами, во льду, окружающем мостовые устои, необходимо проложить траншеи шириной не менее $1/2$ м.

5.234. Взрывные работы по предупреждению образования заторов

В Советском Союзе в 1941 году на Северной Двине в местах ожидаемого образования заторов, в целях предупреждения их образования и для ослабления ледяного покрова, взрывались аммонитные заряды по 25 - 30 кг, расположенные в шахматном порядке.

До вскрытия ледяного покрова за 15 - 20 дней, взрывались полыни через каждые 25 м вниз по течению. Эти полыни и траншеи через несколько дней были расширены более теплой водой, протекающей под ледяным покровом, и в течение 8 - 10 дней образовались продольные траншеи, которые отделяли ледяной покров от берегов и разделяли его на длинные полосы. Под действием весенних солнечных лучей эти траншеи расширились настолько, что лёд даже на неблагоприятных участках реки проходил свободно без образования заторов.

5.235. Защита сооружений

В отдельных случаях приходится защищать от разрушительного действия льда мосты, имеющие небольшие пролеты, а также выступающие с берегов отдельные сооружения. Поэтому плавущие льдины целесообразно раздроблять выше сооружений путем заброски на них зарядов с берега. Давление раздробленных льдин уменьшается, что дает возможность избежать скопление их у сооружений и примерзания к последним. В целях безопасности длина запального шнура у забрасываемых зарядов не должна быть меньше 50 см. Заброску заряда нужно производить на таком расстоянии от сооружения, расположенного ниже по течению, чтобы взрыв произошел до подхода льдины к сооружению.

При вышеизложенных способах взрывных работ наибольшее затруднение представляет подготовка камер /скважин/, служащих для закладки зарядов главным образом при взрывных работах по разрушению мощных ледяных покровов и заторов толщиной в несколько метров. Создание камер для закладки зарядов производится механическим путем или путем ступенчатого взрыва. Создание камер указанными способами или концентрированными зарядами, но главным образом механическим путем, продолжается значительное время, в то время как вследствие образовавшегося затора подпором воды может быть вызван катастрофический паводок. С целью избежания такой опасности необходимо заранее выбрать наиболее подходящий взрывчатый материал, имеющий наибольшую силу отдачи и найти наилучшее решение по разработке технологии и по подготовке щелей и камер для закладки взрывчатых зарядов.

5.24. Бомбардировка льда с воздуха и разрушение его артиллерией

Разрушение льда путем бомбардировки с воздуха и применения артиллерийского обстрела, как это показывают существующие опыты, является мало эффективным. Бомбардировка с воздуха трудно осуществима, так как ее можно применять только при благоприятных условиях визирования, при точном определении бомбардируемых объектов и при эвакуации населения из пунктов, расположенных в непосредственной близости.

Ликвидировать заторы на Дунае путем бомбардировки с воздуха попытались в марте 1940 года, а в 1955/56 гг. совместно с артиллерийским обстрелом пытались ликвидировать заторы у Фильсхофена, Братиславы, Дунаремете, Дунадёльвара и на югославском участке Дуная. Однако результаты были неудовлетворительными.

Ввиду ряда обстоятельств, влияющих на точность прицеливания /направление ветра, ясность погоды/, бомбами могут быть разрушены паводкозащитные дамбы и регуляционные сооружения, находящиеся в непосредственной близости. Бомбардировка судоходного пути в последующем также может отрицательно повлиять на судоходство. В случае применения артиллерии отскочившие от поверхности льда снаряды могут представлять опасность и для населения отдаленных пунктов.

5.25. Использование теплых вод теплоэлектростанций и промышленных предприятий

Некоторые авторы в отношении территорий, прилегающих к бассейну Балтийского моря, предлагают уменьшить и даже совсем исключить вынужденные перерывы в судоходстве, вызванные появлением льда на судоходных путях, а тем более в портах. По их предложению наступление ледостава в речных портах можно значительно замедлить и даже совсем исключить путем сброса в реку теплых вод теплоцентралей промышленных предприятий и т.д., расположенных вблизи от речных портов. В качестве примера можно указать, что расход охлажденной воды в $15 \text{ м}^3/\text{сек}$ /что часто встречается у более крупных промышленных предприятий/, имеющей температуру $+10^\circ\text{C}$, достаточен для расплавления $15.400 \cdot \text{м}^3$ льда при температуре воздуха -4°C .

В Венгрии в суровый зимний период 1962/63 гг. по данным аэроразведки ледового положения Дуная на участке реки, покрытом ледяным покровом, наблюдались отдельные пространства чистой воды /Комаром, Алмашфюзитё, устье Шорокшарского рукава у Таш, Дунауйварош/. Это говорит о том, что стекающие теплые воды промышленных предприятий и воды подземных горячих источников препятствовали образованию сплошного покрова.

Однако изложенные процессы, хотя они и являются благоприятными для ледового режима, не могут оказать значительного влияния на более длинные участки реки, а имеют только местное значение.

5.26. Предотвращение оледенения методом создания воздушных пузырьков

За последние годы для поддержания водных путей в свободном ото льда состоянии шведской компанией был применен способ, испытанный и в других странах, который представляет значительный интерес. Сущность его заключается в создании системы воздушных пузырьков, препятствующих замерзанию. Трубопровод, проложенный по дну русла или несколько выше его, соединен с компрессором, находящимся на берегу реки и нагнетающим воздух. Через мелкие отверстия трубопровода воздух постоянно поступает в виде воздушных пузырьков, вследствие чего более теплая вода со дна поднимается на поверхность и в результате обеспечивается свободный ото льда водный путь или таяние существующего льда. Насколько можно судить,

данный способ хорошо оправдывает себя на водных путях, где имеются паромные переправы, каналы, шлюзы и портовые акватории, где необходимо принимать меры только против образования льда, а не против ледохода.

5.3. Ледокольные работы на шлюзованных участках реки

Борьбу со льдом на шлюзованных реках можно разделить на три основных вида: защита ото льда гидроузла, как сооружения, борьба со льдом в верхнем и, наконец, в нижнем бьефах гидроузла.

Не рассматривая подробно защиту самой плотины ото льда, можно отметить, что в интересах обеспечения нормальной работы плотины необходимо предотвращать образование льда на её поверхности и сооружениях. Рассмотрим возможности и условия борьбы со льдом на подпорном участке и в нижнем бьефе, учитывая практику, приобретенную на гидроэлектростанциях на Дунае в Австрийской Республике и в Федеративной Республике Германии.

В настоящее время на Дунае работают четыре гидроузла. У гидроэлектростанции Йохенштейн, расположенной ниже устья реки Инн /2203,3 км/, уже в первый год ее работы в чрезмерно сюровую зиму 1955/56 гг. пришлось бороться со льдом. Подпор гидроузла при среднем подпорном уровне воды распространяется до Пассау, а при низких уровнях воды граница подпора находится у плотины Кахлет, т.е. выше Пассау на 5 км, причем подпор распространяется даже на небольшие участки рек Инн и Ильц. Шлюзованная река Инн представляет собой некоторую опасность с точки зрения ледовых явлений для Йохенштейнского водохранилища, а объем льда, в первую очередь, зависит от его пропуска через гидроузел Кахлет.

Зимой 1955/56 гг. образование льда в подпорном бьефе Йохенштейн началось 29 января и за несколько дней густота ледохода достигла 20 процентов. 3 февраля уже образовался сплошной ледяной покров на половине бьефа, на расстоянии 13 км от сооружения у Эрлау образовался значительный затор, развитию которого способствовала двойная излучина. 13 февраля ледяной покров достиг Пассау, затем развелся до нижнего бьефа гидроузла Кахлет. Вследствие торожения ледяного покрова у Пассау, уровень воды повысился на 2 м.

Два имеющихся ледокола мощностью по 400 л.с. проложили траншею шириной 50 - 100 м и 7 февраля достигли указанного ледяного

покрова. Движущиеся льдины размельчались вспомогательным ледо-колом и затем, пропускались через открытую часть плотины гидроузла Йохенштайн. Когда ледоколы приступили к разрушению затороженного ледяного покрова, протяженностью около 2 км, позади них льдины вновь смерзлись, так как в это время температура воздуха снова понизилась до -29°C . Только через 9 дней ледоколам удалось пройти вниз по течению. После этого снова, начиная от плотины, они про-ложили 13-километровую траншею и успешно прошли через затороженный лёд. Ледоколы создали траншею шириной в 30 - 50 м на всей протя-женности бьефа, в результате чего у Пассау уровень воды снизился на 0,5 м. Вследствие внезапного понижения уровня воды вблизи Пас-сау, огромные забережные льдины оторвались от берега и закрыли вновь проложенную траншею. Лёд исчез из бьефа 3 марта под влия-нием паводков, образовавшихся от талых вод.

Необходимо отметить, что и в верхнем бьефе гидроузла Кахлеть действовали 3 ледокола, но ввиду суровой зимы на этом участке снова образовался ледяной покров. Паводками, вызванными ледовыми явлениями, дважды была затоплена часть города Фильсхофена, распо-ложенного вблизи границы подпора.

Зимой 1956/57 гг. первый морозный период наступил 18 декабря 1956 года и продолжался в течение 18 дней. Сумма отрицательных температур достигла -96°C против суммы -382°C за 32 дня зимой 1955/56 гг. С помощью ледоколов обеспечивалось судоходство на участке между Кахлеть - Линц. Второй морозный период наступил 11 января 1957 года. Ледоход начался 16 января, когда сумма отрица-тельных температур преышала -40°C . Спустя три дня после начала ледохода густота достигала 50% выше Пассау и 20% на участке выше Йохенштайн. В этом случае были сделаны попытки пропустить лёд с помощью ледоколов при разных способах открытия подвижной плотины гидроузла. Ледостав всё-таки наступил на непродолжительное время и его верхняя граница находилась на расстоянии 13 км /2218 км/ выше гидроэлектростанции.

В январе 1957 года сделали попытку максимального пропуска льда при минимальных потерях в расходе воды на гидроэлектростанции с тем, чтобы не уменьшать выработку электроэнергии. Для подобного пропуска льда требуется значительное понижение подпорного уровня в верхнем бьефе. При этом, одно из 6 отверстий, имеющее ширину

24 м, было открыто полностью. При такой концентрации расхода воды /около 1600 м³/сек/ на плотине возникает большой спад и поверхностные скорости, под действием которых, как предполагалось, будет сброшена значительная часть ледяных масс. Перед пропуском льда, с целью разрыхления льдин, уровень подпора был повышен примерно на 20 см. Отверстие было открыто приблизительно в течение часа. Под сильным действием спада льдины проходили через отверстие со скоростью 8 м/сек, при этом льдины раздроблялись на мелкие куски. Движение быстро распространялось вверх и через 1/4 часа на расстоянии более 5 км от плотины ледяной покров по всей ширине реки двинулся вниз со скоростью 1 м²/сек. По расчетам для пропуска 1 м² льда потребовалось 7,5 м³ воды, т.е. одна десятая часть того объема воды, который требовался до сих пор при пропуске льда над погруженными щитами подвижной плотины. С другой стороны эта операция нанесла ущерб судоходству, резкое повышение уровней ниже гидроузла повредило несколько барж, находящихся на стоянке.

После прекращения судоходства вследствие опасности, вызываемой наличием льда, в общих интересах не следует разрушать ледяной покров в водохранилище, с тем, чтобы ограничить образование льда и избежать ледостава на реке. Что касается интересов получения электроэнергии, а также интересов нижележащих прибрежных стран, следует пропускать лёд в начале замерзания только в случае особой необходимости /т.е. в начале паводка/. Иногда достаточно помочь ледоколам проложить траншею шириной 20 - 30 м и поддерживать ее. Кроме этого, целесообразно и даже необходимо, чтобы перед караванами судов шли ледоколы. Этот метод дал положительные результаты в период последнего ледостава в водохранилище плотины Ашах.

На основании вышеприведенного можно сделать следующие выводы и заключения:

В зимы, когда погода стоит теплая и температуры несколько выше средних многолетних как на нешлюзованных, так и на шлюзованных участках реки можно предотвратить наступление ледостава при помощи соответствующего количества основных и вспомогательных ледоколов. Только при таком состоянии погоды разрешается разрушение льда ледоколами в верхнем бьефе и пропуск его через плотину

путем поднятия или опускания щитов. Если на нижележащем участке образовался затор, то борьбу со льдом на вышележащих участках нужно прекратить до уничтожения затора.

Если погода снова становится более суровой и метеорологией даётся прогноз на более продолжительное похолодание, то ледокольные работы нужно прекратить, потому что наступление ледостава неизбежно /зима 1955/56 гг/, а вмешательство ледоколов только способствует образованию заторошенных ледяных покровов и опасных заторов.

Вообще нужно считаться с тем обстоятельством, что при первичном и при вторичном ледоходах образуется заторошеннй ледяной покров вблизи границы подпора.

Ледоколы разрешается применять группами. При разрушении заторов нужно применять по крайней мере 3 передовых /основных/ ледокола, из которых 2 работают, а третий стоит в готовности для оказания помощи при необходимости, а также соответствующее количество линейных ледоколов для разрушения льда и для обеспечения его непрерывного пропуска.

Особые затруднения и опасности вызываются вторичным ледоходом в конце зимы. Сформировавшийся в период суровых и продолжительных зим ледяной покров необходимо разрушить и пропустить перед появлением вторичного ледохода в конце зимы, начиная работы с самого нижнего бьефа по направлению вверх. При этом существенным требованием является то, чтобы в нижележащем бьефе или на участке реки, находящимся в естественном состоянии, раздробленный лёд мог проходить беспрепятственно. Как показала практика, начинать работы надо в то время, когда средняя суточная температура достигла -4°C и метеорологией дается прогноз на дальнейшее потепление. Исключением из этих правил являются чрезвычайные положения, когда речь идет об избежании угрожающей катастрофы.

Наконец, с точки зрения избежания опасности от паводков, когда ледяной покров в подпорном бьефе разрушить невозможно по какой-либо причине, лёд необходимо задерживать в верхнем бьефе способом, применяемым у гидроузлов на реке Инн, до тех пор, пока это не представит опасности наводнения на нижележащих участках.

О Г Л А В Л Е Н И Е

	Стр.
I. ОБРАЗОВАНИЕ ЛЬДА И ЛЕДОВЫЕ ЯВЛЕНИЯ НА РЕКАХ	2
I.I. Образование льда	2
I.2. Ледовые явления на реках	3
2. ИМЕЮЩИЕСЯ ДАННЫЕ И МЕТОД ИХ ОБРАБОТКИ	5
2.I. Имеющиеся данные	5
2.II. Морфологические данные	5
2.I2. Данные о характеристиках ледового режима ..	5
2.I3. Данные о температурах воздуха и воды ..	5
2.I4. Уровни воды	6
2.2. Метод статистической обработки данных	6
2.21. Обработка данных о ледовом режиме	6
2.22. Обработка данных о температурах воздуха и воды	9
2.23. Обработка данных об уровнях воды	10
3. ХАРАКТЕРИСТИКА ЛЕДОВОГО РЕЖИМА РЕКИ ДУНАЯ	II
3.II. Годовая вероятность появления льда и ледостава	II
3.I2. Характерные даты ледовых явлений	I2
3.I3. Характерные продолжительности ледовых явлений	I3
3.I31. Характерные продолжительности периода со льдом	I3
3.I32. Характерные продолжительности ледо- става	I4
3.I4. Показатель ледостава.....	I4
3.I5. Суммы положительных и отрицательных темпе- ратур, предшествующие в среднем ледовым явле- ниям.....	I5
3.I6. Характерные уровни воды	I5
3.I7. Виды ледяного покрова на Дунае	I7
3.I8. Толщина ледяного покрова	I7
3.I9. Скорость образования ледяного покрова	I8
3.2. Ледовый режим отдельных участков Дуная	I9
3.21. Участок Регенсбург - плотина гидроузла Кахлет /2379 - 2230,5 км/	20
3.22. Участок между гидроузлом Кахлет и Пёхларн /2230,5 - 2043 км/	23
3.23. Участок Пёхларн - узкость Сиколовац /2043 - I039 км/	25
3.231. Участок Пёхларн - устье р.Дравы /2043 - I383 км/	25
3.232. Участок от устья р.Дравы до Илок /I383 - I298 км/	32
3.233. Участок Илок - узкость Сиколовац /I298 - I039 км/	34

3.24. Участок узкость Сиколовац - Турну-Северин /1039 - 931 км/	36
3.25. Участок Турну-Северин - Сулина /931 - 0 км/	37
3.3. Выводы	41
4. ВЛИЯНИЕ ГИДРОЭЛЕКТРОСТАНЦИЙ НА ЛЕДОВЫЙ РЕЖИМ РЕКИ	43
4.1. Участок выше гидроузла	46
4.2. Участок ниже гидроузла	48
4.3. Строительство каскада гидроузлов на Дунае и их влияние на ледовый режим реки	49
4.31. Участок Регенсбург - Кахлет /2379 - 2230,5 км/	50
4.32. Участок Кахлет - Файс /2230,5 - 1510 км/	50
4.33. Участок ниже плотины Файс	51
4.4. Выводы	52
5. МЕТОДЫ БОРЬБЫ СО ЛЬДОМ	54
5.1. Предупредительные мероприятия	54
5.11. Регулирование реки	54
5.12. О габаритах мостов и других сооружений	55
5.13. Содержание русла	55
5.2. Оперативная борьба со льдом	56
5.21. Служба наблюдения за льдом и обеспечение связи.....	57
5.22. Ледоколы	57
5.221. Предупреждение или замедление наступления ледостава	57
5.222. Дробление ледяного покрова во время его формирования	58
5.223. Разрыхление льда в конце зимы, т.е. создание вторичного ледохода	58
5.224. Характеристика ледоколов	59
5.23. Разрушение льда посредством взрывных работ..	59
5.231. Взрывные работы по разрушению забережного льда	61
5.232. Взрывные работы при прочном ледяном покрове	62
5.233. Взрыв затора.....	62
5.234. Взрывные работы по предупреждению образования заторов	63
5.235. Защита сооружений	63
5.24. Бомбординвка льда с воздуха и разрушение его артиллерией	64
5.25. Использование теплых вод, теплоэлектростанций и промышленных предприятий	65
5.26. Предотвращение оледенения методом создания воздушных пузырьков	65
5.3. Ледокольные работы на шлюзованных участках реки	66

ПРИЛОЖЕНИЕ I - ТАБЛИЦЫ

- Таблица I. Характеристики ледового режима р.Дуная
- Таблица П. Характерные зимние температуры воздуха по реке Дунай за период 1940/41 - 1959/60 гг.
- Таблица Ш. Характерные зимние температуры воды р.Дунай
- Таблица ІУ. Повторяемость ледовых явлений у г.Будапешт /1900 - 1960 гг./.
- Таблица У. Суммы положительных и отрицательных температур, предшествующие появлению льда, наступлению ледостава и вскрытию реки
- Таблица VI. Крайние уровни воды, наблюденные при наличии и отсутствии льда за период 1900/01 - 1959/60 гг./.
- Таблица УП. Ледовый режим на участке Дуная Базиаш - Турну-Северин /1072 - 931 км/.
- Таблица III. Ледовый режим на участке реки Дунай выше плотины Кахлет по данным за период 1948/49 - 1962/63 гг.

ПРИЛОЖЕНИЕ II - СХЕМЫ И ГРАФИКИ

I. Схематический план реки Дунай

- 2-а - 2-g Водомерные посты: Швабельвейс, Вена - Нусдорф, Братислава, Будапешт, Нови-Сед, Джурджу, Браила.
3. Средние зимние и январские температуры воздуха /1941 - 1960 гг./.
4. Средние зимние и январские температуры воды.
5. Характеристики ледового режима реки Дунай.
- 6-а - 6-g. Повторяемость ледовых явлений и их вероятность по водомерным постам: Швабельвейс, Вена - Нусдорф, Братислава, Будапешт, Нови-Сад, Джурджу и Браила.
7. Даты наступления ледовых явлений с различными вероятностями /в процентах/.
8. Повторяемость с различной вероятностью /в процентах/ наличия льда и ледостава.
9. Ледовый режим реки Дунай зимой 1908/1909 гг.
- 10-а - 10-ю. Ледовый режим реки Дунай по характерным зимам.
- II. Средняя температура воды подо льдом в водохранилище.
12. Ледовые явления на участке ФРГ зимой 1955 - 1956 гг.
13. Ледовый режим в верхнем бьефе гидроузла Кахлет зимой 1928/29 гг.
14. Прогнозируемые изменения характеристик ледового режима после сооружения гидроузлов на Дунае.

**ХАРАКТЕРИСТИКИ ЛЕДОВОГО РЕЖИМА РЕКИ ДУНАЙ
CARACTÉRISTIQUES DU RÉGIME DES GLACES DU DANUBE**

ТАБЛИЦА I.
TABLEAU I.

Station hydrométrique	Бодомерный пост	Дата		Продолжительность (в днях)		Годовая вероятность (%)	
		появления льда de l'apparition des glaces		открытия ледяного покрова de la rupture de la couche de glace		оочищения реки от льда de la disparition des glaces	
		самая ранняя	самая поздняя	самая ранняя	самая поздняя	самая ранняя	самая поздняя
1. Швабельвайс	Schwellenweis	2576,2	28.II.1915	9.II.1919	16.III.1933	29.III.1933	13.III.1929
2. Штрабинг	Straubing	2321,3	50	19.II.1902	21.II.1948	20.III.1938	16.III.1929
3. Дегендорф	Deggendorf	2284,6	60	19.II.1902	21.II.1944	10.II.1956	17.I.1959
4. Нидеральтекс	Niederalteich	2276,2	57	4.III.1933	25.II.1944	10.II.1956	18.III.1925
5. Хофкирхен	Hofkirchen	2256,9	35	4.III.1933	9.II.1953	20.III.1935	8.III.1929
6. Фильсбахен	Filshofen	2248,9	60	19.II.1902	9.II.1953	5.II.1956	2.I.1949
7. Пассау	Passau	2225,2	60	18.II.1927	8.II.1919	15.II.1956	11.II.1917
8. Зандахарт-Шиль	Zandhart-Schill	2200,7	56	20.II.1920	12.II.1930	2.III.1956	15.II.1956
9. Ашбах	Aschach	2162,3	60	19.II.1902	12.II.1936	-	-
10. Цинц	Cinzen	2135,2	60	20.II.1902	12.II.1936	-	-
11. Маутхаузен	Mauthausen	2111,3	60	27.II.1920	12.II.1936	-	-
12. Вальзе	Walze	2093,5	57	27.II.1920	12.II.1936	-	-
13. Ибс	Ibs	2058,6	60	20.II.1902	12.II.1936	-	-
14. Некк	Nekk	2036,0	60	20.II.1902	12.II.1936	5.III.1929	8.III.1929
15. Пили	Pilis	2018,9	56	20.II.1902	12.II.1936	21.II.1929	5.III.1929
16. Штайн	Stein	2003,5	60	20.II.1902	12.II.1936	14.II.1929	12.III.1929
17. Центендорф	Zentendorf	1975,0	56	20.II.1902	13.II.1936	21.I.1901	10.III.1929
18. Гуль	Gull	1963,3	60	20.II.1902	13.II.1936	20.I.1901	12.II.1929
19. Грайфенштайн	Greifenstein	1949,1	60	20.II.1902	13.II.1936	18.I.1901	11.II.1929
20. Кухедай	Kuchedai	1937,5	56	20.II.1902	13.II.1936	16.I.1901	10.II.1929
21. Вена-Рейхсбрюке	Wien-Reichsbrücke	1929,1	60	20.II.1902	13.II.1936	10.I.1901	11.II.1929
22. Фишаменц	Fischamend	1907,9	60	20.II.1902	13.II.1936	17.III.1902	8.II.1954
23. Вильдунгзасер	Wildungzaser	1894,7	56	20.II.1902	13.II.1936	15.III.1902	21.II.1956
24. Хайнбург	Heinburg	1883,9	60	20.II.1902	13.II.1936	16.III.1902	19.II.1956
25. Братислава	Bratislava	1868,8	60	17.II.1908	12.II.1930	14.III.1902	18.II.1956
26. Русовце	Rusovce	1855,9	60	20.II.1902	12.II.1936	14.III.1902	16.II.1956
27. Доброгошть	Dobrohost	1841,5	60	17.II.1908	25.II.1948	15.III.1902	17.II.1956
28. Дунаремете	Dunaremete	1825,5	60	21.II.1903	13.II.1930	13.III.1902	15.II.1956
29. Палковичово	Palkovice	1810,0	60	18.II.1908	25.II.1948	16.III.1902	14.II.1956
30. Генад	Gönyi	1791,3	60	18.II.1908	13.II.1959	16.III.1902	15.III.1944
31. Комарно	Komarno	1767,1	60	18.II.1908	13.II.1959	14.III.1902	15.III.1944
32. Дунайльчаш	Dunajec	1721,8	60	16.II.1908	12.II.1959	14.III.1902	15.III.1944
33. Эстергом	Estergom	1718,5	60	16.II.1908	12.II.1936	16.III.1902	18.II.1956
34. Надьмарош	Nagymaros	1694,6	59	17.II.1908	24.II.1944	15.III.1902	16.III.1944
35. Вац	Vác	1679,5	59	16.II.1908	23.II.1944	15.III.1902	16.II.1922
36. Будапешт	Budapest	1646,5	60	17.II.1908	24.II.1944	14.III.1902	20.II.1922
37. Эрци	Ercsi	1613,2	59	16.II.1908	24.II.1944	11.III.1908	16.III.1944

ХАРАКТЕРИСТИКИ ЛЕДОВОГО РЕЖИМА РЕКИ ДУНАЙ CARACTÉRISTIQUES DU RÉGIME DES GLACES DU DANUBE

Station hydrométrique	Водомерный пост	Дата появления льда de l'apparition des Glaces	Продолжительность (в дниах)				Длительность (en Jours)				Головая вероятность (в %) Probabilité annuelle (en %)	
			Надичия льда de la présence du fleuve		ледостава de la prise du fleuve		надичия льда de la présence des Glaces		ледостава de la prise du fleuve			
			самая ранняя	самая поздняя	самая ранняя	самая поздняя	самая ранняя	самая поздняя	максимальная наибольшая	средняя наименьшая		
38.	Анонь	Adony	1597,8	59	16.II.1908	24.II.1944	16.III.1903	13.II.1922	26.III.1925	19.III.1929	30.II.1920	
39.	Дунауйварош	Dunaújváros	1580,6	60	16.II.1908	7.II.1919	14.III.1926	11.II.1922	28.III.1925	21.III.1929	30.II.1920	
40.	Дунайфольвар	Dunaörföldvár	1560,6	59	17.II.1908	7.II.1919	13.III.1926	10.II.1922	30.III.1925	21.III.1929	30.II.1920	
41.	Пакш	Paks	1551,3	59	15.II.1908	9.II.1953	10.III.1925	19.II.1932	29.III.1925	20.III.1929	1.III.1920	
42.	Домбори	Dombori	1506,7	59	17.II.1908	23.II.1944	10.III.1925	15.II.1932	27.III.1925	22.III.1929	3.III.1915	
43.	Бэйя	Baja	1479,4	60	17.II.1908	25.II.1944	10.III.1902	18.II.1932	28.III.1925	19.III.1929	4.III.1940	
44.	Молач	Mohacs	1446,8	59	16.II.1908	12.II.1931	9.III.1926	16.II.1932	29.III.1925	20.III.1929	5.III.1915	
45.	Бездан	Besdan	1425,5	54	17.II.1908	26.II.1944	8.III.1925	15.II.1932	27.III.1925	20.III.1940	5.III.1915	
46.	Апатин	Apatin	1401,4	51	19.II.1908	17.II.1931	8.III.1925	14.II.1932	27.III.1925	19.III.1902	34,6	
47.	Богоево	Bogojovo	1367,3	57	21.II.1908	10.II.1931	16.III.1902	13.II.1917	21.III.1925	16.III.1940	5.III.1915	
48.	Буковар	Yukovar	1333,1	35	27.II.1908	7.II.1952	16.III.1902	15.II.1905	28.III.1902	15.III.1929	4.III.1915	
49.	Ишок	Ilok	1298,7	36	28.II.1908	7.II.1952	12.II.1902	12.II.1914	28.III.1925	16.III.1940	5.III.1915	
50.	Нови-Сад	Novi Sad	1255,1	57	29.II.1902	6.II.1932	22.III.1927	13.II.1922	27.III.1927	15.III.1929	4.III.1915	
51.	Земун	Zemun	1172,9	49	1.III.1915	2.II.1915	15.II.1915	2.II.1915	28.III.1902	21.III.1929	7.III.1915	
52.	Пачево	Pančevo	1154,0	28	30.II.1915	7.II.1956	26.III.1953	16.II.1956	25.I.I.1960	18.III.1929	4.III.1915	
53.	Смедерево	Smederevo	1116,2	35	1.III.1942	9.II.1956	9.I.1946	11.II.1956	25.I.1943	19.III.1929	14.I.1939	
54.	Базиц	Rasina	1072,5	56	29.II.1915	27.I.1917	16.III.1902	16.III.1932	28.III.1902	18.III.1929	30.II.1915	
55.	Монцова-Береке	Moldova Veche	1048,0	32	7.III.1902	4.II.1915	16.III.1902	13.II.1911	28.XII.1902	15.III.1909	14.I.1904	
56.	Дренкова	Drenkova	1016,0	60	7.III.1902	8.II.1919	16.III.1902	22.II.1929	28.XII.1902	7.III.1929	26.XII.1926	
57.	Оршова	Oršova	955,0	60	7.III.1925	23.II.1927	16.III.1902	1.I.II.1907	7.I.1903	27.II.1901	19.I.1904	
58.	Турну-Северин	Turzii Severin	931,0	59	7.III.1925	24.II.1927	21.II.1929	27.II.1924	13.III.1929	27.I.1926	13.III.1929	
59.	Гряз	Gruia	851,0	21	16.III.1948	4.II.1956	10.I.1947	13.II.1929	18.III.1947	13.I.1949	4.II.1957	
60.	Четате	Cetatea	811,2	35	13.III.1933	5.II.1956	7.I.1949	8.II.1929	10.I.1949	15.III.1929	6.I.1928	
61.	Калфат	Calafat	795,0	37	15.III.1933	5.II.1956	5.I.1954	6.II.1929	11.II.1949	17.III.1933	14.I.1939	
62.	Бекет	Bechet	679,0	35	12.III.1920	5.II.1956	1.I.1949	4.II.1929	18.III.1949	14.I.1939	27.III.1932	
63.	Корабия	Corabia	629,5	38	13.III.1921	5.III.1956	5.III.1948	3.III.1932	3.III.1943	14.I.1939	25.III.1929	
64.	Турун-Магуреле	Turun Magurele	597,0	38	10.III.1945	5.II.1956	30.III.1948	1.III.1932	14.I.1938	17.III.1938	14.I.1939	
65.	Эчиничча	Zimnicea	553,6	37	10.III.1945	23.III.1948	23.III.1948	23.II.1927	21.III.1932	14.I.1932	24.III.1939	
66.	Джуруку	Giurgiu	493,5	58	10.III.1945	22.II.1927	26.III.1948	20.II.1932	15.III.1951	11.I.1928	28.III.1932	
67.	Оленица	Olenita	429,8	38	10.III.1945	22.II.1927	24.III.1948	29.II.1956	21.I.1949	22.III.1939	10.I.1939	
68.	Кылараш	Chișărăși	370,5	38	10.III.1945	22.II.1927	21.III.1952	11.II.1932	15.I.1939	27.III.1932	10.I.1939	
69.	Чернаводя	Cernavoda	300,0	38	10.III.1945	22.II.1927	15.III.1952	15.III.1945	20.I.1939	20.III.1920	19.I.1932	
70.	Хыровэя	Hîrsova	252,3	38	11.III.1945	22.II.1927	13.III.1945	15.III.1932	21.I.1939	30.III.1932	19.I.1946	
71.	Брамла	Brăila	169,7	54	7.III.1902	23.II.1927	9.III.1902	12.II.1932	5.I.1906	27.III.1932	19.I.1932	
72.	Галац	Galați	150,0	58	12.III.1945	23.II.1927	13.III.1945	21.II.1932	29.III.1920	29.III.1932	10.I.1932	
73.	Тульча	Tulcea	71,3	37	8.III.1902	21.II.1927	8.III.1902	22.II.1927	21.XII.1920	29.XII.1929	9.I.1934	

ТАБЛИЦА II
TABLEAU

ХАРАКТЕРНЫЕ ЗИМНИЕ ТЕМПЕРАТУРЫ ВОЗДУХА ПО РЕКЕ ДУНАЮ
ЗА ПЕРИОД 1940/41 - 1959/60 гг.

TEMPERATURES D'AIR HIVERNALES CARACTERISTIQUES SUR LE DANUBE
AU COURS DE LA PERIODE 1940/1941 - 1959/1960

Водомерный пост Station hydrométrique	Расстояние от Сулины (км) Distance de Sulina (km)	Средняя температура в °C Température moyenne en °C		Примечание Remarque
		зимняя (I/XII-28/II) hivernale (1.12-28.2)	январская en janvier	
I. Швабельвейс Schwabelweis	2 376,2	-1,6	-2,8	
2. Пассау Passau	2 225,2	-1,6	-2,7	
3. Линц Linz	2 135,2	-0,9	-2,2	
4. Вена Wien	1 929,1	+0,1	-1,4	
5. Братислава Bratislava	1 868,8	+0,4	-1,6	
6. Будапешт Budapest	1 646,5	+0,4	-1,0	
7. Мохач Mohács	1 446,8	+0,3	-1,0	
8. Белград Beograd	1 170,0	+1,4	-0,1	
9. Оршова Orșova	955,0	+0,5	-1,0	
IO. Турну-Северин Turnu Severin	931,0	+0,2	-1,5	
II. Калафат Całafat	795,0	+0,1	-2,2	
I2. Джурджу Giurgiu	493,5	-0,9	-2,4	
I3. Чернавода Cernavoda	300,0	0,0	-1,7	
I4. Браила Brăila	169,7	-0,8	-2,4	
I5. Галац Galați	150,0	-1,7	-2,9	
I6. Тульча Tulcea	71,3	+0,1	-2,3	
I7. Сулина Sulina	0,0	+0,4	-0,7	

ТАБЛИЦА III
TABLEAU III

ХАРАКТЕРНЫЕ ЗИМНИЕ ТЕМПЕРАТУРЫ ВОДЫ РЕКИ ДУНАЙ
TEMPERATURES D'EAU HIVERNALES CARACTÉRISTIQUES
SUR LE DANUBE

Водомерный пост	Расстояние от Сулины (km)	Река	Период наблюдения	Средняя температура воды в °C			Примечание Remarque
				Distance de Sulina (km)	Station hydrométrique	Température moyenne de l'eau en °C	
I. 2	3	Дунай	декабрь	6	январь	8	IX.
II. 2	4	Danube	декабрь	5	январь	7	X.
III. 2	376,2	Дунай	1930-1962	3,2	2,0	2,5	2,6
IV. 2	256,7	"	1956-1962	2,9	1,7	2,2	2,3
V. 2	230,5	"	1939-1961	2,9	1,6	2,1	2,2
VI. 2	225,3	Инн Inn	1956-1962	2,6	1,6	2,1	2,1
VII. 2	200,7	Дунай Danube	1956-1962	2,9	1,6	2,0	2,2
VIII. 2	161,3	"	1901-1940	2,6	1,9	2,3	2,3
IX. 2	135,2	"	1901-1949 1956-1962	2,4	1,4	1,9	1,9
X. 2	058,8	"	1901-1948	3,1	1,8	2,1	2,3
XI. 2	003,5	"	1901-1939 1956-1962	3,7	1,7	2,3	2,2
XII. Stein-Krems							

			2	3	4	5	6	7	8	9	10
I.	Вена-Рейхсбрюкке WIEN-Reichsbrücke	I	929,Г								
II.	Хайнбург Hainburg	I	883,9	"	1901-1962	2,9	I,6	2,0		2,2	
III.	Братислава Bratislava	I	868,3	"	1901-1948	2,9	I,7	I,9		2,2	
IV.	Комаром Komáron	I	768,2	"	1926-1963	2,8	I,3	I,8		2,0	
V.	Эстергом Esztergom	I	718,5	"	1946-1960	3,0	I,6	2,0		2,2	
VI.	Будапешт Budapest	I	646,5	"	1946-1960	3,1	I,3	I,7		2,1	
VII.	Дунауйварош Dunaujváros	I	580,6	"	1946-1960	3,4	I,4	I,7		2,2	
VIII.	Пакш Paks	I	531,3	"	1946-1960	3,1	I,4	I,4		I,9	
IX.	Байя Baia	I	479,5	"	1946-1960	2,9	I,3	I,7		2,0	
X.	Мохач Mohács	I	446,8	"	1946-1960	3,2	I,5	I,9		2,2	
XI.	Бездан Bezdan	I	425,5	"	1946-1960	2,8	I,0	I,4		I,7	
XII.	Апатин Apatin	I	401,4	"	1946-1960	3,0	I,1	I,4		I,8	
XIII.	Осек Osijek	(I	382,5)		1946-1960	3,5	I,9			2,3	
XIV.	Богојево Bogojevo	I	367,3		1946-1960	3,1	I,2	I,4		I,9	

I	2	3	4	5	6	7	8	9
I	24.	Вуковар Vukovar	I 333, I	Дунай Danube	1946-1960	3,0	I, 6	I, 8
25.	Нови-Сад Novi Sad	I 255, I	"	1946-1960	3,5	I, 8	I, 9	2,7
26.	Зента Zenta	(I 214, 5)	Тисса Tisza	1946-1960	3, I	I, I	I, 0	I, 7
27.	Земун Zemun	I 173, 0	Дунай Danube	1946-1960	3, 0	I, 5	I, 7	2, I
28.	Завац Zavac	(I 171, 0)	Сава Sava	1946-1960	4, 9	3, 0	3, 3	3, 7
29.	Смедерево Smederevo	I 116, 2	Дунай Danube	1946-1960	4, 4	2, 5	2, 6	3, 2
30.	Любичевски-Мост Ljubičevski Most	(I 103, 0)	В. Морава V. Morača	1946-1960	5, 0	2, 9	3, 7	3, 9
31.	Велико-Градиште V. Gradište	I 059, 4	Дунай Danube	1946-1960	3, 8	2, 2	I, 8	2, 6
32.	Дони-Милановац Donji Milanovac	992, 5	"	1946-1960	4, 0	I, 6	I, 8	2, 5
33.	Оршова. Oršova	955, 0	"	1954-1962	3, 8	2, 0	I, 7	2, 5
34.	Калафат Calafat	795, 0	"	1954-1962	3, 8	2, 0	I, 7	2, 5
35.	Джурджу Giurgiu	493, 5	"	1937-1962	3, 3	I, 4	I, 7	2, I
36.	Силистра Silistra	375, 5	"	1954-1962	3, 8	2, 0	I, 9	2, 6
37.	Браила Brăila	170, 0	"	1954-1962	3, 8	I, 9	I, 8	2, 5
38.	Тулча Tulcea	71, 3	"	1954-1962	4, 0	2, I	I, 6	2, 5

ПОВТОРЯЕМОСТЬ ЛЕДОВЫХ ЯВЛЕНИЙ У ГОРОДА БУДАПЕШТА /1900/1901 - 1959/1960 гг./
FREQUENCE DES PHENOMENES DE GLACES DANS LA SECTION DE BUDAPEST (1900/1901 - 1959/1960)

Таблица IV
Tableau IV

Период Période	Первое появление льда Première apparition des glaces	Окончательное очищение реки Disparition définitive des glaces		Период наличия льда	Первое наступление ледостава Première prise du fleuve	Наличие ледостава Prise du fleuve	
		Количество случаев Nombre de cas	Повторя- емость всех случаев в %			Количество случаев Nombre de cas	Повторя- емость всех случаев в %
Месяц Mois	Дни Jours	по пентадам	всего до конца пентады au total de toutes cas en % jusqu'à la fin de la pentade	по пентадам	всего до конца пентады au total de toutes cas en % jusqu'à la fin de la pentade	по пентадам	всего до конца пентады au total de toutes cas en % jusqu'à la fin de la pentade
XI	I-5 6-10 II-15 16-20 21-25 26-30	2 2 2 2 2 2	3,4 3,4 6,7 7 8 4	I II I I II I	I I I I I I	I II I I I I	I II I I I I
XII	I-5 6-10 II-15 16-20 21-25 26-30	3 3 9 23,4 20 27	11,7 13,4 15,0 23,4 33,3 45,0	I I I I I I	I I I I I I	I I I I I I	I I I I I I
I	31-4 5-9 10-14 15-19 20-24 25-29	8 2 7 4 2 1	58,3 61,7 73,4 80,0 83,3 85,0	- - - 3 6 7	3 3 3 10,0 11,7 11	5,0 5,0 5,0 10,0 11,7 18,4	106 113 125 146 147 152
II	30-3 4-8 9-13 14-18 19-23 24-28	3 1 1 4 4 1	54 55 55 55 55 56	90,0 91,7 91,7 91,7 91,7 93,4	3 5 7 10 40 44	14 19 26 36 40 44	156 146 130 60,0 147 78
III	I-5 6-10 II-15 16-20 21-25 26-30	1 6 1 1 2 2	45 51 52 54 56	52,0 48,7 47,7 60,0 49,0 93,4	2 1 1 1 20 6	20 21 23 23 20 18	3 3 3 3 40,0 4

ТАБЛИЦА
TABLEAU V

СУММЫ ПОЛОЖИТЕЛЬНЫХ И ОТРИЦАТЕЛЬНЫХ ТЕМПЕРАТУР, ПРЕДШЕСТВУЮЩИЕ
ПОЯВЛЕНИЮ ЛЬДА, НАСТУПЛЕНИЮ ЛЕДОСТАВА И ВСКРЫТИЮ РЕКИ
SOMMES DES TEMPERATURES POSITIVES ET NEGATIVES PRECEDANT
L'APPARITION DES GLACES, LA PRISE DU FLEUVE ET LA RUPTURE
DE LA COUCHE DE GLACE

Водомерный пост	Station hydrométrique	Расстояние от Сулины (км)	Distance de Sulina (km)	Сумма отрицательных температур в °C	Сумма положительных температур в °C	Примечание
				Somme des températures négatives en °C	Somme des températures positives en °C	
I.	Швабельвейс Schwabelweis	2 376,2	-23,9	-179,0	+4,6	По данным в/ Швабельвейс
2.	Штраубинг Straubing	2 321,3	-24,5	-116,5	+6,5	D'après les données de la st. h.
3.	Деггендорф Deggendorf	2 284,6	-29,3	-85,2	+10,1	Schabelweis
4.	Нидеральтейх Niederalteich	2 276,2	-30,0	-180,0	+6,8	
5.	Хофкирхен Hofkirchen	2 256,9	-28,2	-96,8	+4,4	По данным в/п Пассау
6.	Фильсхофен Vilshofen	2 249,1	-29,1	-71,6	+4,2	D'après les données de la st. h.
7.	Пассау Passau	2 225,2	-31,3	-217,7	+1,7	Passau
8.	Энгельхартсцелль Engelhartszell	2 200,7	-22,0 (-37,8)	-	-	
9.	Ашах Aschach	2 161,3	-24,5 (-36,3)	-	-	
10.	Линц Linz	2 135,2	-24,0 (-30,9)	-	-	

I.	2	3	4	5	6	7
II.	Маутхаузен Mauthausen	2 III,8	-26,6 (-29,4)	-	-	По данным в/п Линц
I2.	Грейн-Вальзе Grein-Wallsee	2 099,0	-25,3 (-30,6)	-	-	D'après les données de la st. h. Linz
I3.	Ибс. Ybbs	2 058,8	-25,6 (-27,5)	-	-	
I4.	Штейн Stein	2 003,5	-28,2	-343,9	+I4,I	
I5.	Вена-Рейхсбрюкке Wien-Reichsbrücke	I 929,I	-27,7	-201,4	+I4,9	
I6.	Хайнбург Hainburg	I 883,9	-30,I	-168,4	+I5,5	
I7.	Братислава Bratislava	I 868,8	-25,8	-164,5	+II,6	
I8.	Русовце Rusovce	I 855,9	-30,I	-152,6	+II,5	По данным в/ Мадьяровар
I9.	Доброгошть Dobrohošť	I 841,5	-27,3	-125,0	+I5,5	
I20.	Дунаремете Dunaremete	I 825,5	-24,8	-128,9	+II,9	D'après les données de la st. h. Nagyaróvár
I21.	Палковичово Palkovičovo	I 810,0	-25,0	-141,8	+I6,7	
I22.	Генью Gényű	I 791,3	-20,2	-138,7	+I3,3	По данным в/п Дьер
I23.	Комаром Komárom	I 768,3	-26,I	-176,0	+I7,6	
I24.	Вац Vác	I 679,5	-I6,9	-170,2	+I9,9	D'après les données de la st. h. Győr
I25.	Будапешт Budapest	I 646,5	-I4,4	-98,9	+I6,8	
I26.	Эрчи Ercsi	I 613,2	-I4,2	-88,0	+I5,6	По данным в/ Будапешт
I27.	Дунафёльдвар Duna földvár	I 560,6	-I3,7	-73,8	+I5,8	D'après les données de la st. h. Budapest
I28.	Домбори Dombori	I 506,7	-I7,4	-80,2	+22,9	По данным в/п Калоча
I29.	Байя Baja	I 479,5	-20,2	-83,3	+20,9	D'après les données de la st. h. Kalocsa
I30.	Мохач Mohács	I 446,8	-I9,0	-75,2	+24,4	

I	2	3	4	5	6	7
31.	Бездан Bezdan	I 425,5	-24,2	-79,5	+24,5	
32.	Апатин Apatin	I 401,4	-23,4	-76,3	+26,9	По данным в/п Мохач
33.	Богојево Bogojovo	I 367,3	-21,9	-88,9	+13,7	
34.	Вуковар Vukovar	I 333,1	-24,8	-93,4	+18,5	D'après les données de la st. h. Mohács
35.	Нови-Сад Novi Sad	I 255,1	-32,8	-88,8	+17,1	
36.	Земун Zemun	I 173,0	-25,0	-83,7	+26,3	По данным в/п Белград
37.	Панчево Pančevo	I 154,0	-25,3	-97,6	+27,0	
38.	Смедерево Smederevo	I 116,2	-33,4	I08,6	+20,6	D'après les données de la st. h. Belgrade
39.	Оршова Orşova	955,0	-30,9	-	-	
40.	Турну-Северин Turnu Severin	931,0	-39,9	-400,9	-	
41.	Зимница Zimnicea	553,5	-51,3	-186,8	+7,4	По данным в/п Джурджу
42.	Джурджу Giurgiu	493,5	-52,3	-170,0	+9,0	
43.	Олтеница Oltenița	429,8	-54,3	-160,5	+14,4	D'après les données de la st. h. Giurgiu
44.	Калафат Calafat	795,0	-43,2	-2II,I	+4,9	
45.	Видин Vidin	790,2	-43,2	-2III,I	+4,9	
46.	Кэлэрашы Călărași	370,5	-52,4	-124,7	+20,9	
47.	Чернавода Cernavoda	300,0	-50,3	-95,2	+2I,7	
48.	Хыршова Hîrșova	252,3	-53,0	-100,9	+26,0	
49.	Браила Brăila	I69,7	-53,2	-103,3	+22,7	По данным в/п Браила
50.	Галац Galați	I50,0	-51,5	-130,3	+19,5	D'après les données de la st. h. Brăila
51.	Тульча Tulcea	71,3	-47,9	-82,6	+34,9	

КРАЙНИЕ УРОВНИ ВОДЫ, НАБЛЮДЕННЫЕ ПРИ НАЛИЧИИ И ОТСУТСТВИИ ЛЬДА ЗА ПЕРИОД 1900/1901 - 1959/1960 гг.
NIVEAUX D'EAU EXTREMES AVEC ET SANS GLACES, ENREGISTRES AU COURS DE LA PERIODE 1900/1901 - 1959/1960

	Водомерный пост Station hydrométrique	Расстояние от Сулами (км) Distance de Sulina (km)	Высота отметки "0" (м) Cote du "0" (m)	Наиболее низкий уровень Niveau minimum		Разница Ecarts entre les niveaux	Наивысший уровень Niveau maximum		Разница Ecarts entre les niveaux	Примечание Remarque
				безо льда (1947) sans glaces (1947)	со льдом avec glaces		безо льда sans glaces	со льдом avec glaces		
1.	Швабельвейс Schwabelweis	2376,2	324,49	37	-	-	656	719	63	
2.	Штраубинг Straubing	2321,3	311,50	83	-	-	663	711	48	
3.	Пфеллинг Pfelling	2305,5	308,18	230	-	-	812	850	38	
4.	Деггендорф Deggendorf	2284,5	307,03	128	-	-	748	-	-	
5.	Хофкирхен Hofkirchen	2256,9	299,62	174	-	-	698	701	3	
6.	Фильсхофен Vilshofen	2249,1	297,05	164	-	-	683	720	37	Высота отметки "0" над уровнем Северного моря Cote du "0" au-dessus du niveau de la Mer du Nord
7.	Пассау Passau	2225,2	286,24	369	-	-	1230	-	-	
8.	Обернцелль Obernzell	2209,0	279,67	95	-	-	1237	-	-	
9.	Энгельхарццелль Engelhartszell	2200,7	276,99	138	-	-	1096	-	-	Высота отметки "0" над уровнем Адриатического моря Cote du "0" au-dessus du niveau de la Mer Adriatique
10.	Аахах Aschach	2161,3	261,28	76	-	-	814	-	-	
11.	Оттенсгейм Ottensheim	2144,3	252,12	55	-	-	1001	-	-	
12.	Линц Linz	2135,2	247,74	59	-	-	962	-	-	
13.	Мauthаузен Mauthausen	2112,3	236,60	53	-	-	917	-	-	
14.	Вальзе Wallsee	2093,5	226,93	54	-	-	890	-	-	
15.	Грайн Grein	2079,1	219,43	80	-	-	1430	-	-	
16.	Штруден Struden	2076,2	217,63	57	-	-	1358	-	-	
17.	Ибс Ybbs	2058,8	212,22	132	-	-	958	-	-	
18.	Мельк Melk	2036,0	202,97	62	-	-	923	-	-	
19.	Шпилл Spitz	2018,9	196,27	44	-	-	929	-	-	
20.	Штайн Stein	2003,5	189,35	99	-	-	896	-	-	
21.	Цвентендорф Zwentendorf	1975,0	174,86	74	-	-	806	-	-	
22.	Тульн Tulln	1963,3	169,23	92	-	-	844	-	-	
23.	Грайфенштайн Greifenstein	1949,1	163,31	33	-	-	826	-	-	
24.	Кухелгау Kuchelau	1937,5	158,02	61	-	-	833	-	-	
25.	Вена-Рейхсбрюкке Wien-Reichsbrücke	1929,1	154,05	81	-	-	861	-	-	
26.	Фишаменде Fischamend	1907,9	145,92	14	-	-	752	-	-	
27.	Вильдунгсмаэр Wildungsmauer	1894,7	140,48	70	-	-	742	-	-	
28.	Хайнбург Hainburg	1883,9	135,25	147	-	-	906	-	-	
29.	Братислава Bratislava	1868,8	129,22	107	-	-	984	-	-	
30.	Русовце Rusovce	1855,9	125,18	79	-	-	762	876	114	
31.	Доброхост Dobrohost	1841,5	120,48	48	-	-	546	-	-	
32.	Дунаремете Dunaremete	1825,5	113,92	156	-	-	692	-	-	
33.	Палковичово Palkovicovo	1810,0	108,36	208	-	-	838	-	-	
34.	Генъю Gönyü	1791,3	106,88	7	-	-	774	-	-	
35.	Комаром Komárom	1768,3	104,56	22	-10	32	751	758	7	
36.	Эстергом Esztergom	1718,5	101,64	40	15	25	694	719	25	
37.	Надьмарош Nagymaros	1694,6	100,06	33	-	-	641	763	122	
38.	Вац Vác	1679,5	98,79	5	-	-	690	769	79	

ТАБЛИЦА VI. (продолжение)
TABLEAU VI. (suite)

	Водомерный пост Station hydrométrique	Расстояние от Сулинам (км) Distance de Sulina (km)	Высота отметки "0" (м) Cote du "0" (m)	Наименший уровень Niveau minimum		Разница Entre les niveaux	Наивысший уровень Niveau maximum		Разница Entre les niveaux	Примечание Remarque
				безо льда (1947) sans glaces (1947)	со льдом avec glaces		безо льда sans glaces	со льдом avec glaces		
39.	Будапешт Budapest	1646,5	95,65	51	-8	59	805	867	62	
40.	Эрчи Ercsi	1613,2	93,27	40	25	15	742	840	98	
41.	Адонь Adony	1597,8	92,35	43	-30	73	675	820	145	
42.	Дунауйварош Dunaujváros	1580,6	90,95	42	0	42	671	890	219	
43.	Дунафёльвар Dunaújváros	1560,6	89,58	13	10	3	673	924	251	
44.	Пакш Paks	1531,3	86,06	27	26	1	852	1006	154	
45.	Домбори Dombori	1506,7	84,20	-28	-	-	873	1117	244	
46.	Байя Baja	1479,5	81,72	74	66	8	912	1037	125	
47.	Мохач Mohacs	1446,8	79,88	82	35	47	924	1010	85	
48.	Бездан Bezdan	1425,5	80,64	-77	-146	69	718	-	-	
49.	Апатин Apatin	1401,4	78,84	-49	-118	69	780	-	-	
50.	Богоево Bogojevo	1367,3	77,46	-30	-86	56	762	-	-	
51.	Вуковар Vukovar	1333,1	76,19	-12	-110	98	683	-	-	
52.	Илок Ilok	1298,7	73,96	-16	-49	33	704	-	-	
53.	Нови-Сад Novi Sad	1255,1	71,78	-63	-134	71	706	-	-	Высота отметки "0" над уровнем Адриатического моря
54.	Земун Zemun	1173,0	67,87	-107	-	-	756	-	-	
55.	Панчево Pančevac	1154,0	67,33	-130	-	-	754	-	-	Cote du "0" au-dessus du niveau de la Mer Adriatique
56.	Смедерево Smederevo	1116,2	65,36	24	-	-	791	-	-	
57.	Базиаш Baziash	1072,5	63,68	-99	-	-	777	795	18	Высота отметки "0" над уровнем Черного моря
58.	Молдова-Веке Moldova Veche	1048,0	62,52	-42	-	-	763	-	-	
59.	Дренкова Drenкова	1016,0	60,11	78	-96	18	653	-	-	Cote du "0" au-dessus du niveau de la Mer Noire
60.	Оршова Orșova	955,0	44,36	-26	-52	26	648	-	-	
61.	Турну-Северин Turnu Severin	931,0	34,13	-76	-114	38	843	-	-	
62.	Груя Gruia	851,0	29,15	-108	-125	17	792	916	124	
63.	Четате Cetatea	811,2	27,66	-83	-89	6	767	905	138	
64.	Калафат Calafat	795,0	26,68	-83	-87	4	735	930	195	
65.	Бистрец Bistret	724,9	23,86	-93	-101	8	695	741	46	
66.	Бечет Bechet	679,0	22,08	-84	-112	28	689	755	66	
67.	Корабия Corabia	629,5	20,17	-101	-	-	722	796	74	
68.	Турну-Мэгуреле Turnu Măgurele	597,0	19,12	-71	-146	75	679	768	89	
69.	Зимница Zimnicea	553,5	16,22	-96	-103	7	775	874	99	
70.	Джураджу Giurgiu	493,5	13,06	-83	-	-	778	919	141	
71.	Олтенница Oltenica	429,8	10,01	-110	-	-	784	859	75	
72.	Кэлэраши Călărași	370,5	7,31	-121	-	-	766	793	27	
73.	Чернавода Cernavoda	300,0	4,87	-148	-215	67	697	730	33	
74.	Хиршова Hîrșova	252,3	3,08	-65	-120	55	683	702	19	
75.	Браила Brăila	169,7	1,08	-36	-61	25	693	-	-	
76.	Галац Galati	150,0	0,86	-24	-	-	658	-	-	
77.	Исакча Isaccea	102,0	0,63	-21	-40	19	542	-	-	
78.	Тульча Tulcea	71,3	0,56	-23	-	-	477	-	-	

ТАБЛИЦА VII
TABLEAU VII

ЛЕДОВЫЙ РЕЖИМ НА УЧАСТКЕ ДУНАЯ БАЗИАШ - ТУРНУ-СЕВЕРИН (1072-931 км)
REGIME DES GLACES SUR LE SECTEUR BAZIAS - TURNU SEVERIN (km 1072-931)

Водомерный пост	Расстояние от Сулины (км)	Годовая вероятность Probabilité annuelle	появления наступления льда	Distance de Sulina (km)	% de l'apparition des glaces	% de la période avec présence de glaces	Средняя годовая продолжительность Durée moyenne annuelle		Показатель ледостава периода ледостава явления	Indice de la prise de la période avec présence de glaces	Примечание	Remarque
							в днях	en jours				
1. Базиаш Bazias	1 072,5	76,8	44,7	23,1	10,5	45,3						
2. Молдова-Веке Moldova Veche	1 048,0	75,8	48,5	20,5	10,4	50,8						
3. Дренкова Drenкова	1 016,0	75,0	18,3	23,2	3,9	16,9						
4. Свинница * Svinica *	996,0	86,5	22,7	19,6	2,5	12,7						
5. Плавиешвица * Plavișevița *	976,3	81,8	72,8	26,4	18,8	71,3						
6. Оршова Orșova	955	75,0	13,3	21,1	1,9	9,2						
7. Турну-Северин Turnu Severin	931	73,3	3,3	20,9	0,4	1,8						

Водомерные посты Свинница и Плавиешвица являются вспомогательными постами

* Les stations hydrométriques Svinică et Plavișevița sont des stations auxiliaires

По данным за период 1893/94-1914/15 гг.
D'après les données pour la période de 1893/1894 à 1914/1915

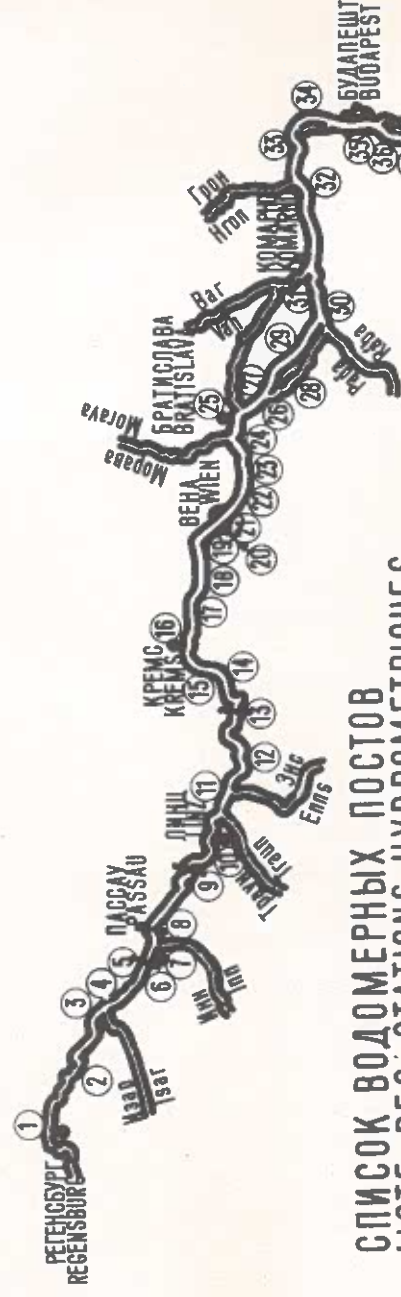
ТАБЛИЦА VIII

ЛЕДОВЫЙ РЕЖИМ НА УЧАСТИКЕ РЕКИ ДУНАЙ ВЫШЕ ПЛОТИНЫ КАХЛЕТ ПО ДАННЫМ ЗА ПЕРИОД 1948/49 - 1962/63 ГГ.

REGIME DES GLACES SUR LE SECTEUR EN AMONT DU BARRAGE DE KACHELET, D'APRES LES DONNEES
POUR LA PERIODE 1948/49 - 1962/63

Л е д о в ы й р е ж и м у плотины Пассау au barrage de Passau		Régime des glaces у Хофкирхен (2357 км) à Hofkirchen (km 2357)		у устья р.Изар (2281,6 км) au confluent de l'Isar (km 2281,6)	
Зима	Ледостава на реке (en jours)	Продолжительность (в днях)	Показатель ледостава	Продолжительность (в днях)	Показатель ледостава
1948/1949	35	33	94	18	5
1949/1950	23	23	100	13	0
1950/1951	16	16	100	11	0
1951/1952	0	0	0	0	0
1952/1953	10	9	90	10	0
1953/1954	57	55	96	37	19
1954/1955	5	5	100	3	0
1955/1956	33	32	97	33	29
1956/1957	25	25	100	20	9
1957/1958	17	17	100	11	0
1958/1959	0	0	0	0	0
1959/1960	25	25	100	19	9
1960/1961	13	13	100	11	6
1961/1962	21	20	95	13	0
1962/1963	97	96	99	86	77
Итого	377	369	285	154	246
Total				10,2	62
В среднем Moyenne	25,1	24,6	98,0	19,0	4,1
					25,0

СХЕМАТИЧЕСКИЙ ПЛАН РЕКИ ДУНАЙ PLAN SCHÉMATIQUE DU DANUBE



СПИСОК ВОДОМЕРНЫХ ПОСТОВ LISTE DES STATIONS HYDROMÉTRIQUES

(1) Швабенхайс Schwabenweis	(15) Шпиз Spitz	(29) Палковичово Palkovickovo	(50) Земун Zemun	(57) Турну-Северин Turnu Severin
(2) Штраубинг Straubing	(16) Штайн Stein	(30) Геню Gönyü	(51) Панчево Pančevo	(58) Груя Gruia
(3) Деггендорф Deggendorf	(17) Цвентендорф Zwentendorf	(31) Комаром Komárom	(52) Смедерево Smederevo	(59) Четате Cetatea
(4) Нидеральтрайх Niederalteich	(18) Тульн Tulln	(32) Эстергом Esztergom	(53) Базиаш Bazias	(60) Калрафат Calafat
(5) Хофкирхен Hofkirchen	(19) Грайфенштайн Greifenstein	(33) Надьмарош Nádymaros	(54) Молдова-Веке Moldova Veche	(61) Бекет Becket
(6) Фильсхофен Vilshofen	(20) Кухелай Kuchelau	(34) Вац Vác	(55) Дренкова Drenкова	(62) Корабия Corabia
(7) Пассау Passau	(21) Вена-Рейхсбрücke Wien-Reichsbrücke	(35) Будапешт Budapest	(56) Оршова Orșova	(63) Турну-Магуреле Turnu Magurele
(8) Энгельхартцзелль Engelhartszell	(22) Фишаменда Fischamend	(36) Эрчи Ercsi	(57) Зимница Zimnicea	(64) Тульча Tulcea
(9) Аах Aschach	(23) Вильдунгсмаэр Wildungsmauer	(37) Адонь Adony	(58) РУСЕ Rousse	(65) Градешти Grădiște
(10) Линц Linz	(24) Хайнбург Hainburg	(38) Дунайдьвар Dunaújváros	(59) Богоево Bogojevo	(66) ОДАТ Odat
(11) Мauthausen	(25) Братислава Bratislava	(39) Дунабельдьвар Dunaújvárad	(60) Вуковар Vukovar	(67) БЕДРИЧ Bedrič
(12) Вальзе Wallsee	(26) Русовце Rusovce	(40) Пакш Paks	(61) Илок Ilok	(68) БАЙЯ Baja
(13) Ибс Ubs	(27) Доброгошть Dobrohošt	(41) Домбори Dombori	(69) Нови-Сад Novi Sad	
(14) Мельк Melk	(28) Дунаремете Dunaremete	(42) Байя Baja		

ВОДОМЕРНЫЙ ПОСТ ШВАБЕЛЬВЕЙС 2376'1 КМ
STATION HYDROMETRIQUE SCHWABELWEIS km 2376'1

ПРИЛОЖЕНИЕ № 2а
ANNEXE № 2a

ГОДЫ ANNÉES	1	XI	XII	I			II			III			2		
				a	b	c	a	b	c	a	b	c	a	b	c
1900 - 01				3	8		26	30		12	17	23	15	33	48
01 - 02										0	0	0			
02 - 03				14	24								11	0	11
03 - 04	•			29	31		2	4	14	18			3	0	3
04 - 05					2	4	24	26					8	0	8
05 - 06				1	4		24	26					7	0	7
06 - 07				22	31		3	7	11	17	24	26	15	0	15
07 - 08	•				3	7	11	17	24	26	30		16	0	16
08 - 09				28			15	23		19	24	27	51	0	51
09 - 10				15	31				2	8	11	20	17	0	17
1910 - 11					8	12	15	18	23	24	31	2	22	0	22
11 - 12	•						1	6					6	0	6
12 - 13				14	16	26	30			19	22		14	0	14
13 - 14				11	19	24	28	4	7				18	0	18
14 - 15							29	31					3	0	3
15 - 16	•			28	2								5	0	5
16 - 17					24					24			29	0	29
17 - 18				5	7		24	14	7	10	11	18	19	0	19
18 - 19									9	15			7	0	7
19 - 20	•												0	0	0
1920 - 21				1	7	11	17	1	3				0	0	0
21 - 22								6	14				23	0	23
22 - 23													0	0	0
23 - 24	•			22	29	3	13		25				33	0	33
24 - 25													0	0	0
25 - 26			нет данных										—	—	—
26 - 27			нет данных										—	—	—
27 - 28	•												0	0	0
28 - 29							1	3			15		2	39	41
29 - 30				20	24				9	15			12	0	12
1930 - 31					10	16			9	10			9	0	9
31 - 32	•			1	2	5	6			11	16		10	0	10
32 - 33				15	18	23	29	7					10	7	17
33 - 34			3	15	29	42	29	3	8				21	14	35
34 - 35							9	12					4	0	4
35 - 36	•			22	25								4	0	4
36 - 37					11	14							2	0	2
37 - 38													0	0	0
38 - 39				25	9								0	16	16
39 - 40	•			29	3	13		5	8	13	17	23	20	32	52
1940 - 41				19	20	5	12	24					9	13	22
41 - 42				27	1	9	21			25			17	37	54
42 - 43					6	18							13	0	13
43 - 44	•					21					27	28	3	0	3
44 - 45					15	21							7	0	7
46 - 46			40	11		5	10	17	18	26	28		13	0	13
46 - 47				17	26	5	7	13	13	15			14	39	53
47 - 48	•												0	0	0
48 - 49				21	30				3	7			15	0	15
49 - 50							23		6				15	0	15
1950 - 51													0	0	0
51 - 52	•												0	0	0
52 - 53					2	7		25	2				2	0	2
53 - 54							2	25	2		23	24	19	22	41
54 - 55					6	7							2	0	2
55 - 56	•						1	7	2		2		11	20	31
56 - 57					18	25							8	0	8
57 - 58						28	3						4	0	4
58 - 59									9	12			0	0	0
59 - 60	•				14	19			9	12			10	0	10
ПЕРИОД НАБЛЮДЕНИЯ : 58 ЛЕТ PERIODE D'OBSERVATION: 58 ANNEES				СУММА ДНЕЙ NOMBRE TOTAL DE JOURS				272 850							
				СУММА ЛЕТ NOMBRE TOTAL D'ANNEES				11 47							

УСЛОВНЫЕ ОБОЗНАЧЕНИЯ:
LEGENDE:

- ВЫСОКОСНЫЕ ГОДЫ
• ANNEES BISEXTILES

а) ЧИСЛО ДНЕЙ С НАЛИЧИЕМ ЛЕДОХОДА
a) NOMBRE DES JOURS DE CHARRIAGE

б) ЧИСЛО ДНЕЙ С НАЛИЧИЕМ ЛЕДОСТАВА
b) NOMBRE DES JOURS DE PRISE DU FLEUVE

с) ЧИСЛО ДНЕЙ С НАЛИЧИЕМ ЛЬДА
c) NOMBRE DES JOURS AVEC PRESENCE DE GLACES

ТОНКАЯ ПОЛОСА УКАЗЫВАЕТ НАЛИЧИЕ ЛЕДОХОДА, А БОЛЕЕ ТОЛСТАЯ – НАЛИЧИЕ ЛЕДОСТАВА
LE TRAIT FIN INDIQUE LE CHARRIAGE ET LE TRAIT EPais, LA PRISE DU FLEUVE

ВОДОМЕРНЫЙ ПОСТ
STATION HYDROMETRIQUE

ВЕНА - НУСДОРФ
WIEN - NUSSDORF

1934 КМ
km 1934

ПРИЛОЖЕНИЕ № 2 б
ANNEXE № 2 b

ГОДЫ АННÉES	1	XI	XII	I	II	III	2		
							a	b	c
1900-01				5. 14 23	14 25				
01 - 02				9 18 21	18 25				
02 - 03				30 12					
03 - 04				1 7 15 25					
04 - 05				3 7 26 28					
05 - 06				22 3	23 28	8 10			
06 - 07				4 9 11 18 25 25					
07 - 08				29 4 11 13 23 4 6 11 20 26 28					
08 - 09									
09 - 10									
1910 - 11				12 20	11 12				
11 - 12				15 24 1 8					
12 - 13				16 21 12	20 22				
13 - 14				13 13					
14 - 15									
15 - 16			29 2						
16 - 17					23 31				
17 - 18			27 12	1 14					
18 - 19					10 16				
19 - 20									
1920 - 21			27 28						
21 - 22			2 7 16 17		24 30 8 16				
22 - 23									
23 - 24			25 10 16 17 26 29						
24 - 25			28 3						
25 - 26			6 11 18	14 20					
26 - 27			25 29						
27 - 28			20 25 30 6						
28 - 29			22 25 9		11	16			
29 - 30									
1930 - 31			15 16	10 12					
31 - 32			21 25	11 16 22 25 4					
32 - 33				15 1					
33 - 34			5 22	13 15					
34 - 35				4 16 22 25	10 14				
35 - 36					15 14				
36 - 37				15 20 25 29					
37 - 38				2 9					
38 - 39			19 1 5 8						
39 - 40				29 25		5			
1940 - 41			18 28 2 6 10 21 29 31						
41 - 42			30 2 13						
42 - 43				8 16 21 24 28					
43 - 44									
44 - 45				6 7 10 14 17	4				
45 - 46				7 11 18 20 25 30					
46 - 47			17 27 5 9 14	25 1		9			
47 - 48									
48 - 49			27 31		3 5 6 4				
49 - 50					25 7				
1950 - 51									
51 - 52					29 31				
52 - 53						10			
53 - 54				5 12	27	12 20 26			
54 - 55									
55 - 56						1	28		
56 - 57				19 26					
57 - 58				27 1					
58 - 59									
59 - 60				15 23	7 12				
ПЕРИОД НАБЛЮДЕНИЯ: 58 ЛЕТ PERIODE D'OBSERVATION: 58 ANNEES						СУММА ДНЕЙ NOMBRE TOTAL DE JOURS	169	965	
						СУММА ЛЕТ NOMBRE TOTAL D'ANNEES	5	49	

ВОДОМЕРНЫЙ ПОСТ
STATION HYDROMETRIQUE

БРАТИСЛАВА
BRATISLAVA

1868'8 КМ

km 1868'8

ПРИЛОЖЕНИЕ №
ANNEXE № 2 с

ГОДЫ ANNEES	1	XI	XII	I	II	III	2		
							a	b	c
1900 - 01				2 9	20 23	12 27		25	22 47
01 - 02							0	0	0
02 - 03		20 28	6 14 20 21		16 28		31	7	38
03 - 04	•			30 14			16	0	16
04 - 05				1 8 15	29		22	0	22
05 - 06				0 8	24 28		14	0	14
06 - 07				24 5	22	17	43	0	43
07 - 08	•			7	26		24	0	24
08 - 09		13 18		28 4 6 11 13	23 30 5 6 11 19 23 28		31	10	41
09 - 10							0	0	0
1910 - 11					12 24 1 16		26	0	26
11 - 12	•			5	25 2 9		29	0	29
12 - 13				14 21 31 2		20 23	15	0	15
13 - 14				11		15	36	0	36
14 - 15					21 5		6	0	6
15 - 16	•	26 7					4	0	4
16 - 17					23	22	31	0	31
17 - 18			26	14			20	0	20
18 - 19						9 16	8	0	8
19 - 20	•						0	0	0
1920 - 21							0	0	0
21 - 22		2 7 15 17		24 2 7 17			30	0	30
22 - 23							0	0	0
23 - 24	•		24	18 25 3		26 25	37	0	37
24 - 25			28 31				4	0	4
25 - 26		5 14 17 18		13 25			25	0	25
26 - 27			25 23				4	0	4
27 - 28	•	19 22	11 12				4	21	25
28 - 29		24 27	9	5		16 22	40	40	80
29 - 30					12 16		5	0	5
1930 - 31				13 16		11 12	6	0	6
31 - 32	•	21 25		11 17 22 25		4	23	0	23
32 - 33							16	0	16
33 - 34		11 18 28		13 15	4 7		31	11	42
34 - 35				10 25	9 18		24	0	24
35 - 36	•	22 24			11 16		9	0	9
36 - 37				14	4		22	0	22
37 - 38			28 40				14	0	14
38 - 39		16 25	14 18				12	21	33
39 - 40	•					10 11	11	60	71
1940 - 41			17 30 5	20 30 3 5 9			40	0	40
41 - 42			29 5 11	24		6 13	25	42	67
42 - 43			6	23			24	0	24
43 - 44	•						0	0	0
44 - 45			25	3			41	0	41
45 - 46			7 12 16	30			21	0	21
46 - 47		17 28	20 26			12 14	20	68	88
47 - 48	•						0	0	0
48 - 49			27 2	3 7		5	13	0	13
49 - 50				23 1	6		17	0	17
1950 - 51							0	0	0
51 - 52	•			25 21		9 10	3	0	3
52 - 53							2	0	2
53 - 54			4 16	27 5		5	22	29	51
54 - 55							0	0	0
55 - 56	•			31	18	6	18	16	36
56 - 57			21 27				9	0	9
57 - 58			28 2		13 15		6	0	6
58 - 59							3	0	3
59 - 60	•		11 22	4 11			17	0	17

ПЕРИОД НАБЛЮДЕНИЯ: 60 ЛЕТ
PERIODE D'OBSERVATION: 60 ANNEES

СУММА ДНЕЙ
NOMBRE TOTAL DE JOURS
СУММА ЛЕТ
NOMBRE TOTAL D'ANNEES

979 347 1326
12 51

ВОДОМЕРНЫЙ ПОСТ

БУДАПЕШТ
BUDAPEST

1647 КМ

STATION HYDROMETRIQUE

км 1647

ПРИЛОЖЕНИЕ

№ 21
№

ГОДЫ ANNEES	1	XI	XII	I	II	III			
							2 a	3 b	4 c
1900 - 01				3	7	10	32	35	67
01 - 02		2	7	4	31	2	0	0	0
02 - 03				8	5	26	55	12	67
03 - 04	•		30	11	29	2	27	0	27
04 - 05				25	30	4	30	18	48
05 - 06				22	10	22	18	0	18
06 - 07				3	10	33	51	0	51
07 - 08	•			20	31	31	27	5	32
08 - 09		17	23	1	8	20	55	19	74
09 - 10			16	13	28	1	1	0	1
1910 - 11					29		25	0	25
11 - 12	•			15	22	26	34	0	34
12 - 13				13	27	29	29	0	29
13 - 14				9	18	20	29	26	55
14 - 15					31	9	10	0	10
15 - 16	•		28	4			7	0	7
16 - 17					4	14	19	23	42
17 - 18		8	14	20	17		33	0	33
18 - 19						8	11	0	11
19 - 20	•		21	22			2	0	2
1920 - 21		28	30				3	0	3
21 - 22		2	8	13	19	10	46	7	53
22 - 23					12	24	6	0	6
23 - 24	•			20	25		11	64	75
24 - 25					24	3	7	0	7
25 - 26		2	28	23		17	30	3	33
26 - 27				25	31		12	0	12
27 - 28	•			19	16		29	0	29
28 - 29				22	29	9	28	55	83
29 - 30				26	27	18	8	0	8
1930 - 31					15	17	11	0	11
31 - 32	•			20	27	3	32	0	32
32 - 33					17	30	17	5	22
33 - 34		5	18		3	7	32	27	59
34 - 35				13	19	28	20	0	20
35 - 36	•			13	24	9	9	0	9
36 - 37	•			14	16	6	24	0	24
37 - 38				28	14		11	9	20
38 - 39				49	27	31	21	14	35
39 - 40	•			28	14		22	60	82
1940 - 41		10	29	18	25		58	9	67
41 - 42				19	23		38	46	84
42 - 43					5	9	40	0	40
43 - 44	•					24	2	0	2
44 - 45				27	32	14	38	12	50
45 - 46				7	16	23	12	17	29
46 - 47				18	21	8	10	83	93
47 - 48	•						0	0	0
48 - 49		17	14	3	2	9	23	5	28
49 - 50				12	16	3	28	0	28
1950 - 51					30	7	0	0	0
51 - 52	•				16	22	14	0	14
52 - 53					17	13	44	26	70
53 - 54				1	8	10	0	0	0
54 - 55					30	12	17	24	41
55 - 56	•			14	19	2	20	0	20
56 - 57				6	7	6	14	0	14
57 - 58				19	23	11	12	0	12
58 - 59				16	26	13	25	0	25
59 - 60	•			13			25	0	25
ПЕРИОД НАБЛЮДЕНИЯ : 60 ЛЕТ				СУММА ДНЕЙ			597	1892	
PERIODE D'OBSERVATION : 60 ANNEES				NOMBRE TOTAL DE JOURS					
				СУММА ЛЕТ					
				NOMBRE TOTAL D'ANNEES			24	56	

ВОДОМЕРНЫЙ ПОСТ

НОВИ-САД
NOVI SAD

1255 км

STATION HYDROMETRIQUE

km 1255

ПРИЛОЖЕНИЕ
ANNEXE№ 2е
No 2e

ГОДЫ АННÉЕС	1	XI	XII	I	II	III	2
		a	b	c			
1900 - 01				3 10	3 13 28	46 47	34 24 58
01 - 02				8 19	1 5 9 11 42		0 0 0
02 - 03	29 47	18 25 26 28		5 15	25 29 30 3		55 0 55
03 - 04	•			1 7 9 13 15	24 24 27		20 0 20
04 - 05				4 6 8 12 16 17	25 4		24 30 54
05 - 06				23 15 15		25 3	21 0 21
06 - 07				5 18 22	9 11 15		65 0 65
07 - 08	•			31 8 19 4 16	21 3 9	4	37 0 37
08 - 09							48 0 48
09 - 10							0 0 0
1910 - 11				20	2 22 14 19 22 25		22 0 22
11 - 12	•			14 23 29	6 14 16 21 22		24 0 24
12 - 13				16 25 30 2	20		15 0 15
13 - 14				6	22 26 28 2		51 1 52
14 - 15					3 9		7 0 7
15 - 16	•	4 4					4 0 4
16 - 17				28		28 3 5 15 16	37 0 37
17 - 18		14 25		24 26 27			31 0 31
18 - 19	Нет данных				Pas de données	
19 - 20	•	Нет данных			Pas de données	
1920 - 21							0 0 0
21 - 22	6 7 15 21			14 17 23 31	8 15 23 4 5		32 13 45
22 - 23				24			1 0 1
23 - 24	•	28 30 35 3		25 1 3 16 13	26 5 1 13		37 26 63
24 - 25				26 30			5 0 5
25 - 26	5	27 31					24 0 24
26 - 27		9 1					2 0 2
27 - 28	•	18 22 27 31					8 6 14
28 - 29		26 29	40	26		35 25	30 49 79
29 - 30							0 0 0
1930 - 31							0 0 0
31 - 32	•			6 20		12 16	20 0 20
32 - 33				22 30	1 13		15 8 23
33 - 34	9 11 25 4 6			29 40			32 0 32
34 - 35		10	23 25 29 30	9 14 16 20 23			26 8 34
35 - 36	•			16 25 27 4 4	11 15 16		0 0 0
36 - 37				16 25 27 4 4	11 15 16		16 5 21
37 - 38	30	10 16 19 22 24					17 0 17
38 - 39		24	14				23 0 23
39 - 40	•		18		24 19 23		19 61 80
1940 - 41	17 30	11 31	20	20 23			38 0 38
41 - 42		29 5 28			27 28 11 14		26 48 74
42 - 43		7 17	5 14				19 20 39
43 - 44	•						0 0 0
44 - 45	Нет данных			Pas de données		
45 - 46			17	2 6 9			19 5 24
46 - 47	23	1			5 20		24 64 88
47 - 48	•						0 0 0
48 - 49	21 31	12	3 9				19 0 19
49 - 50			25 29 4 5 7	15 19			11 5 16
1950 - 51							0 0 0
51 - 52	•						0 0 0
52 - 53			21 24	18 20			7 0 7
53 - 54	25	7			4 13		22 57 79
54 - 55							0 0 0
55 - 56	•			4 7	7 20		16 30 46
56 - 57			20 28 3 2 7				17 0 17
57 - 58			26	7			12 0 12
58 - 59		18 22		15 24			13 0 13
59 - 60	•	14 23 25 27			14		57 3 60

ПЕРИОД НАБЛЮДЕНИЯ : 57 ЛЕТ
PERIODE D'OBSERVATION : 57 ANNEESСУММА ДНЕЙ
NOMBRE TOTAL DE JOURS

463 1565

СУММА ЛЕТ
NOMBRE TOTAL D'ANNEES

19 46

ВОДОМЕРНЫЙ ПОСТ

ДЖУРДЖУ
GIURGIU

493 км

STATION HYDROMETRIQUE

km 493

ПРИЛОЖЕНИЕ № 2 f
ANNEXE № 2

ГОДЫ АННÉЕ8	XI	XII	I	II	III	2
	a	b	c			
1900 - 01			21	6		17 0 17
01 - 02						0 0 0
02 - 03	7 13	9	24 29			12 28 40
03 - 04		10 19				10 0 10
04 - 05		4	25		5 10	26 40 66
05 - 06	4 7 9 14					6 0 6
06 - 07	28	8	22	7	6 10	32 28 60
07 - 08		9 20				13 0 13
08 - 09	30	10 12 15 17 18	24		12 15 16	17 50 67
09 - 10						0 0 0
1910 - 11			1	15 25 26		15 11 26
11 - 12		16		13 15		32 0 32
12 - 13		19 21 31 2		18		7 0 7
13 - 14		12	26 28 29	24 28		20 27 47
14 - 15						0 0 0
15 - 16			4 5 9	16		10 0 10
16 - 17	Нет данных		Pas de données		
17 - 18	Нет данных		Pas de données		
18 - 19			4 5 9	17		11 0 11
19 - 20						0 0 0
1920 - 21	15 16 20					3 0 3
21 - 22	22 15 26		22 4	25 29 3		29 22 51
22 - 23		25 26				2 0 2
23 - 24		1 27 28 26		29 5 7		13 36 49
24 - 25		25 30				6 0 6
25 - 26	16 26		23 26			19 0 19
26 - 27				22 27		6 0 6
27 - 28	19	3 20 25	3 9		20 26	22 19 51
28 - 29		11 30				25 50 75
29 - 30						0 0 0
1930 - 31		21 24 27 15 5	6 8 11 20		4 9	27 21 48
31 - 32		13 29 40 13				17 15 32
32 - 33						49 0 49
33 - 34	6 17 30 3 9 11 14 18 21 25 26	13 10 16 18				38 1 39
34 - 35	11	8	3 8 9 12 13 20 27			0 0 0
35 - 36			17 28 5 18			24 9 33
36 - 37		4 15 19 20 21				16 0 16
37 - 38		1 15				25 0 25
38 - 39	19 29 31 13				5 18	20 59 79
39 - 40	31 15					33 8 41
1940 - 41	23		21 28 1			21 52 73
41 - 42	31	20			12 15	12 26 38
42 - 43		11 21	15 17			10 0 10
43 - 44		18 25		23 26		41 0 41
44 - 45	5	17 20	16			32 10 42
45 - 46	10 24 25 28	17 1 10				23 54 77
46 - 47	19 30 4			2 6		0 0 0
47 - 48						21 27 48
48 - 49	15 26	21 25 4 8				17 23 40
49 - 50		12 17 21 27	49 22			0 0 0
1950 - 51						0 0 0
51 - 52						0 0 0
52 - 53						0 0 0
53 - 54	21	7			16 18	19 69 88
54 - 55						0 0 0
55 - 56			5	6		31 0 31
56 - 57		18 26				9 0 9
57 - 58						0 0 0
58 - 59			16			1 0 1
59 - 60		24 28 3	15			18 0 18

ПЕРИОД НАБЛЮДЕНИЯ: 58 ЛЕТ
PERIODE D'OBSERVATION: 58 ANNEESСУММА ДНЕЙ
NOMBRE TOTAL DE JOURS

700 1542

СУММА ЛЕТ
NOMBRE TOTAL D'ANNEES

23 45

ВОДОМЕРНЫЙ ПОСТ

STATION HYDROMETRIQUE

БРАИЛА
BRĂILA

170 км

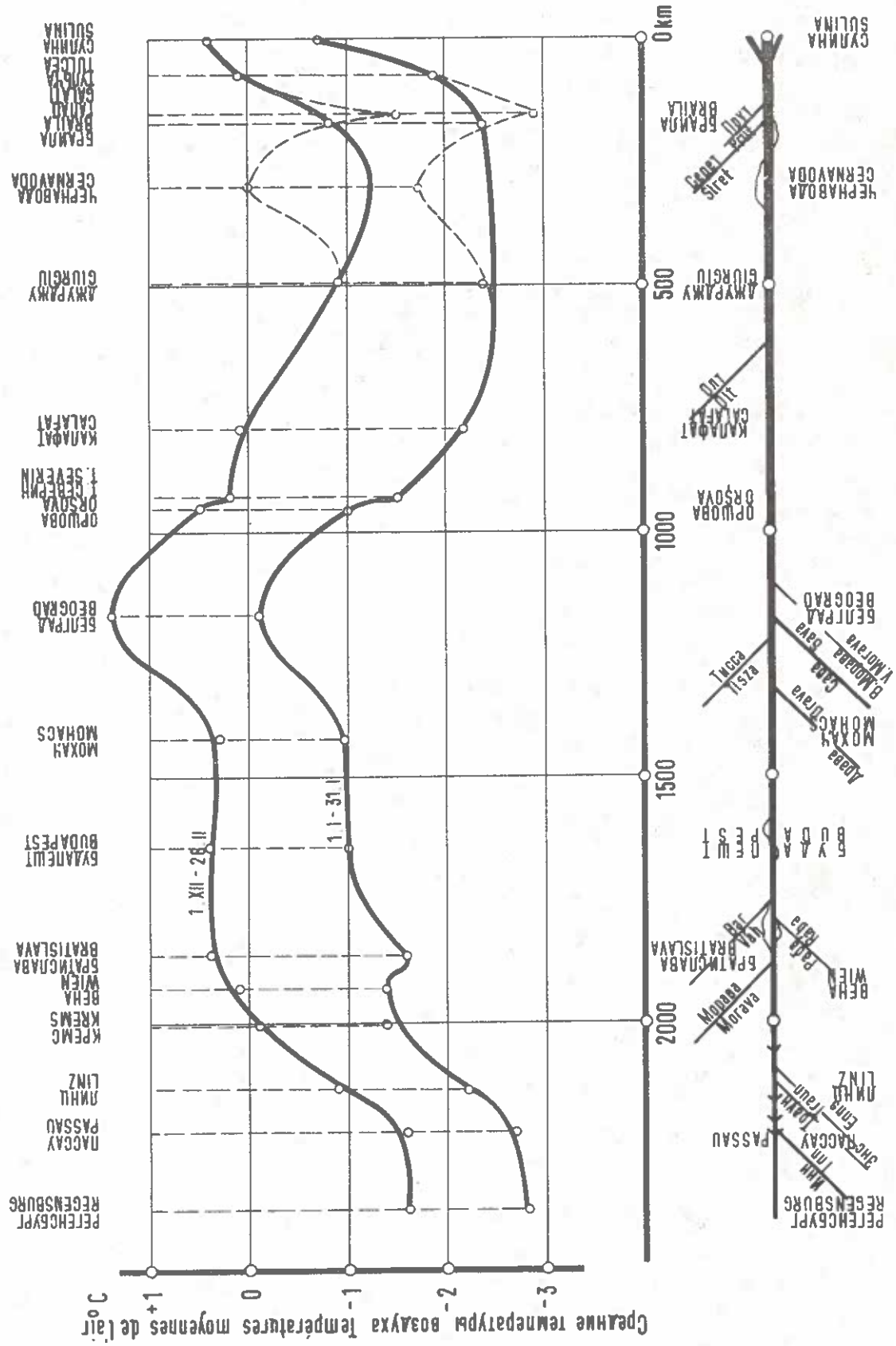
km 170

ПРИЛОЖЕНИЕ № 29
ANNEXE № 29

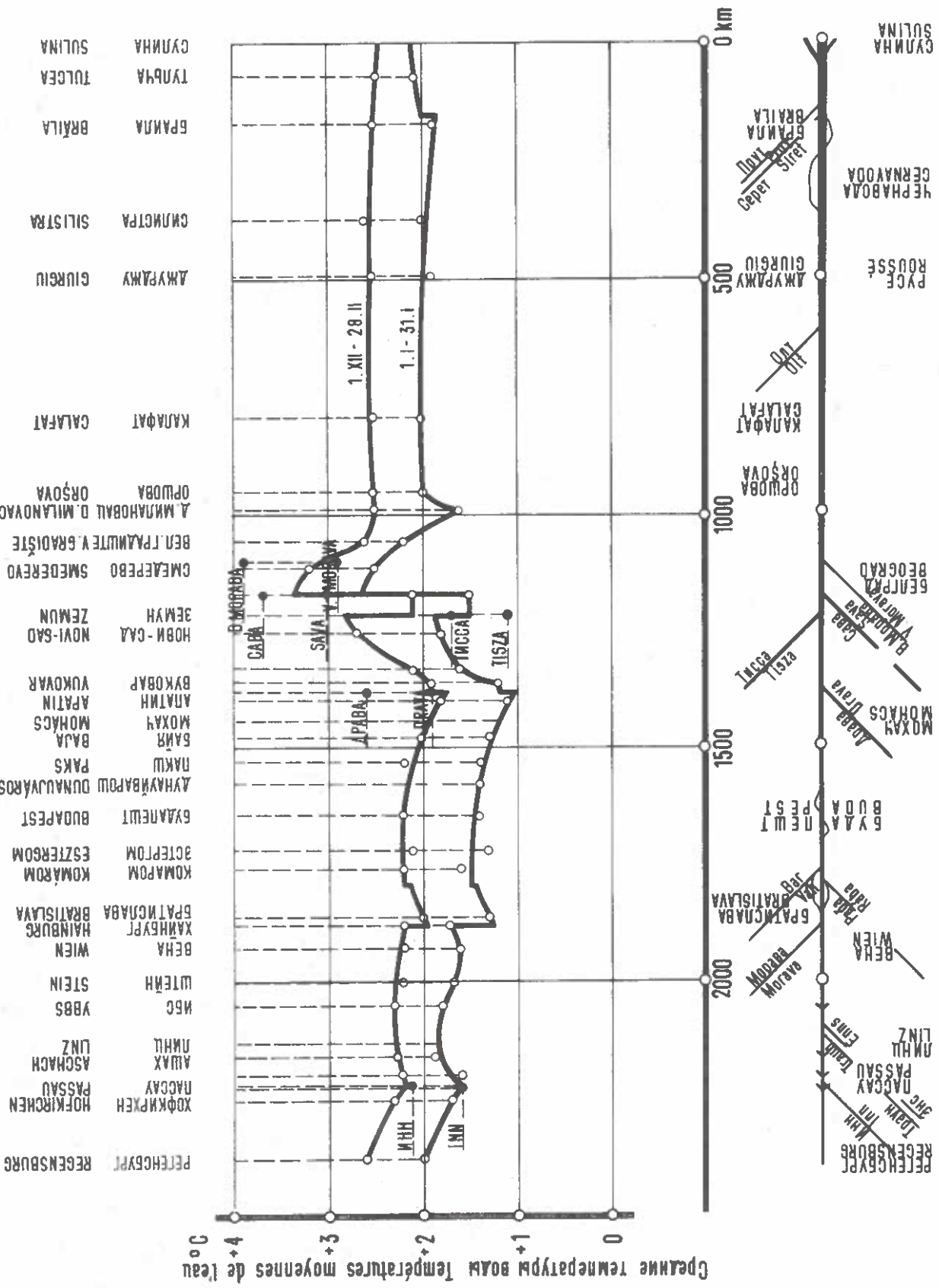
ГОДЫ АННÉES	XI	XII	I	II	III	2		
						a	b	c
1900 - 01				21	5 14 24 25 26	5	15 20 35	
01 - 02				24 26	77	0 0 0		
02 - 03	7 9			10 19		3 70 73		
03 - 04			3 4			10 0 10		
04 - 05			3 4		10 24 25	11 60 71		
05 - 06	16	25	3 5			9 20 29		
06 - 07		3	5 21 26			22 60 82		
07 - 08		1	6 10			20 18 38		
08 - 09	29				4 21	9 74 83		
09 - 10						0 0 0		
1910 - 11			31 9	24	4	17 16 33		
11 - 12	1 4 5 7 8			7 23		7 34 41		
12 - 13		7		9 16 26		32 0 32		
13 - 14	12	23		23 3		19 32 51		
14 - 15						0 0 0		
15 - 16	• Нет данных			Pas de données			
16 - 17	• Нет данных			Pas de données			
17 - 18	• Нет данных			Pas de données			
18 - 19	• Нет данных			Pas de données			
19 - 20	• Нет данных			Pas de données			
1920 - 21	23 26				26 25 7	2 0 2		
21 - 22	40	23 26 32 3	40	24 26		14 52 66		
22 - 23				16 18		3 0 3		
23 - 24	1	2 5 9	21 22 28 1		9 12	10 42 52		
24 - 25	• Нет данных			Pas de données			
25 - 26	10 13 15 16 22 25 28		25 27			17 0 17		
26 - 27				23 1		7 0 7		
27 - 28	27	25 26 29		46 48 29 1		13 50 63		
28 - 29			10	29		24 56 80		
29 - 30						0 0 0		
1930 - 31			5 8 9			8 0 8		
31 - 32	14 17 21 30	6 8	5 31			27 34 26 46 72		
32 - 33		11 14				4 47 51		
33 - 34	15 25					11 73 84		
34 - 35		1 19				12 40 52		
35 - 36	•					0 0 0		
36 - 37		15 19		22 25		6 36 42		
37 - 38	4	12	31 4			12 20 32		
38 - 39	20		29			37 0 37		
39 - 40	37	6				18 66 84		
1940 - 41	19	5	15	15 20	9	23 41 64		
41 - 42						22 64 86		
42 - 43		9 11		25 26 25		3 44 47		
43 - 44	•		9 10 25 25			11 0 11		
44 - 45	1 6 9 12 15 20	25	5 13			29 0 29		
45 - 46	11 19 25 26 31	10 34	14 20			27 26 53		
46 - 47	18 21 23	3				19 62 81		
47 - 48	16 19 25 26 31	16 24	11 20			0 0 0		
48 - 49		12 20	12 21 23 25			27 26 53		
49 - 50			3 7			14 30 44		
1950 - 51						5 0 5		
51 - 52	•					0 0 0		
52 - 53						0 0 0		
53 - 54	22 26 29					24 25 8 83 91		
54 - 55						0 0 0		
55 - 56	•					10 38 48		
56 - 57	31 2	10 27 2				14 0 14		
57 - 58		30 31				2 0 2		
58 - 59		36 35	15 18			8 0 8		
59 - 60	26 29	3 9 47 22				15 0 15		

ПЕРИОД НАБЛЮДЕНИЯ : 54 ГОДА
PERIODE D'OBSERVATION : 54 ANNEESСУММА ДНЕЙ
NOMBRE TOTAL DE JOURS
СУММА ЛЕТ
NOMBRE TOTAL D'ANNEES1360 1988
30 45

СРЕДНИЕ ЗИМНИЕ И ЯНВАРСКИЕ ТЕМПЕРАТУРЫ ВОЗДУХА (1941-1960 гг.)
TEMPERATURES MOYENNES DE L'AIR EN HIVER ET AU MOIS DE JANVIER (1941 - 1960)



СРЕДНИЕ ЗИМНИЕ И ЯНВАРСКИЕ ТЕМПЕРАТУРЫ ВОДЫ
TEMPERATURES MOYENNES DE L'EAU EN HIVER ET AU MOIS DE JANVIER



СХЕМАТИЧЕСКИЙ ПЛАН РЕКИ ДУНАЙ PLAN SCHÉMATIQUE DU DANUBE

СПИСОК ВОДОМЕРНЫХ ПОСТОВ

СПИСОК ВОДОМЕРНЫХ ПОСТОВ LISTE DES STATIONS HYDROMÉTRIQUES

- | | | | | |
|----|----------------------------------|--------------------------------------|----|------------------------------|
| 1 | Швабельвайс
Schwabelweis | Шпильц
Spitz | 29 | Палковичово
Palkovičovo |
| 2 | Штраубинг
Straubing | Штайн
Stein | 30 | Генър
Görög |
| 3 | Леггендорф
Deggendorf | Цвентендорф
Zwentendorf | 31 | Комаром
Komárom |
| 4 | Нидеральгейх
Niederalteich | Туллин
Tulln | 32 | Эстергом
Esztergom |
| 5 | Хофкирхен
Hofkirchen | Грайфенштайн
Greifenstein | 33 | Надьмарош
Nagyamaros |
| 6 | Фильскофен
Vilshofen | Кухелай
Kuchelau | 34 | Вац
Vác |
| 7 | Паскай
Passau | Вена-Рейхсбрюке
Wien-Reichsbrücke | 35 | Будапешт
Budapest |
| 8 | Энгельхартцелль
Engelhartzell | Фишаменд
Fischamend | 36 | Эрчи
Ercsi |
| 9 | Ашах
Aschach | Вильдунгсмаэр
Wildungsmauer | 37 | Адонь
Adony |
| 10 | Линц
Linz | Хайнбург
Hainburg | 38 | Дунайварош
Dunaujváros |
| 11 | Маярхайзен
Mauthausen | Братислава
Bratislava | 39 | Дунайфельдвар
Dunaújváros |
| 12 | Вальзе
Wallsee | Русовце
Rusovce | 40 | Пакш
Paks |
| 13 | Ибс
Ybbs | Доброштъ
Dobrohošt | 41 | Домбори
Dombori |
| 14 | Мельк
Melk | Дунаремете
Dunaremete | 42 | Байя
Baja |

200

СИСТОМЫ ВОДОМЕРНЫХ ПОСТОВ LISTE DES STATIONS HYDROMÉTRIQUES

- | | | | | |
|----|----------------------------------|--------------------------------------|----|----------------------------|
| 1 | Швабельвайс
Schwabelweis | Шпильц
Spitz | 29 | Палковичово
Palkovičovo |
| 2 | Штраубинг
Straubing | Штайн
Stein | 30 | Генър
Görög |
| 3 | Леггендорф
Deggendorf | Цвентендорф
Zwentendorf | 31 | Комаром
Komárom |
| 4 | Нидеральгейх
Niederalteich | Туллин
Tulln | 32 | Эстергом
Esztergom |
| 5 | Хофкирхен
Hofkirchen | Грайфенштайн
Greifenstein | 33 | Надьмарош
Nagyamaros |
| 6 | Фильскофен
Vilshofen | Кухелай
Kuchelau | 34 | Вац
Vács |
| 7 | Паскай
Passau | Вена-Рейхсбрюке
Wien-Reichsbrücke | 35 | Будапешт
Budapest |
| 8 | Энгельхартцелль
Engelhartzell | Фишаменд
Fischamend | 36 | Эрчи
Ercsi |
| 9 | Ашах
Aschach | Вильдунгсмаэр
Wildungsmauer | 37 | Адонь
Adony |
| 10 | Линц
Linz | Хайнбург
Hainburg | 38 | Дунайварош
Dunaujváros |
| 11 | Маярхайзен
Mauthausen | Братислава
Bratislava | 39 | Дунафйольда
Dunaöldvár |
| 12 | Вальзе
Wallsee | Русовце
Rusovce | 40 | Пакш
Paks |
| 13 | Ибс
Ybbs | Доброштъ
Dobrohošt | 41 | Домбори
Dombori |
| 14 | Мельк
Melk | Дунаремете
Dunaremete | 42 | Байя
Baja |

200

СИСТОМЫ ВОДОМЕРНЫХ ПОСТОВ LISTE DES STATIONS HYDROMÉTRIQUES

- | | | | | |
|----|----------------------------------|--------------------------------------|----|------------------------------|
| 1 | Швабельвайс
Schwabelweis | Шпильц
Spitz | 29 | Палковичово
Palkovičovo |
| 2 | Штраубинг
Straubing | Штайн
Stein | 30 | Генър
Görög |
| 3 | Леггендорф
Deggendorf | Цвентендорф
Zwentendorf | 31 | Комаром
Komárom |
| 4 | Нидеральгейх
Niederalteich | Туллин
Tulln | 32 | Эстергом
Esztergom |
| 5 | Хофкирхен
Hofkirchen | Грайфенштайн
Greifenstein | 33 | Надьмарош
Nagyamaros |
| 6 | Фильскофен
Vilshofen | Кухелай
Kuchelau | 34 | Вац
Vác |
| 7 | Паскай
Passau | Вена-Рейхсбрюке
Wien-Reichsbrücke | 35 | Будапешт
Budapest |
| 8 | Энгельхартцелль
Engelhartzell | Фишаменд
Fischamend | 36 | Эрчи
Ercsi |
| 9 | Ашах
Aschach | Вильдунгсмаэр
Wildungsmauer | 37 | Адонь
Adony |
| 10 | Линц
Linz | Хайнбург
Hainburg | 38 | Дунайварош
Dunaujváros |
| 11 | Маярхайзен
Mauthausen | Братислава
Bratislava | 39 | Дунайфельдвар
Dunaújváros |
| 12 | Вальзе
Wallsee | Русовце
Rusovce | 40 | Пакш
Paks |
| 13 | Ибс
Ybbs | Доброштъ
Dobrohošt | 41 | Домбори
Dombori |
| 14 | Мельк
Melk | Дунаремете
Dunaremete | 42 | Байя
Baja |

ВОДОМЕРНЫЙ ПОСТ
STATION HYDROMETRIQUE

ШВАБЕЛЬВЕЙС 2376' 1 КМ
SCHWABELWEIS km 2376' 1

ПРИЛОЖЕНИЕ № 2а
ANNEXE № 2a

ГОДЫ ANNÉES	1 XI	XII	I	II	III	2		
						a	b	c
1900 - 01			3 8	26 30	12 17	2 3	15	33 48
01 - 02						0	0 0	
02 - 03			14 24			11	0 11	
03 - 04	•	29 31				3	0 3	
04 - 05		2 4	14 18	24 26		8	0 8	
05 - 06		1 4		29 28		7	0 7	
06 - 07		22 31	3 7 11 17	26 28 30		15	0 15	
07 - 08	•		28	15 23	19 24 27	16	0 16	
08 - 09		15 31				51	0 51	
09 - 10			8 12 15 18	25 24 31 2	8 11 20 23	17	0 17	
1910 - 11					1 6	22	0 22	
11 - 12	•		14 18 26 30		19 22	6	0 6	
12 - 13			1 19 24 28	4 7		14	0 14	
13 - 14			29 31			18	0 18	
14 - 15						3	0 3	
15 - 16	•	28 2				5	0 5	
16 - 17			24		21	29	0 29	
17 - 18		5 7	14 7 10 11 18			19	0 19	
18 - 19				9 15		7	0 7	
19 - 20	•					0	0 0	
1920 - 21						0	0 0	
21 - 22		1 7 14 17	1 3		6 14	23	0 23	
22 - 23						0	0 0	
23 - 24	•	22 29 3 13		25		33	0 33	
24 - 25						0	0 0	
25 - 26		нет данных			pas de données			— — —
26 - 27		нет данных			pas de données			— — —
27 - 28	•					0	0 0	
28 - 29				13		2	39 41	
29 - 30		20 24			9 15	12	0 12	
1930 - 31			10 16		9 10	9	0 9	
31 - 32	•	1 2 5 6			11 16	10	0 10	
32 - 33			15 18 23 29 4			10	7 17	
33 - 34		5 16 23	12 20	3 8		21	14 35	
34 - 35				9 12		4	0 4	
35 - 36	•	22 25				4	0 4	
36 - 37			11 14			2	0 2	
37 - 38						0	0 0	
38 - 39		25 9				0	16 16	
39 - 40	•	29 30 2 13		5 8 13 17 23		20	32 52	
1940 - 41		19 20	5 12 24			9	13 22	
41 - 42		27 1 9 21			25	17	37 54	
42 - 43		6 18				13	0 13	
43 - 44	•		21		27 28	3	0 3	
44 - 45			15 21			7	0 7	
46 - 46		10 11	6 10 17 19 26 28			13	0 13	
46 - 47		17 26 5 7 13		13	5	14	39 53	
47 - 48	•					0	0 0	
48 - 49		21 30		3 7		15	0 15	
49 - 50			23	6		15	0 15	
1950 - 51				9 10		0	0 0	
51 - 52	•					0	0 0	
52 - 53						2	0 2	
53 - 54			11	25 2	23 24	19	22 41	
54 - 55		6 7				2	0 2	
55 - 56	•			1 22	2	11	20 31	
56 - 57			18 25			8	0 8	
57 - 58			28 31			4	0 4	
58 - 59						0	0 0	
59 - 60	•		14 19	9 12		10	0 10	
ПЕРИОД НАБЛЮДЕНИЯ : 58 ЛЕТ PERIODE D'OBSERVATION: 58 ANNÉES						СУММА ДНЕЙ NOMBRE TOTAL DE JOURS	272	850
						СУММА ЛЕТ NOMBRE TOTAL D'ANNÉES	11	47

УСЛОВНЫЕ ОБОЗНАЧЕНИЯ:
LEGENDE:

• ВИСОКОСНЫЕ ГОДЫ
• ANNEES BISEXTILES

а) ЧИСЛО ДНЕЙ С НАЛИЧИЕМ ЛЕДОХОДА
a) NOMBRE DES JOURS DE CHARRIAGE

б) ЧИСЛО ДНЕЙ С НАЛИЧИЕМ ЛЕДОСТАВА
b) NOMBRE DES JOURS DE PRISE DU FLEUVE

с) ЧИСЛО ДНЕЙ С НАЛИЧИЕМ ЛЬДА
c) NOMBRE DES JOURS AVEC PRESENCE DE GLACES

ТОНКАЯ ПОЛОСА УКАЗЫВАЕТ НАЛИЧИЕ ЛЕДОХОДА, А БОЛЕЕ ТОЛСТАЯ – НАЛИЧИЕ ЛЕДОСТАВА
LE TRAIT FIN INDIQUE LE CHARRIAGE ET LE TRAIT EPAIS, LA PRISE DU FLEUVE

ВОДОМЕРНЫЙ ПОСТ
STATION HYDROMETRIQUE

ВЕНА - НУСДОРФ
WIEN - NUSSDORF

1934 КМ
km 1934

ПРИЛОЖЕНИЕ № 2 б
ANNEXE № 2 b

ГОДЫ АННÉES	1	XI	XII	I	II	III	2		
							a	b	c
1900-01				5. 14 28	14	26			
01-02							22	16	38
02-03		25 23 25	9 18 21	18 25			0	0	0
03-04	•		30 12				29	0	29
04-05			1 7 15	25 28			14	0	14
05-06			3 7	26 28			22	0	22
06-07			22 3	23 28	8 10		8	0	8
07-08	•		4 9 11 13	23 25 26	4 6 11 20 25 28		13	0	13
08-09			29 4	11 13	1 1 20		16	0	16
09-10							33	0	33
1910-11				12 20	11 12		0	0	0
11-12	•			15 24	1 8		11	0	11
12-13				15 21	12	20 22	18	0	18
13-14				13	13		12	0	12
14-15							32	0	32
15-16	•	29 2					0	0	0
16-17				23 25			4	0	4
17-18			27 12	1 14			9	0	9
18-19					10 16		31	0	31
19-20	•						7	0	7
1920-21							0	0	0
21-22		2 7 16 17		24 31	8 16		2	0	2
22-23							25	0	25
23-24	•		25	10 15 17	26 28		0	0	0
24-25				28 30			23	0	23
25-26		6 11 18		14 20			4	0	4
26-27			25 29				14	0	14
27-28	•	20 25 30	6				5	0	5
28-29			22 25	9	11	15	14	0	14
29-30							37	33	70
1930-31				13 16	10 12		0	0	0
31-32	•	21 25		11 16 21 22	4		7	0	7
32-33				15 1			18	0	18
33-34		5 22	13 15	4 9			18	0	18
34-35			14 16 22 25	10 14			27	0	27
35-36	•						12	0	12
36-37			15 20 25 28				2	0	2
37-38			2 9				11	0	11
38-39		13 1 5 8					8	0	8
39-40	•		29	25		5	18	0	18
1940-41			18 28 2 8 10	21 29 31			26	42	68
41-42			30 2 13	28		5	33	0	33
42-43			8 16 21 24 28				20	36	56
43-44	•						14	0	14
44-45			6 7 11 14 17	1			0	0	0
45-46			7 11 18 20 25 30				23	0	23
46-47		17 27	5 9 14	25 1		9	16	0	16
47-48	•						23	42	65
48-49			27 30		3 5 6		0	0	0
49-50				25	7		8	0	8
1950-51							14	0	14
51-52	•						0	0	0
52-53							3	0	3
53-54			5 12	27	12 28 26		1	0	1
54-55							32	0	32
55-56	•						0	0	0
56-57							28	0	28
57-58				19 25	27 1		8	0	8
58-59							6	0	6
59-60	•			15 23	7 12		0	0	0
ПЕРИОД НАБЛЮДЕНИЯ: 58 ЛЕТ PERIODE D'OBSERVATION: 58 ANNEES				СУММА ДНЕЙ NOMBRE TOTAL DE JOURS			169	965	
				СУММА ЛЕТ NOMBRE TOTAL D'ANNEES			5	49	

ВОДОМЕРНЫЙ ПОСТ
STATION HYDROMETRIQUE

БРАТИСЛАВА 1868,8 КМ
BRATISLAVA km 1868,8

ПРИЛОЖЕНИЕ №
ANNEXE № 2 С

ГОДЫ ANNEES	1	XI	XII	I	II	III	2		
							a	b	c
1900 - 01				2 9	30 23	12 27			
01 - 02							25	22	47
02 - 03	20	28	6 14 20 21		16 28		0	0	0
03 - 04	•			30	14		31	7	38
04 - 05				1 8	15 29		16	0	16
05 - 06				1 8	24 26		22	0	22
06 - 07				21 5	22	17	14	0	14
07 - 08	•				26		43	0	43
08 - 09	17 18			26 4 6	11 13 23 35	5 6 11 19 22 28	24	0	24
09 - 10							31	10	41
1910 - 11				12 21	1 16		0	0	0
11 - 12	•			5	25 2		26	0	26
12 - 13				14 21 32 2		20 23	29	0	29
13 - 14				11		15	15	0	15
14 - 15					31 5		36	0	36
15 - 16	•	26 2					6	0	6
16 - 17				23		22	4	0	4
17 - 18				26 14			31	0	31
18 - 19					9 16		20	0	20
19 - 20	•						8	0	8
1920 - 21							0	0	0
21 - 22	2 7	15 17		24 2	2 7 19		0	0	0
22 - 23							30	0	30
23 - 24	•	26		18 26 3		26 25	0	0	0
24 - 25				26 31			37	0	37
25 - 26		5 14 17 18		13 25			4	0	4
26 - 27				25 26			25	0	25
27 - 28	•	19 22		11 12			4	21	25
28 - 29				24 23	9	5	40	40	80
29 - 30						12 16	5	0	5
1930 - 31				13 15		11 17 24 22 26	6	0	6
31 - 32	•	21 26				4	23	0	23
32 - 33				16	31		16	0	16
33 - 34		11 19 28		13 15	7		31	11	42
34 - 35				10 25	9 18		24	0	24
35 - 36	•	22 24			11 16		9	0	9
36 - 37				14	5		22	0	22
37 - 38		28	10				14	0	14
38 - 39		18 26	14 18				12	21	33
39 - 40	•		1 11			10 11	11	60	71
1940 - 41		17 21	5 20 30 3 5 8				40	0	40
41 - 42		29 5 11 24				6 10	25	42	67
42 - 43		6	23				24	0	24
43 - 44	•						0	0	0
44 - 45		25		3			41	0	41
45 - 46			7 12 16 30				21	0	21
46 - 47		13 28	20 26			10 14	20	68	88
47 - 48	•						0	0	0
48 - 49		27 2		3 7		6	13	0	13
49 - 50				23 8			17	0	17
1950 - 51							0	0	0
51 - 52	•			29 31			3	0	3
52 - 53					9 10		2	0	2
53 - 54		4 16 27 5				5	22	29	51
54 - 55							0	0	0
55 - 56	•			31	18		18	16	36
56 - 57		31	21 29				9	0	9
57 - 58			28 2				6	0	6
58 - 59				13 15			3	0	3
59 - 60	•	1 22	4 11				17	0	17

ПЕРИОД НАБЛЮДЕНИЯ: 60 ЛЕТ
PERIODE D'OBSERVATION: 60 ANNEES

СУММА ДНЕЙ
NOMBRE TOTAL DE JOURS
СУММА ЛЕТ
NOMBRE TOTAL D'ANNEES

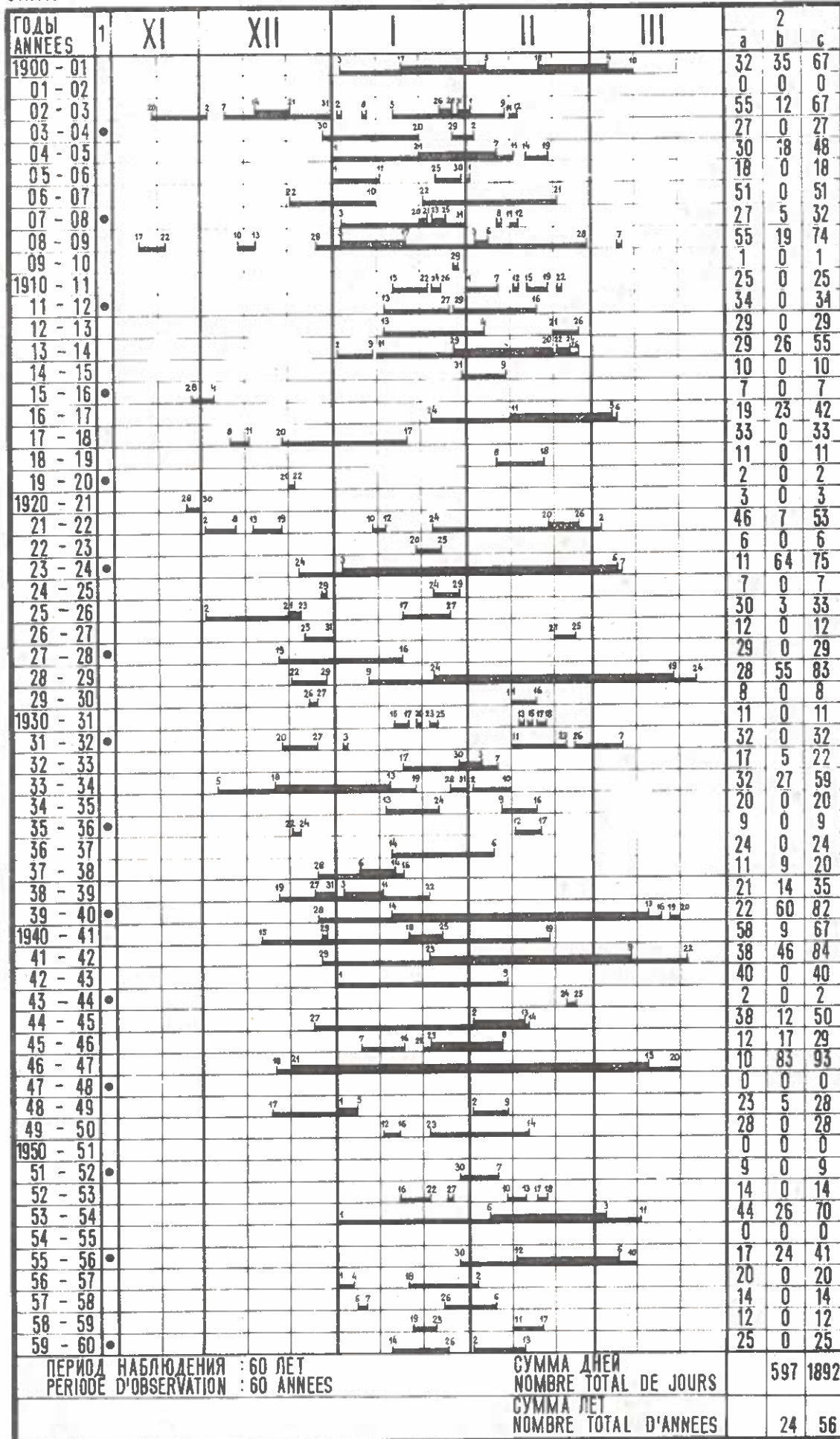
979	347	1326
12	51	

ВОДОМЕРНЫЙ ПОСТ
STATION HYDROMETRIQUE

БУДАПЕШТ
BUDAPEST

1647 КМ
km 1647

ПРИЛОЖЕНИЕ № 2 д
ANNEXE № 2 d



Годы ANNÉES	1	XI	XII													2						
				a	b	c																
1900 - 01				3	16		7	11	15	28	40	11			34	24	58					
01 - 02				29	4	7	16	25	26	28	8	19	14	5	9	11	12	0	0	0		
02 - 03					5		15	25	29	30	3							55	0	55		
03 - 04					4	7	9	13	15	24								20	0	20		
04 - 05					4	6	8	17	16	7	25	4						24	30	54		
05 - 06					23		15	15						25	3			21	0	21		
06 - 07						6	18	22				9	11	15				65	0	65		
07 - 08					31	8	12	14	16	21	3	9						37	0	37		
08 - 09																		48	0	48		
09 - 10																		0	0	0		
1910 - 11							20		2		17	14	15	22	25			22	0	22		
11 - 12							14	23	29	6	14	16	21	22				24	0	24		
12 - 13							16	25	30	2			20					15	0	15		
13 - 14							6						22	24	20	2			51	1	52	
14 - 15											3	9						7	0	7		
15 - 16																		4	0	4		
16 - 17								29				28	3	5		15	16		37	0	37	
17 - 18					14	25		21	26	27								31	0	31		
18 - 19			Нет данных																
19 - 20			Нет данных																
1920 - 21																		0	0	0		
21 - 22					6	7	15	21			16	17	23	31	9	15	25	4	5	32	13	45
22 - 23											24							1	0	1		
23 - 24											28	30	13	23	1	3	4	18	13	26	26	63
24 - 25												26	34					5	0	5		
25 - 26											5							24	0	24		
26 - 27											9	4						2	0	2		
27 - 28											18	22	27	30				8	6	14		
28 - 29											26	29	10	26				30	49	79		
29 - 30																		0	0	0		
1930 - 31																		0	0	0		
31 - 32																		20	0	20		
32 - 33																		15	8	23		
33 - 34					9	11	25	4	6			12	30	4	13			32	0	32		
34 - 35							10					25	25	28	31	9	14	16	23	26	8	34
35 - 36																		0	0	0		
36 - 37													15	23	27	14	14	15	16	16	5	21
37 - 38											30	30	15	15	22	24			17	0	17	
38 - 39											24	14							23	0	23	
39 - 40												14							19	61	80	
1940 - 41											17	30	11	31		20	23		38	0	38	
41 - 42											29	3	24						26	48	74	
42 - 43												7	17		5	14			19	20	39	
43 - 44																		0	0	0		
44 - 45			Нет данных																
45 - 46												17	12	5	9				19	5	24	
46 - 47												23							24	64	88	
47 - 48																		0	0	0		
48 - 49											21	31	12	3	9				19	0	19	
49 - 50												25	29	2	5	7	15	18		11	5	16
1950 - 51																			0	0	0	
51 - 52																			0	0	0	
52 - 53													21	24		16	20			7	0	7
53 - 54													25	7		4	13			22	57	79
54 - 55																			0	0	0	
55 - 56																			16	30	46	
56 - 57													20	28	30	2	7			17	0	17
57 - 58													26	7						12	0	12
58 - 59													18	22		13	20			13	0	13
59 - 60													14	23	25	26	27			57	3	60

ПЕРИОД НАБЛЮДЕНИЯ : 57 ЛЕТ
PERIODE D'OBSERVATION : 57 ANNEES

СУММА ДНЕЙ
NOMBRE TOTAL DE JOURS

463 1565

СУММА ЛЕТ
NOMBRE TOTAL D'ANNEES

19 46

ВОДОМЕРНЫЙ ПОСТ

ДЖУРДЖУ
GIURGIU

493 КМ

ПРИЛОЖЕНИЕ № 2 f
ANNEXE № 2

STATION HYDROMETRIQUE

km 493

Годы ANNÉES	XI	XII	I	II	III	2
	a	b	c			
1900 - 01			21	6		17
01 - 02						0 0 0
02 - 03	7 45	9	24 29			12 28 40
03 - 04		10 49				10 0 10
04 - 05		4 25			5 40	26 40 66
05 - 06	4 7 9					6 0 6
06 - 07	28 8	22	7		6 10	32 28 60
07 - 08	9 20					13 0 13
08 - 09	30 10 12 16 17 18 24			12 13 16		17 50 67
09 - 10				1 15 25 26		0 0 0
1910 - 11						15 11 26
11 - 12		14	13 15			32 0 32
12 - 13		19 21 31	15			7 0 7
13 - 14		25 28	24 28			20 27 47
14 - 15						0 0 0
15 - 16			4 5 9 16			10 0 10
16 - 17	Нет Данных		Pas de données		
17 - 18	Нет Данных		Pas de données		
18 - 19			4 5 9 17			11 0 11
19 - 20						0 0 0
1920 - 21	15 19 20					3 0 3
21 - 22	25 15 26	22	4	25 26 3		29 22 51
22 - 23		23 24				2 0 2
23 - 24		1 24 25		29 5,7		13 36 49
24 - 25			25 30			6 0 6
25 - 26	11 15 26	25 26				19 0 19
26 - 27				22 27		6 0 6
27 - 28	19 3	20 25	5 9			22 19 51
28 - 29		11 30		20 26		25 50 75
29 - 30						0 0 0
1930 - 31						0 0 0
31 - 32	21 29 27 13 5		6 8 11 20			27 21 48
32 - 33		13 29	42 13			17 15 32
33 - 34	5 17 30 3 9 14 18 21 23 26	13 10 16 18				49 0 49
34 - 35	8	3 8 9 12 16 20 27				38 1 39
35 - 36						0 0 0
36 - 37		17 28	5 18			24 9 33
37 - 38	4 15 19 20 21					16 0 16
38 - 39	18 29 34 13					25 0 25
39 - 40	31 15			48		20 59 79
1940 - 41	23	21 28 1				33 8 41
41 - 42	31	20		22 13		21 52 73
42 - 43		11 21	15 17			12 26 38
43 - 44		19 23		23 26		10 0 10
44 - 45	5 17 20		16			41 0 41
45 - 46	10 21 29	17 1	10			32 10 42
46 - 47	19 30 6			2 6		23 54 77
47 - 48						0 0 0
48 - 49	15 26	27 25	4 9			21 27 48
49 - 50		12 17 21 27	22			17 23 40
1950 - 51						0 0 0
51 - 52						0 0 0
52 - 53						0 0 0
53 - 54	21	7		16 18		19 69 88
54 - 55						0 0 0
55 - 56			5	6		31 0 31
56 - 57		18 26				9 0 9
57 - 58						0 0 0
58 - 59			16			1 0 1
59 - 60		24 28 3	15			18 0 18

ПЕРИОД НАБЛЮДЕНИЯ : 58 ЛЕТ
PERIODE D'OBSERVATION : 58 ANNEESСУММА ДНЕЙ
NOMBRE TOTAL DE JOURS

700 1542

СУММА ЛЕТ
NOMBRE TOTAL D'ANNEES

23 45

ВОДОМЕРНЫЙ ПОСТ

БРАИЛА
BRĂILA

170 км

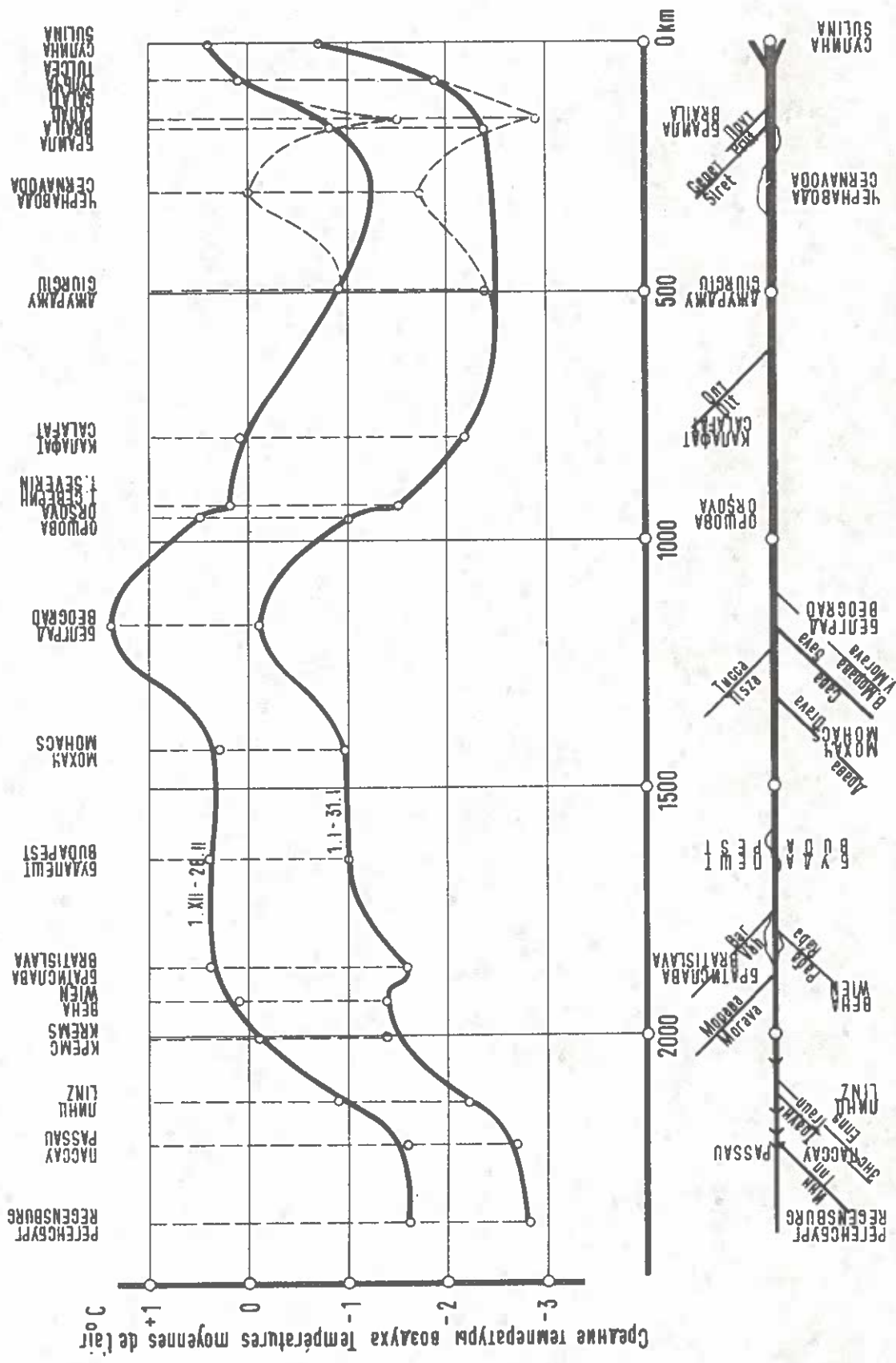
ПРИЛОЖЕНИЕ № 29
ANNEXE № 29

STATION HYDROMETRIQUE

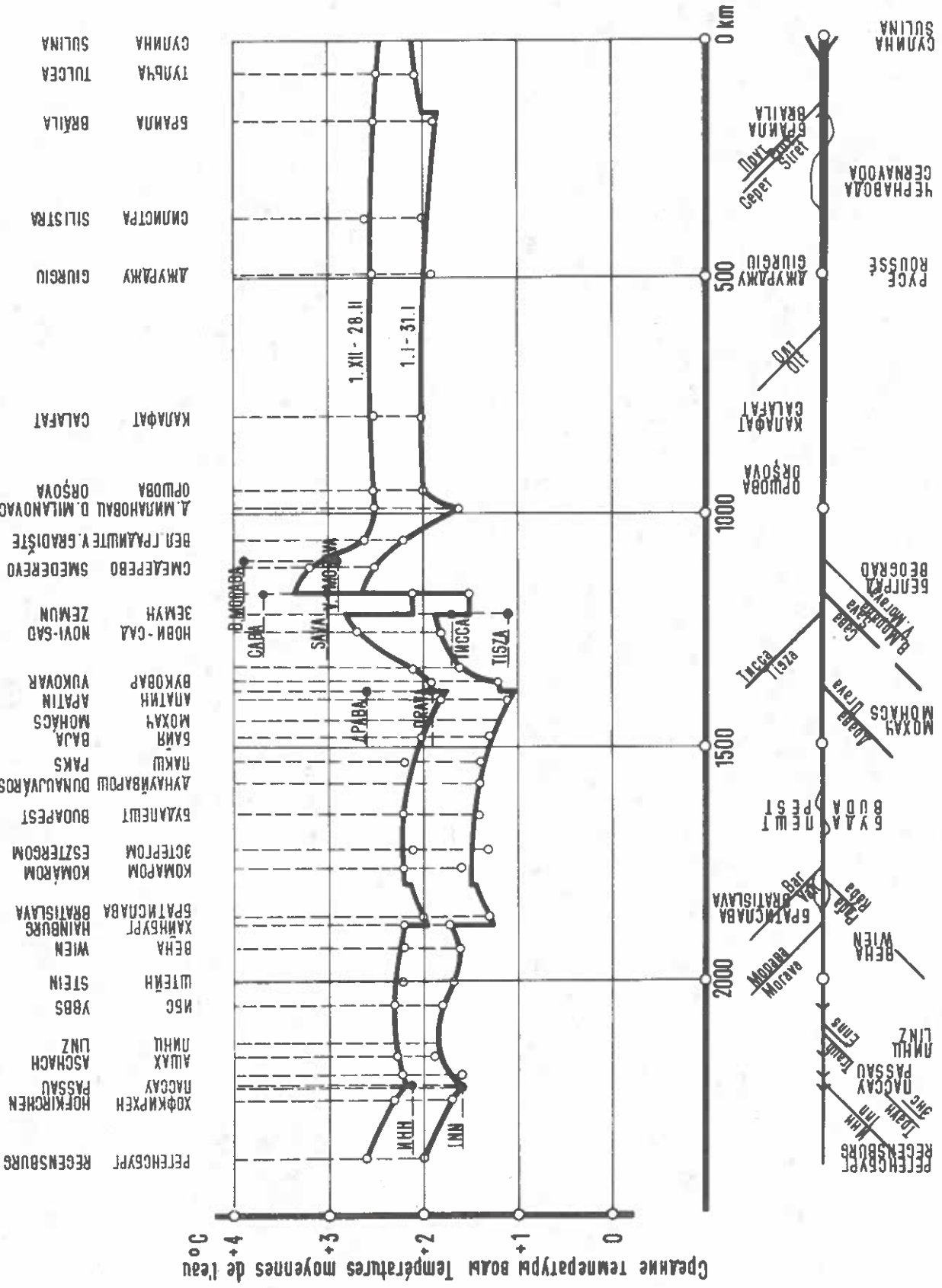
km 170

ГОДЫ АННÉES	1	XI	XII	I	II	III	2		
							a	b	c
1900 - 01				21	9	14	21 16 26	5	
01 - 02								15	20 35
02 - 03			7 3		24 25	4		0	0 0
03 - 04				10 19				3	70 73
04 - 05			3 4					10	0 10
05 - 06			16 29	5				11	60 71
06 - 07				3 15 21 26				9	20 29
07 - 08				1 16	7	10		22	60 82
08 - 09			29 31					20	18 38
09 - 10								9	74 83
1910 - 11				31 9	24	4		0	0 0
11 - 12			14 15 17 19		23			17	16 33
12 - 13			47		8	10 26		7	34 41
13 - 14			42 23		23	3		32	0 32
14 - 15								19	32 51
15 - 16			Нет данных		Pas de données			0	0 0
16 - 17			Нет данных		Pas de données			2	0 2
17 - 18			Нет данных		Pas de données			14	52 66
18 - 19			Нет данных		Pas de données			3	0 3
19 - 20			Нет данных		Pas de données			10	42 52
1920 - 21			23 26					24	56 80
21 - 22			46 23 25 31 3	10	24 26	26 25 7		0	0 0
22 - 23					16 18			8	0 8
23 - 24			2 4 9	21 22 28 1		9 12		26	46 72
24 - 25			Нет данных		Pas de données			4	47 51
25 - 26			10 12 14 16 22 26 28	23 27				11	73 84
26 - 27					23 1			12	40 52
27 - 28			20 24 29		4 18 29 1			0	0 0
28 - 29				29				13	50 63
29 - 30								24	56 80
1930 - 31				5 8	*			0	0 0
31 - 32			16 17 21 30	6 9	5 11			8	0 8
32 - 33				9 16				23	41 64
33 - 34			15 25			7 8		22	64 86
34 - 35						14 18		3	44 47
35 - 36								11	0 11
36 - 37				15 18		22 25		29	0 29
37 - 38				4 12 31 4				27	26 53
38 - 39			20	29				19	62 81
39 - 40			37 10			15 23		0	0 0
1940 - 41			19		15	22		27	26 53
41 - 42			36	15		19 25		14	30 44
42 - 43				1 11		21 23 25		5	0 5
43 - 44				9 10 23 25		23 28		0	0 0
44 - 45				9 6 11 12 15 20 25	5	11 13		8	83 91
45 - 46			41 19 27 28 35	18 21 11 14 20	4			0	0 0
46 - 47			19 21 23	3				14	0 14
47 - 48			16 19 23 28 31	17 14 11 20				2	0 2
48 - 49				12 20	19 23 26 28			8	0 8
49 - 50					13 18			15	0 15
1950 - 51					3 7				
51 - 52									
52 - 53									
53 - 54			22 25 29			21 25			
54 - 55									
55 - 56									
56 - 57			3 2	18 27 2	2				
57 - 58				30 31					
58 - 59				30 31	13 18				
59 - 60				28 29 3	9 17 22				
ПЕРИОД НАБЛЮДЕНИЯ : 54 ГОДА PERIODE D'OBSERVATION : 54 ANNÉES							СУММА ДНЕЙ NOMBRE TOTAL DE JOURS	1360	1988
							СУММА ЛЕТ NOMBRE TOTAL D'ANNÉES	30	45

СРЕДНИЕ ЗИМНИЕ И ЯНВАРСКИЕ ТЕМПЕРАТУРЫ ВОЗДУХА (1941-1960 ГГ.)
TEMPERATURES MOYENNES DE L'AIR EN HIVER ET AU MOIS DE JANVIER (1941 - 1960)

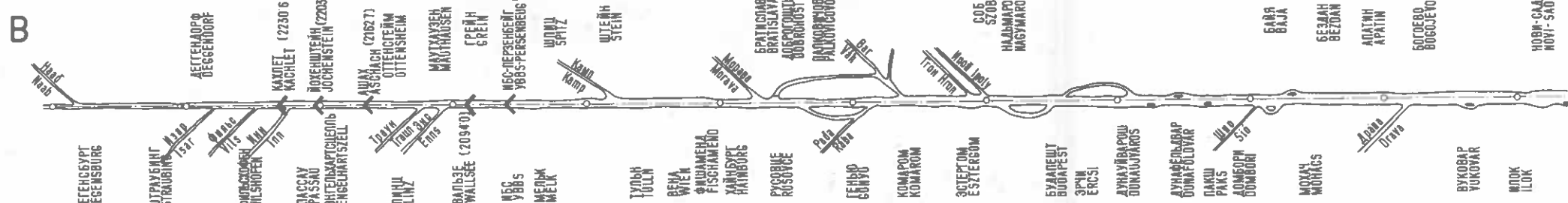
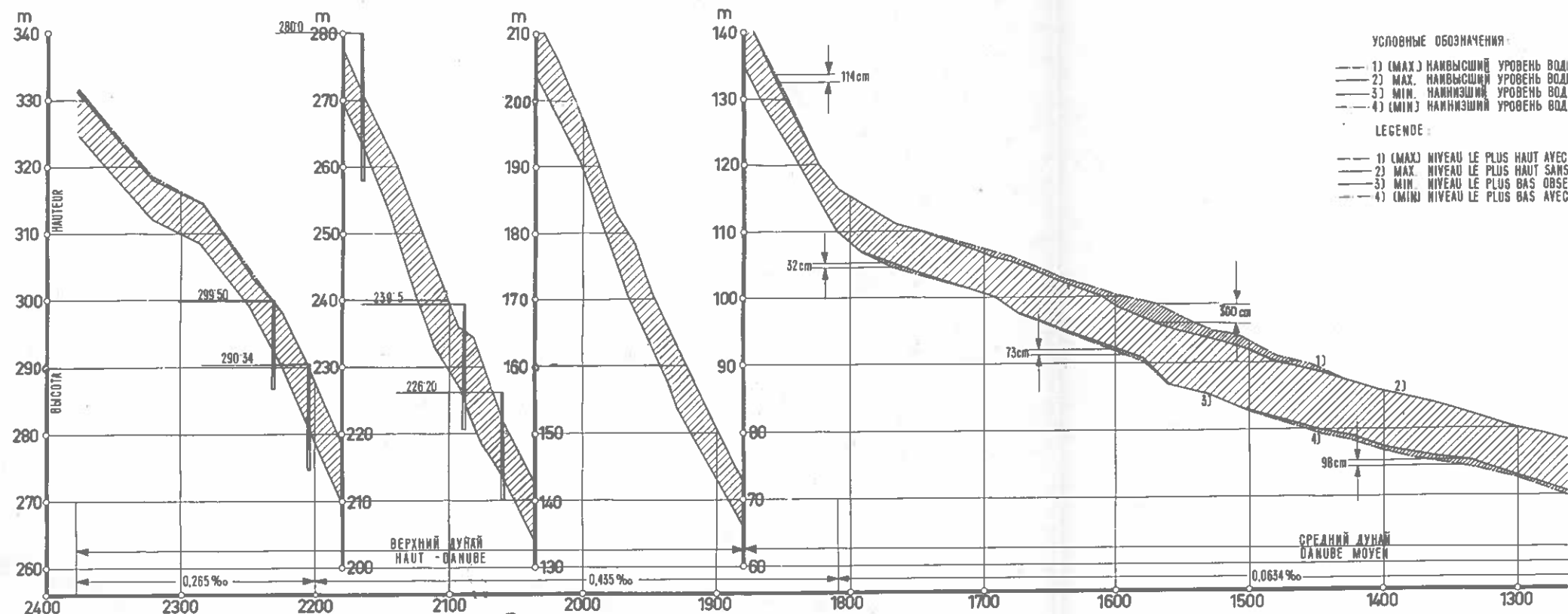


СРЕДНИЕ ЗИМНИЕ И ЯНВАРСКИЕ ТЕМПЕРАТУРЫ ВОДЫ
TEMPERATURES MOYENNES DE L'EAU EN HIVER ET AU MOIS DE JANVIER

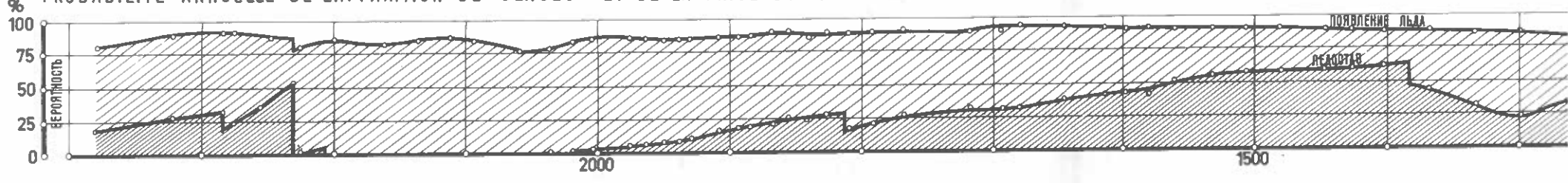


ХАРАКТЕРИСТИКИ ЛЕДОВОГО РЕЖИМА РЕКИ ДУНАЙ CARACTERISTIQUES DU REGIME DES GLACES DU DANUBE

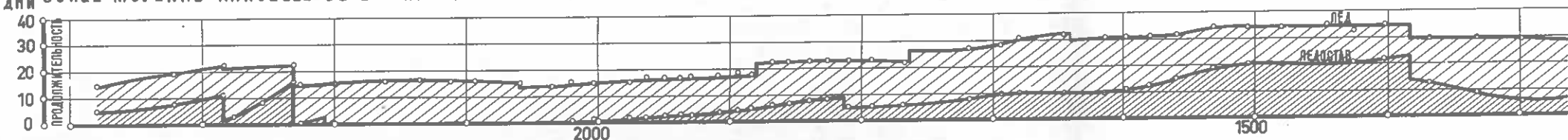
A ПРОДОЛЬНЫЙ ПРОФИЛЬ ХАРАКТЕРНЫХ УРОВНЕЙ ВОДЫ
PROFIL EN LONG DES NIVEAUX D'EAU CARACTERISTIQUES



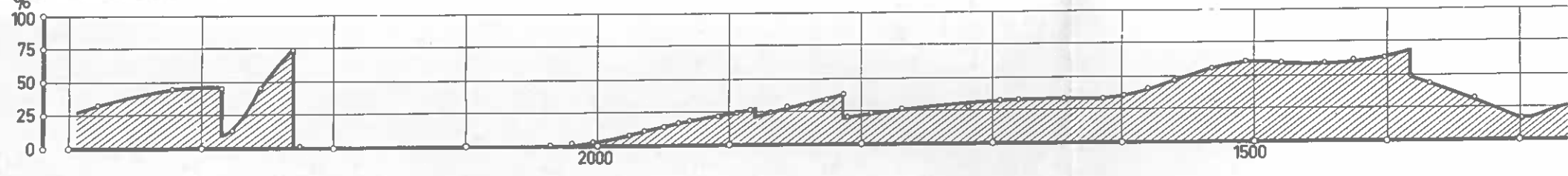
C ГОДОВАЯ ВЕРОЯТНОСТЬ ПОЯВЛЕНИЯ ЛЬДА И НАСТУПЛЕНИЯ ЛЕДОСТАВА
PROBABILITE ANNUELLE DE L'APPARITION DE GLACES ET DE LA PRISE DU FLEUVE



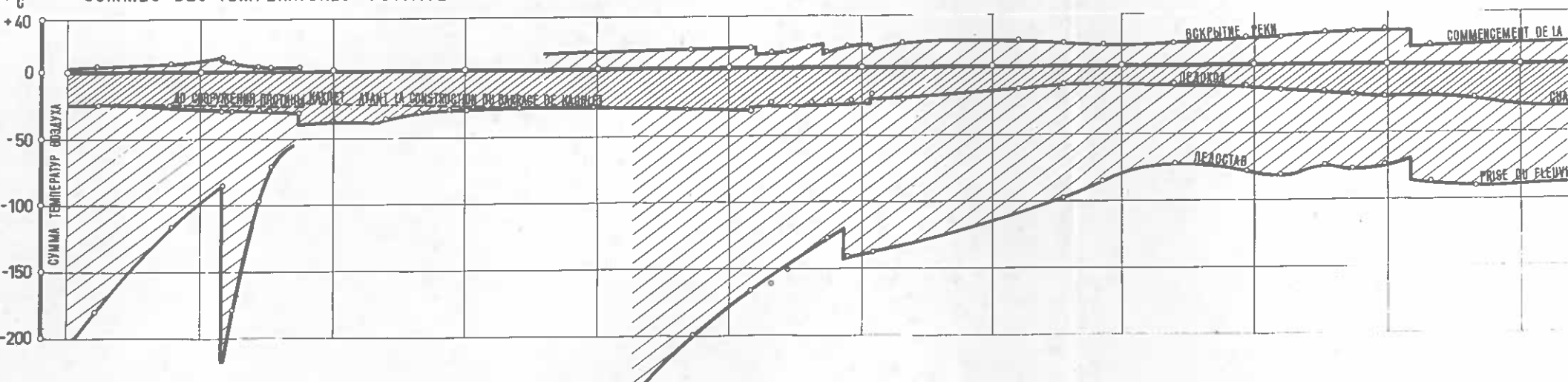
D СРЕДНЯЯ ГОДОВАЯ ПРОДОЛЖИТЕЛЬНОСТЬ НАЛИЧИЯ ЛЬДА И ЛЕДОСТАВА
DUREE MOYENNE ANNUELLE DE LA PRESENCE DE GLACES ET DE LA PRISE DU FLEUVE

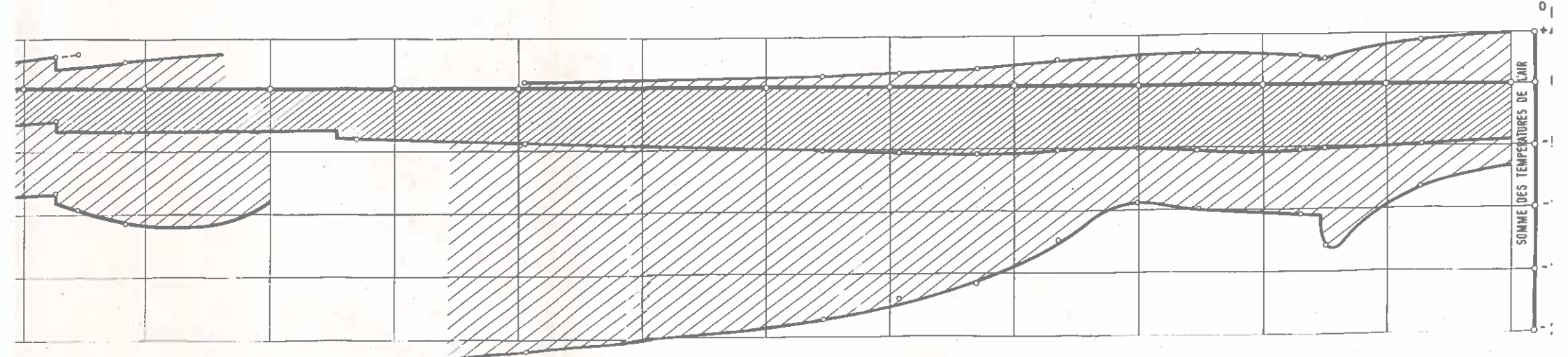
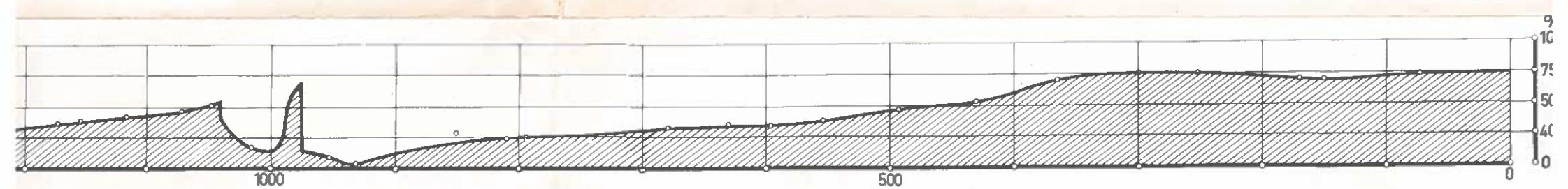
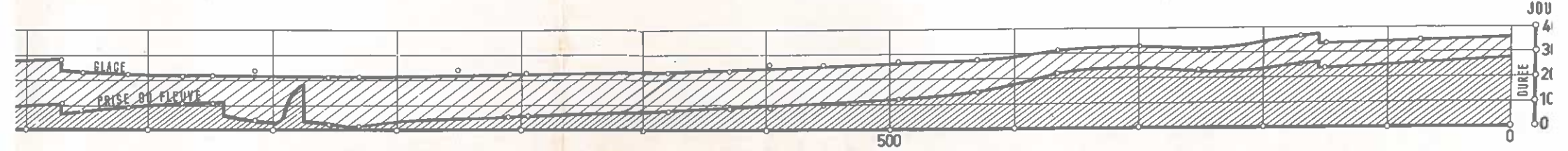
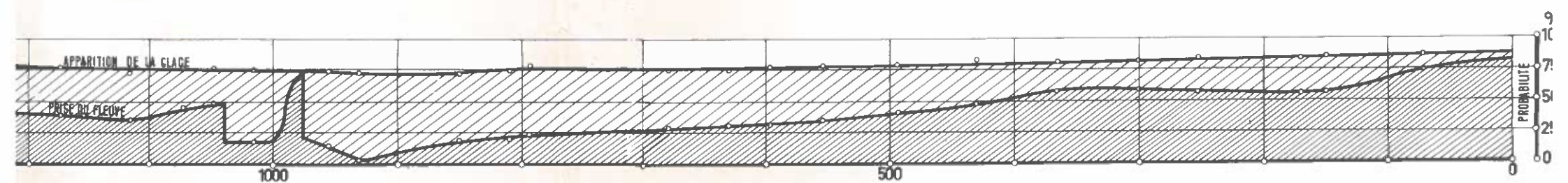
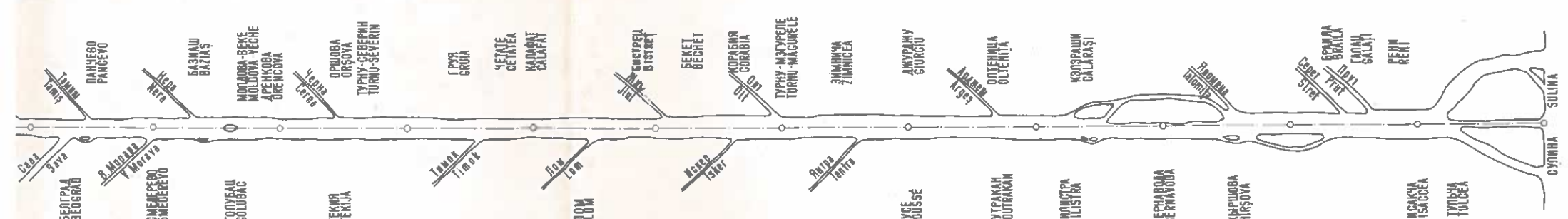
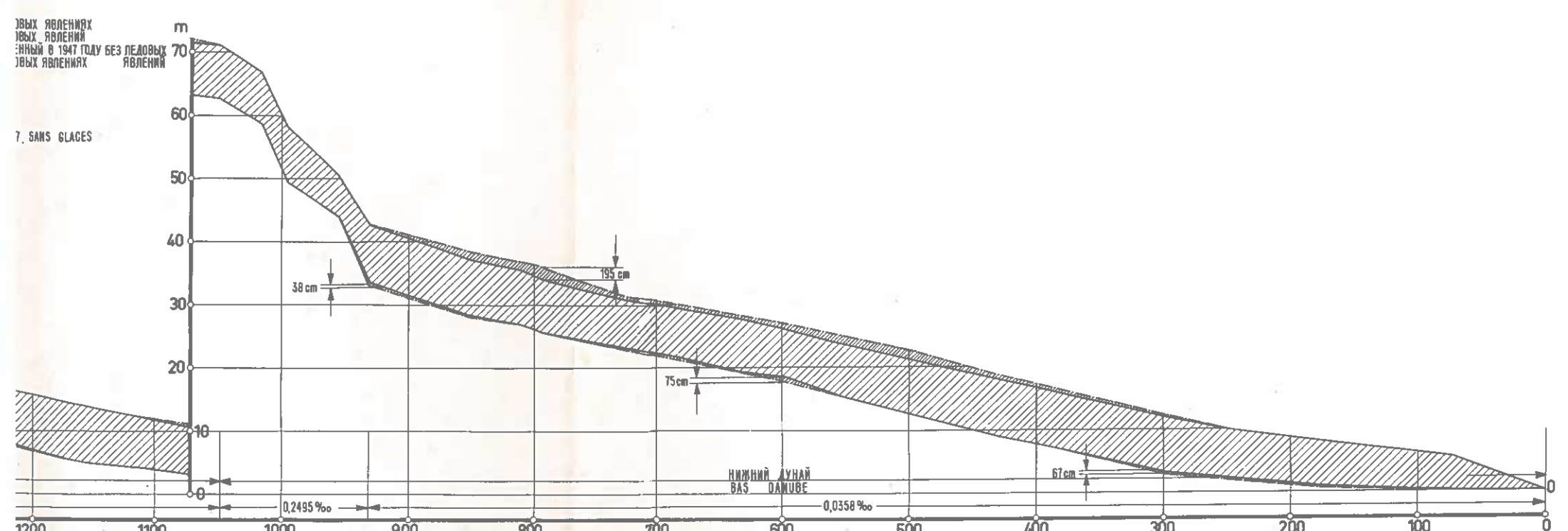


E ПОКАЗАТЕЛЬ ЛЕДОСТАВА
INIQUE DE LA PRISE DU FLEUVE



F СУММЫ ПОЛОЖИТЕЛЬНЫХ И ОТРИЦАТЕЛЬНЫХ ТЕМПЕРАТУР
SOMMES DES TEMPERATURES POSITIVES ET NEGATIVES

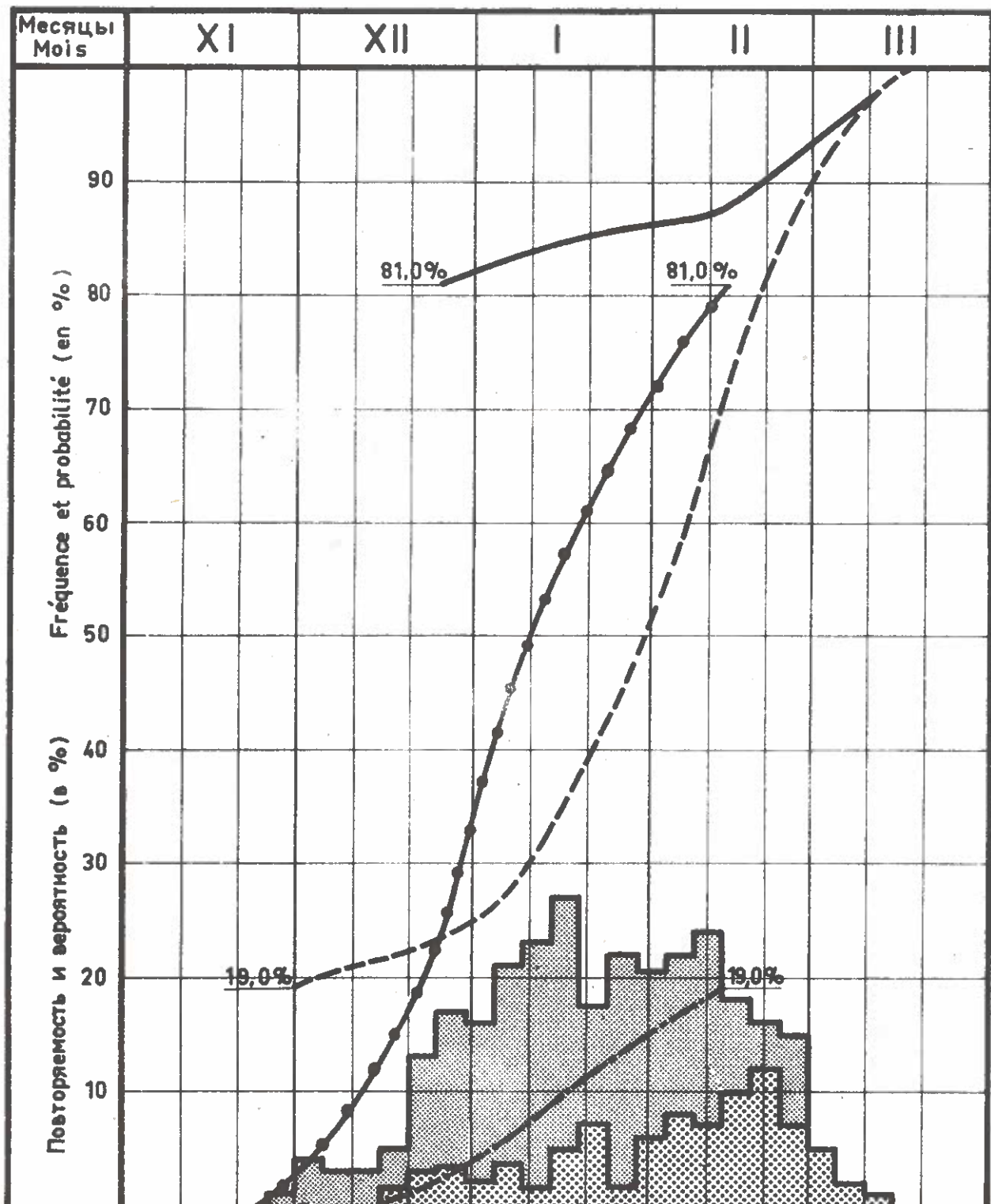




ПОВТОРЯЕМОСТЬ ЛЕДОВЫХ ЯВЛЕНИЙ И ИХ ВЕРОЯТНОСТЬ
FRÉQUENCES ET PROBABILITÉS DES DIVERS PHÉNOMÈNES DE GLACES

Водомерный пост ШВАБЕЛЬВЕЙС 2379,1 км

Station hydrométrique SCHWABELWEIS km 2379,1



Повторяемость наличия льда
Fréquence de la présence de glaces

Повторяемость наличия ледостава
Fréquence de la prise du fleuve

Вероятность наступления ледостава
Probabilité de la prise du fleuve

Вероятность полного очищения реки от льда
Probabilité de la disparition définitive de la glace

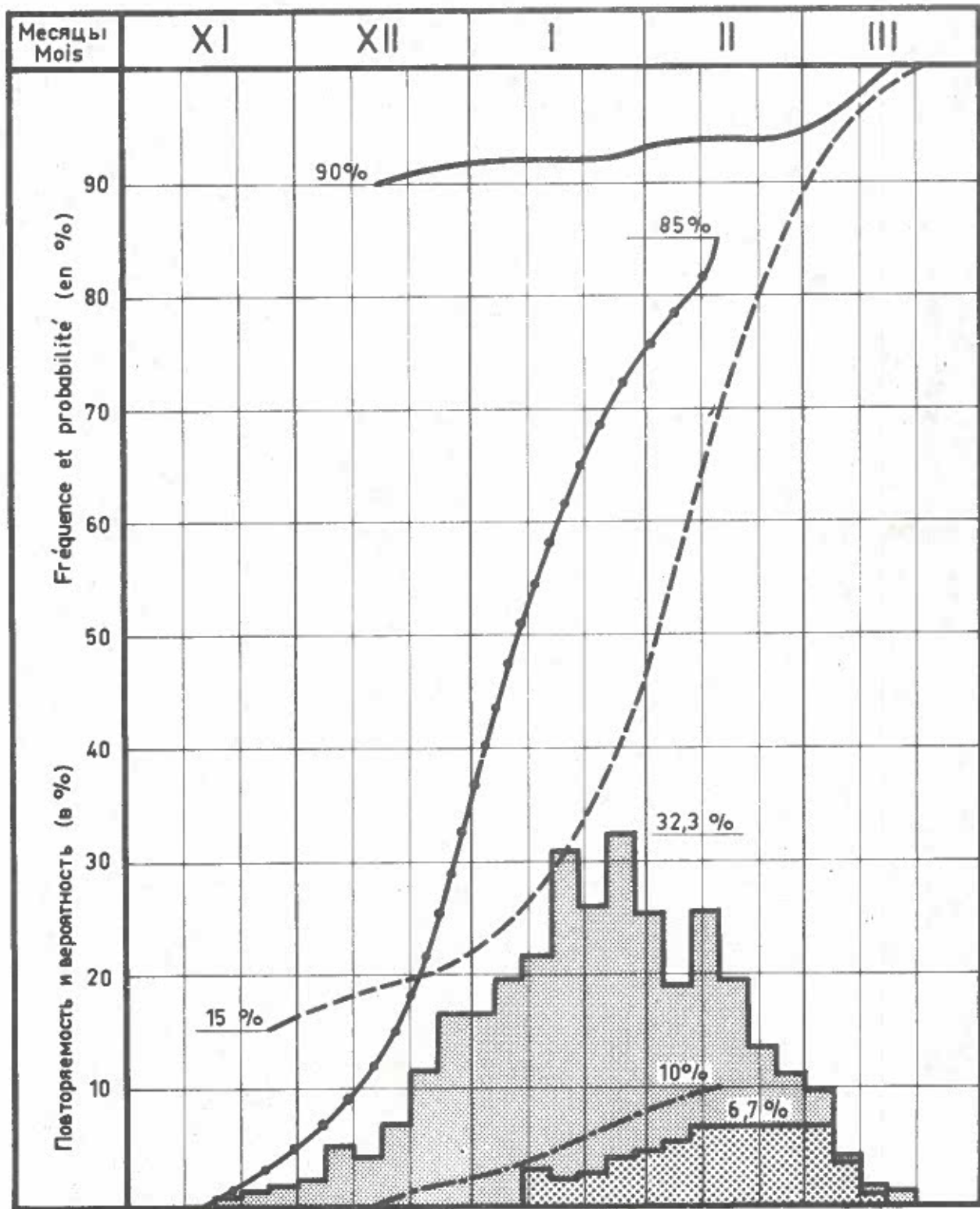
Вероятность полного вскрытия реки
Probabilité de la rupture définitive de la couche de glace

Вероятность первого появления льда
Probabilité de la première apparition des glaces

ПОВТОРЯЕМОСТЬ ЛЕДОВЫХ ЯВЛЕНИЙ И ИХ ВЕРОЯТНОСТЬ
FRÉQUENCES ET PROBABILITÉS DES DIVERS PHÉNOMÈNES DE GLACES

Водомерный пост BEHA 1929 км

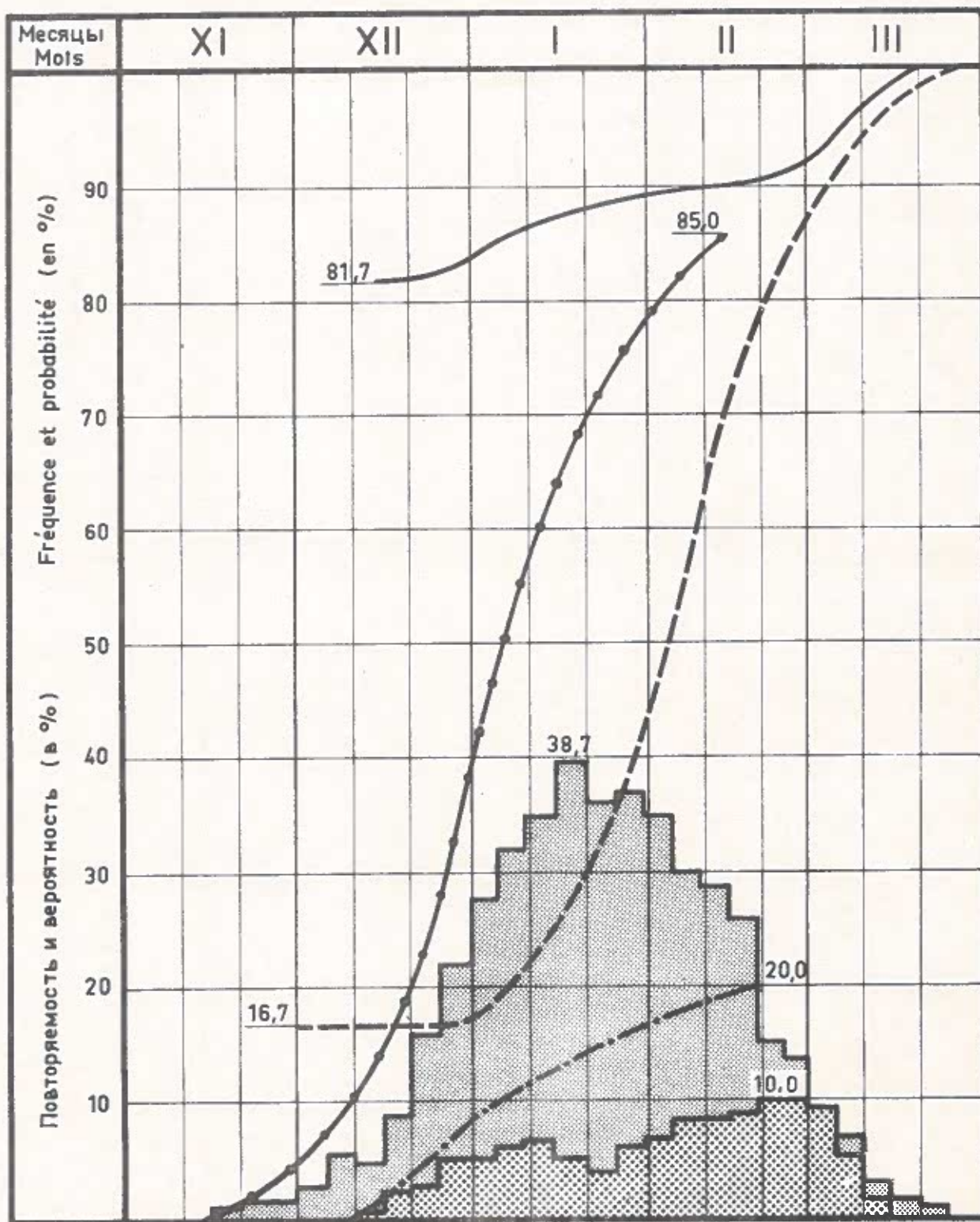
Station hydrométrique WIEN km 1929



ПОВТОРЯЕМОСТЬ ЛЕДОВЫХ ЯВЛЕНИЙ И ИХ ВЕРОЯТНОСТЬ
FRÉQUENCES ET PROBABILITÉS DES DIVERS PHÉNOMÈNES DE GLACES

Водомерный пост БРАТИСЛАВА 1868 км

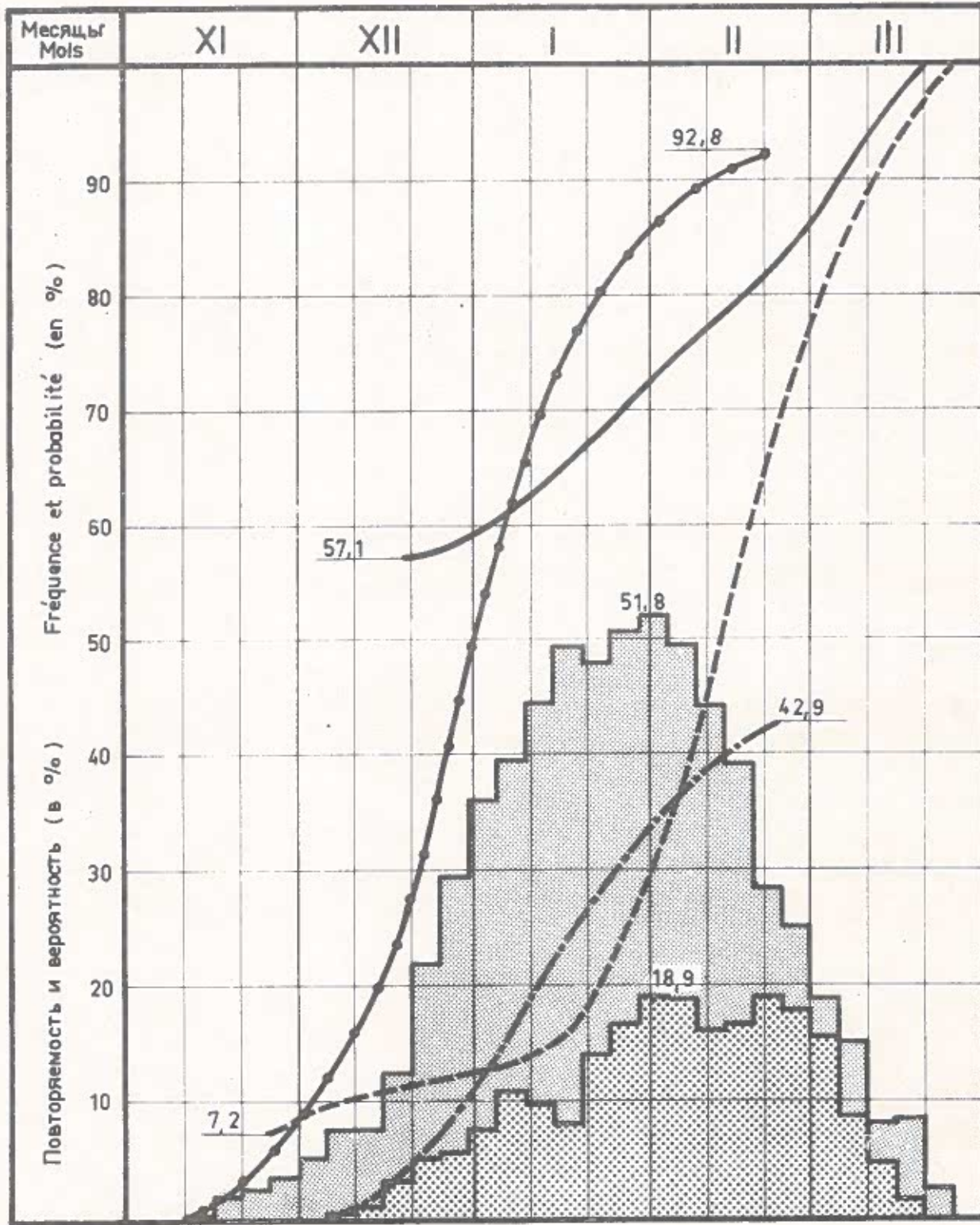
Station hydrométrique BRATISLAVA km 1868.



ПОВТОРЯЕМОСТЬ ЛЕДОВЫХ ЯВЛЕНИЙ И ИХ ВЕРОЯТНОСТЬ
FRÉQUENCES ET PROBABILITÉS DES DIVERS PHÉNOMÈNES DE GLACES

Водомерный пост БУДАПЕШТ 1646 км

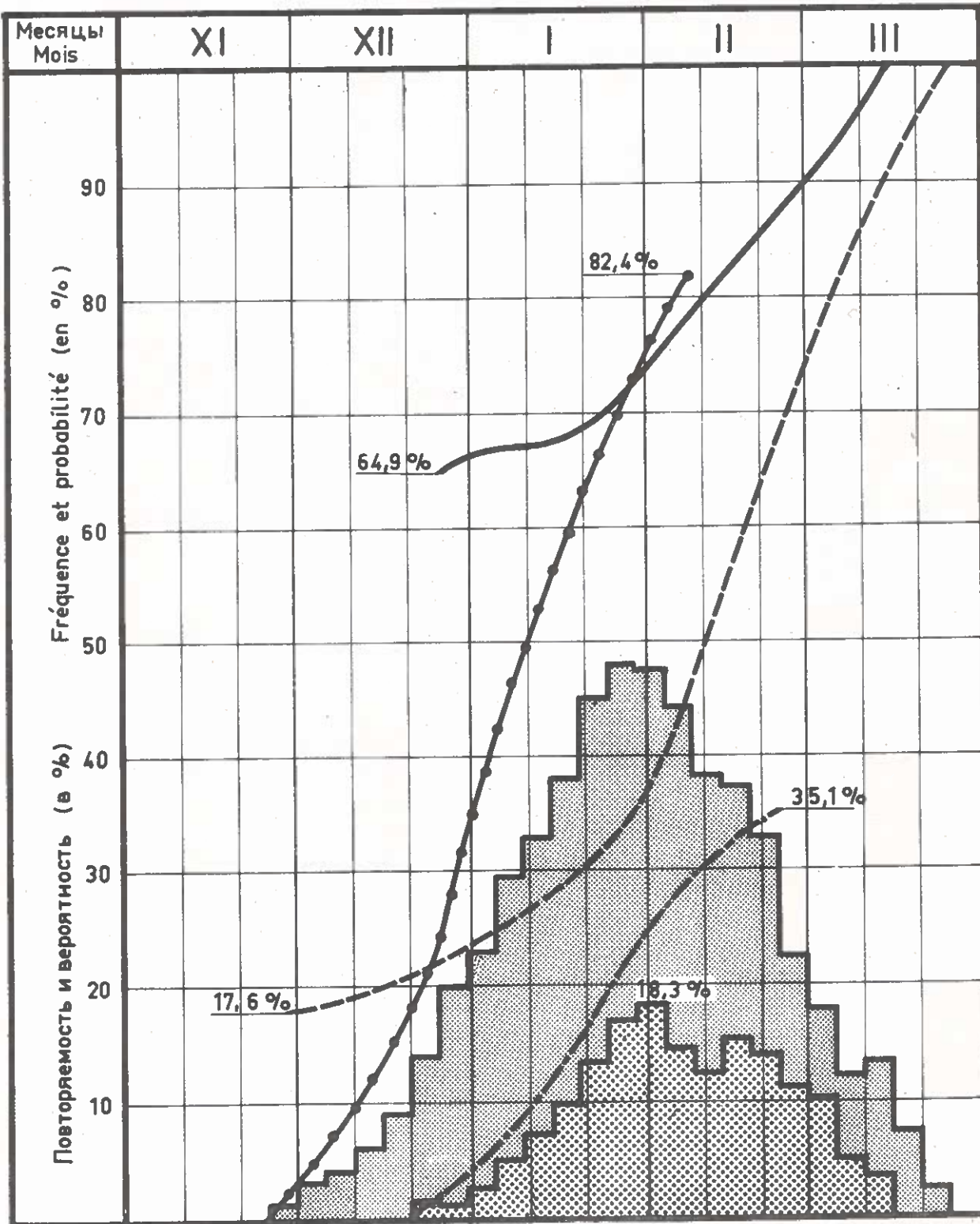
Station hydrométrique BUDAPEST km 1646



ПОВТОРЯЕМОСТЬ ЛЕДОВЫХ ЯВЛЕНИЙ И ИХ ВЕРОЯТНОСТЬ
FRÉQUENCES ET PROBABILITÉS DES DIVERS PHÉNOMÈNES DE GLACES

Водомерный пост НОВИ-САД 1255 км

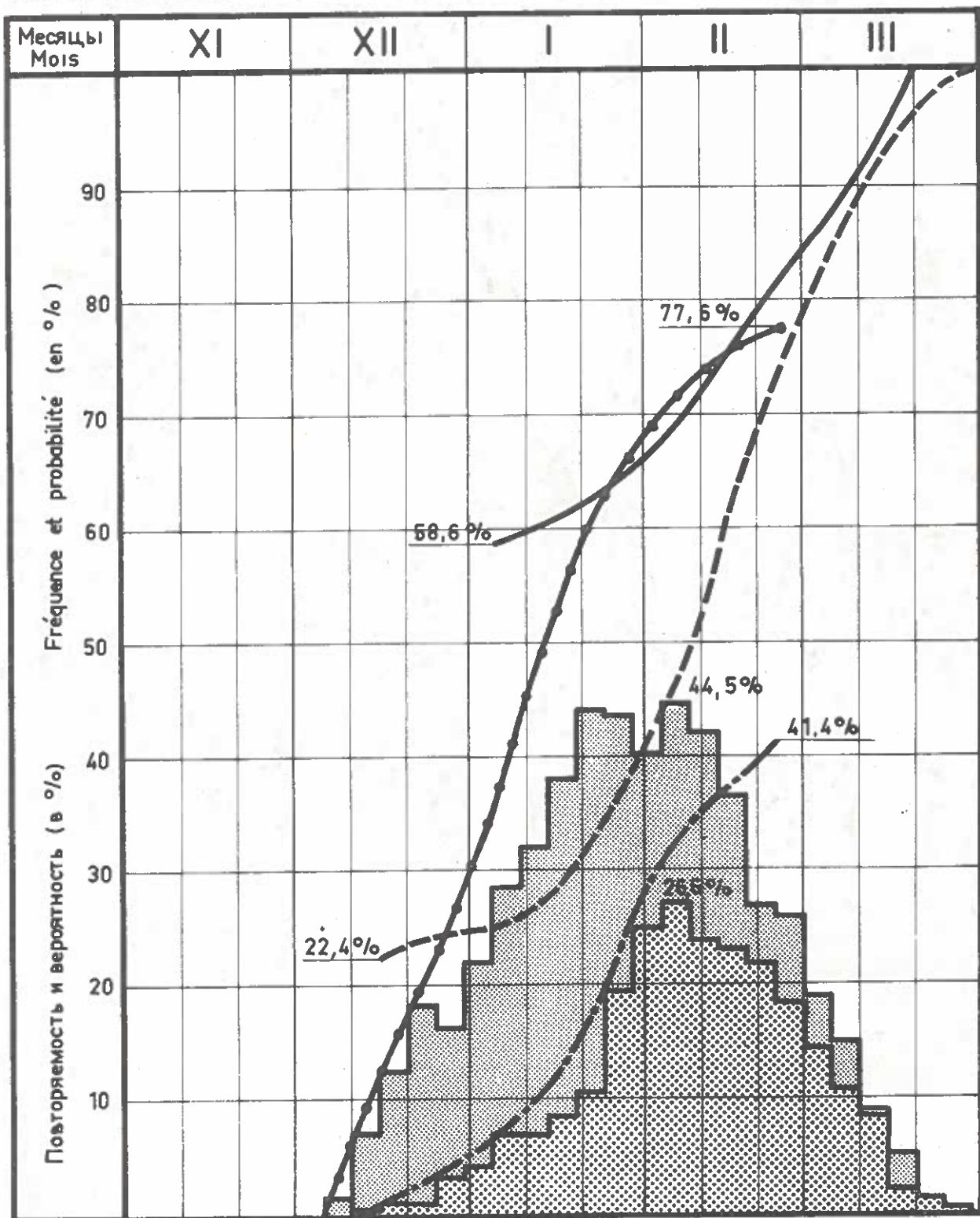
Station hydrométrique NOVI SAD km 1255



ПОВТОРЯЕМОСТЬ ЛЕДОВЫХ ЯВЛЕНИЙ И ИХ ВЕРОЯТНОСТЬ
FRÉQUENCES ET PROBABILITÉS DES DIVERS PHÉNOMÈNES DE GLACES

Водомерный пост ДЖУРДЖУ 493 км

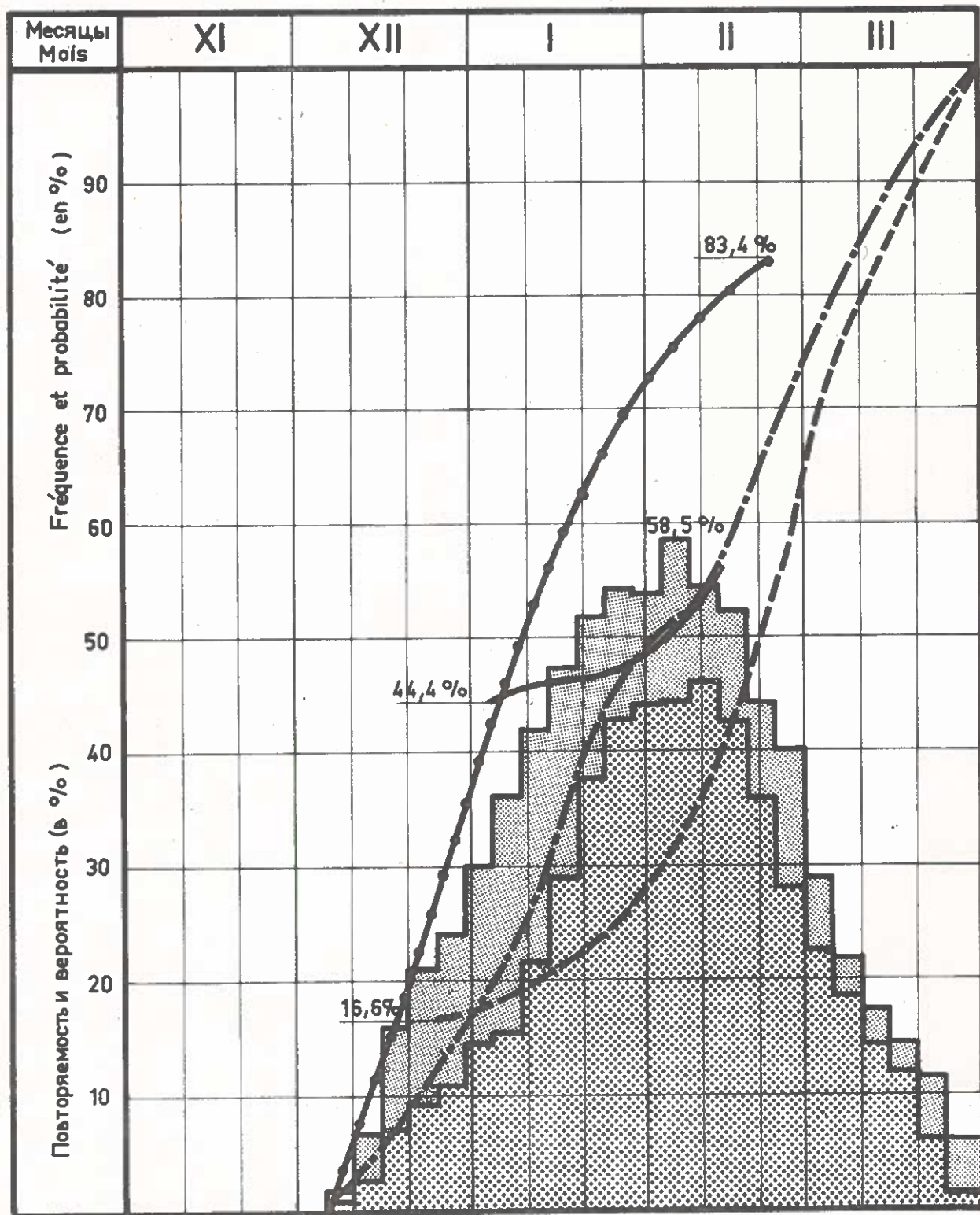
Station hydrométrique GIURGIU km 493



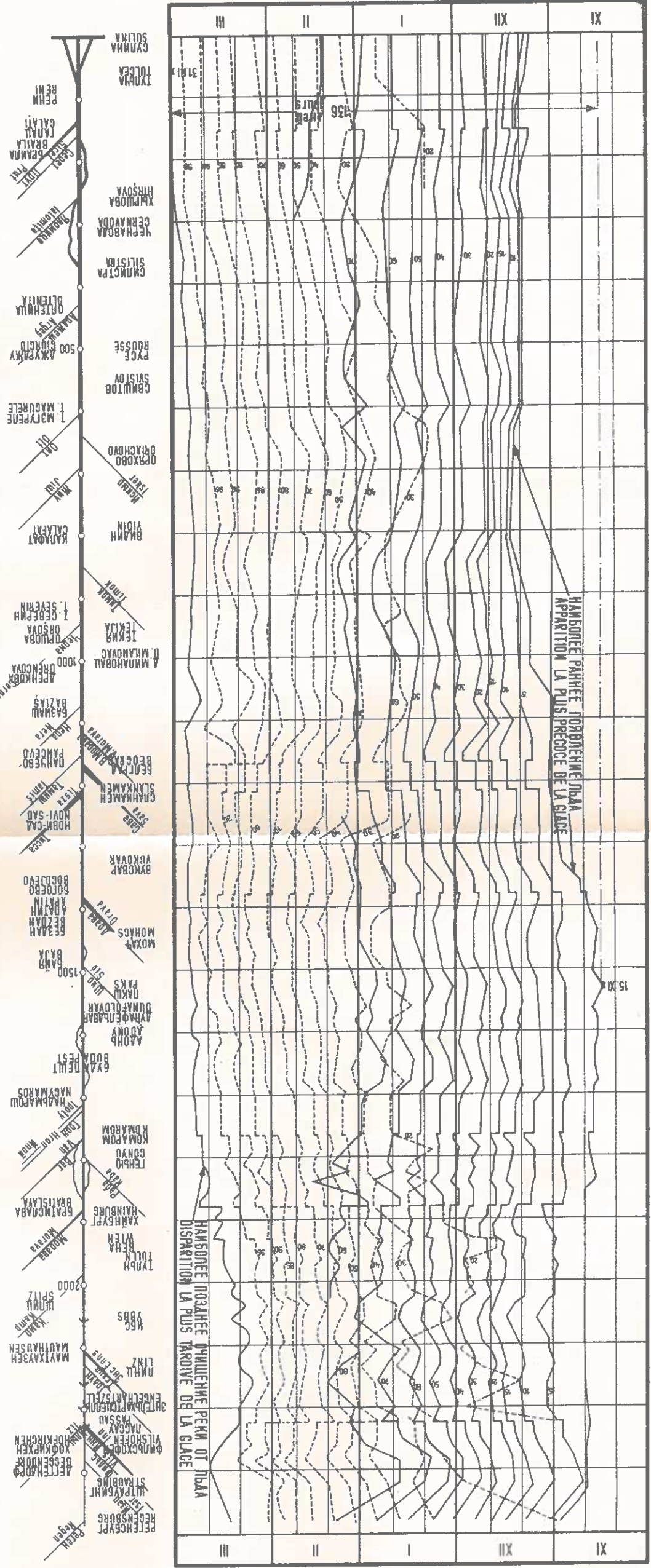
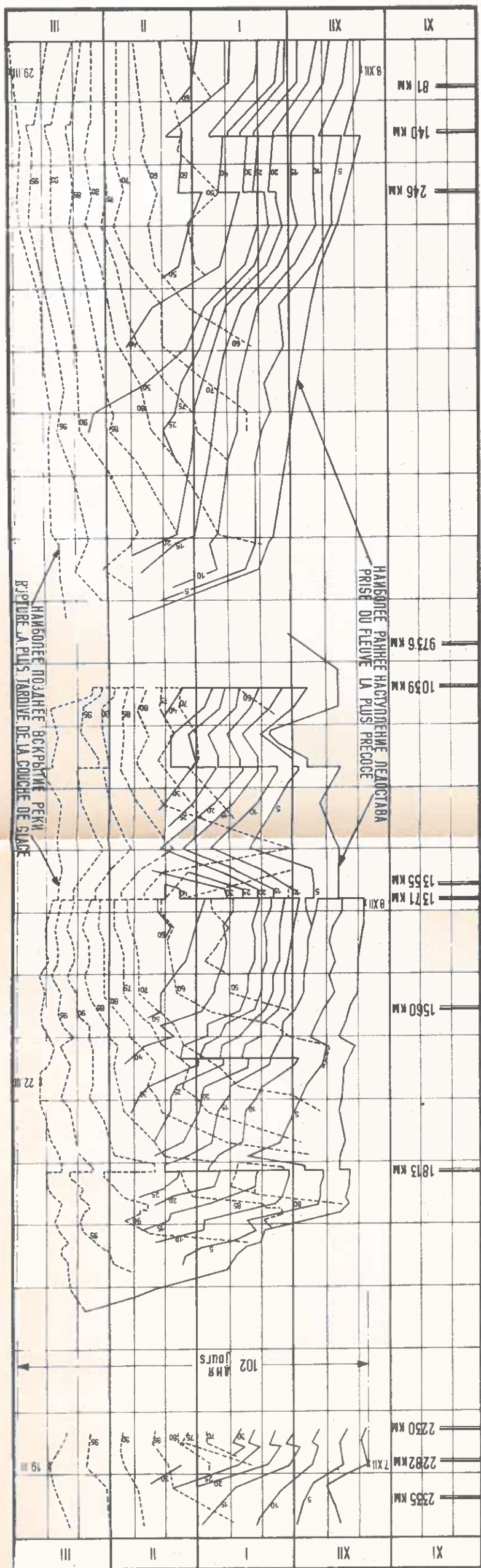
ПОВТОРЯЕМОСТЬ ЛЕДОВЫХ ЯВЛЕНИЙ И ИХ ВЕРОЯТНОСТЬ
FRÉQUENCES ET PROBABILITÉS DES DIVERS PHÉNOMÈNES DE GLACES

Водомерный пост БРАИЛА 170 км

Station hydrométrique BRĂILA km 170



Mecta Segophthoro odpasobahn 3atopob
Endocots de forma^{tion} probable demâciles



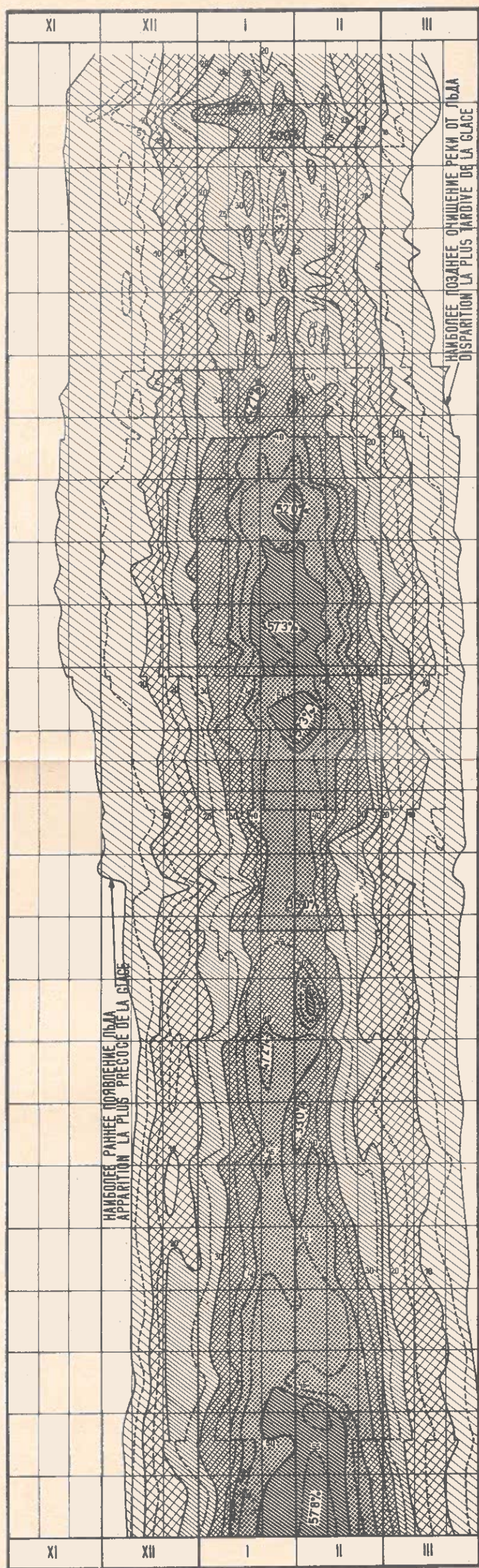
BHACTYUAEHNE UEAQCTABA N BCKPBLTNE PEKIN PRIES DU FLEUVE ET RUPTURE DE LA COUCHE DE GLACE

A NOBUEHNE UBAAN QHUMEHNE PERIN OT UBA A APPARITION ET DISPARITION DES GLACES

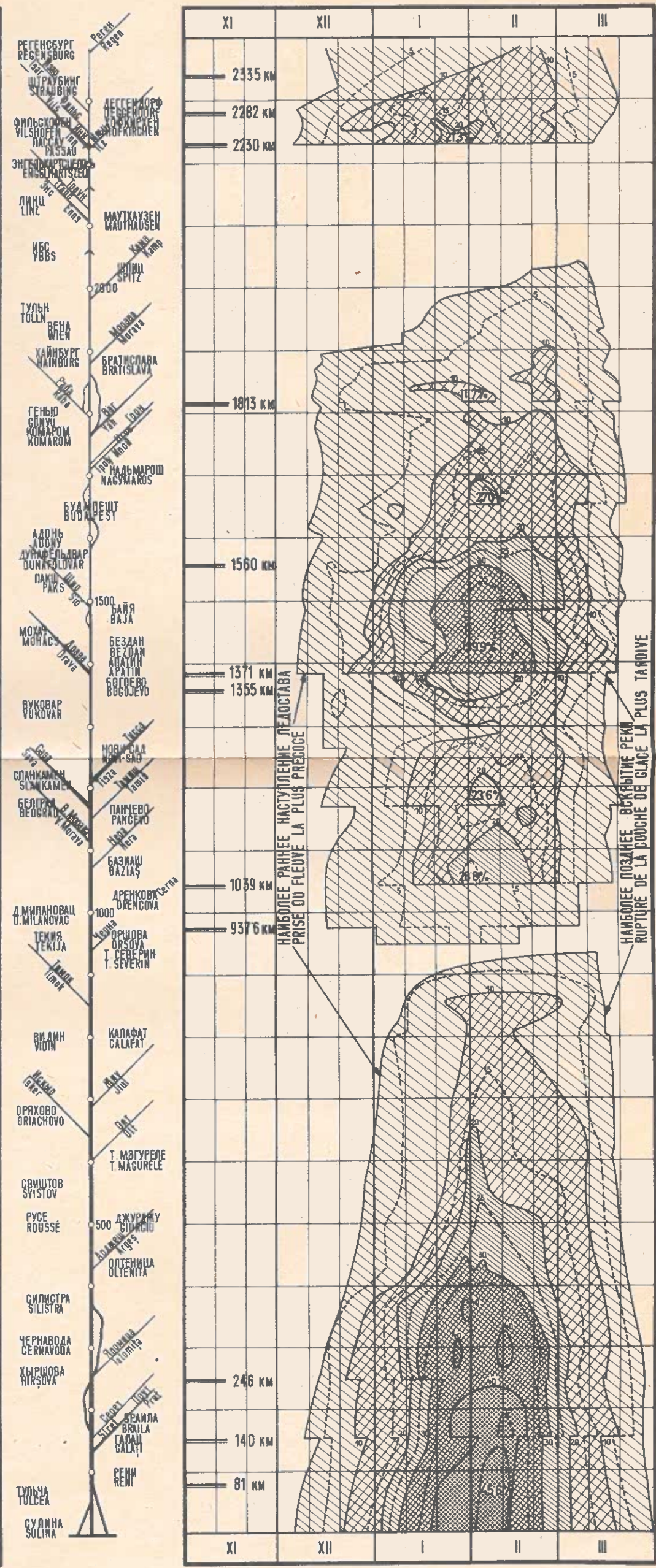
ATBI HACTYUJEHN NEAOBPIX BUHENH C PAJNUHBMN BEPORTOCTAMN/B UPOLIETHAX/ DATS, AVEC DIVERSES PROBABILITES (en %), DE L'APPARITION DES PHENOMENES DE GLACES

ПОВТОРЕМОСТЬ С РАЗЛИЧНОЙ ВЕРОЯТНОСТЬЮ / В % / НАЛИЧИЯ ЛЬДА И ЛЕДОСТАВА
FREQUENCE AVEC DIVERSES PROBABILITES (en %) DE LA PRESENCE DE GLACES ET DE LA PRISE DU FLEUVE

А ПОВТОРЕМОСТЬ НАЛИЧИЯ ЛЬДА
FREQUENCE DE LA PRÉSENCE DE GLACES



В ПОВТОРЕМОСТЬ НАЛИЧИЯ ЛЕДОСТАВА
FREQUENCE DE LA PRISE DU FLEUVE



Повторяемость с различной вероятностью (в %)
Fréquence avec diverses probabilités (en %)

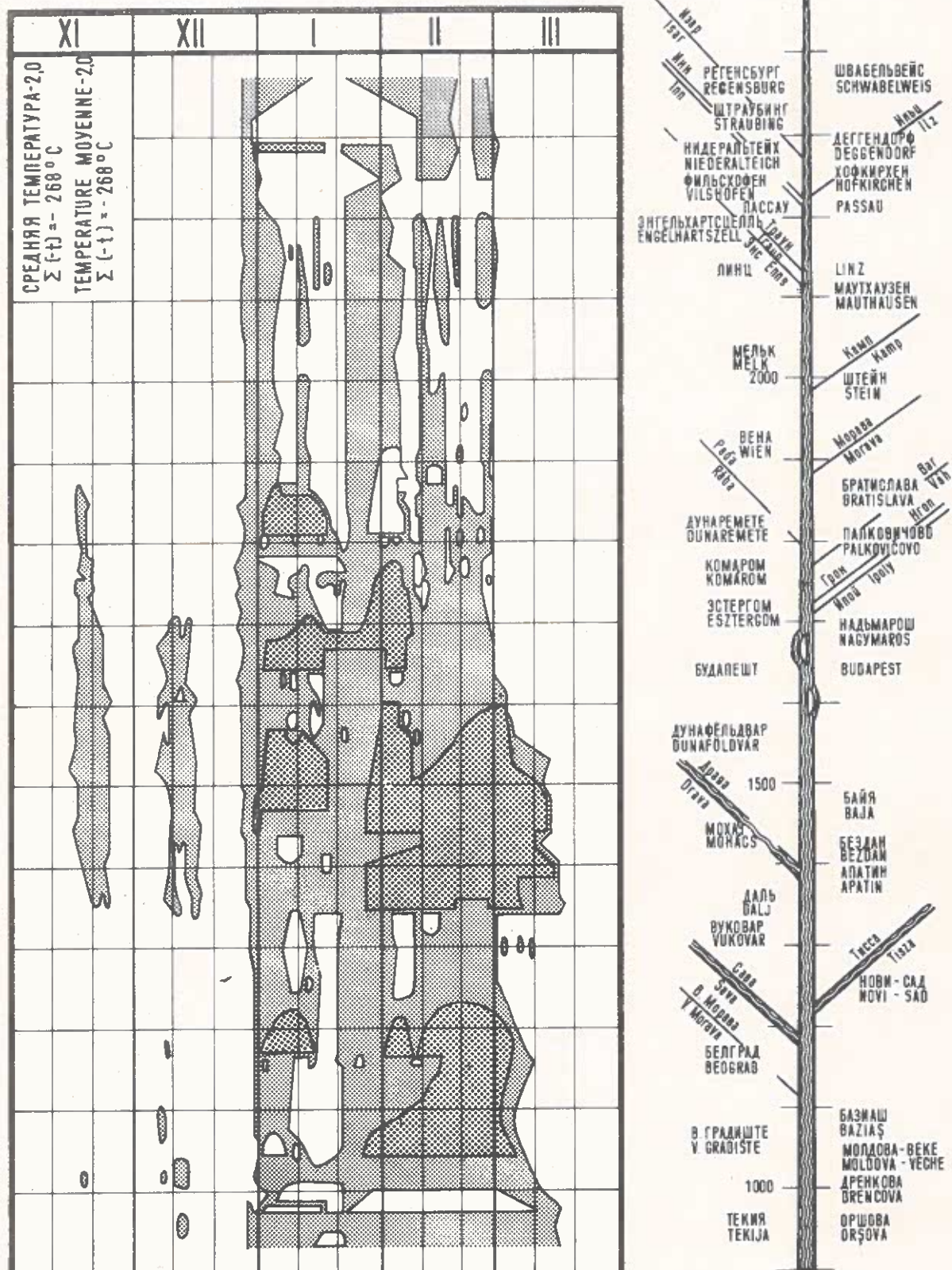
<10 <20 <30 <40 <50 <60

Места вероятного образования заторов
Endroits de formation probable d'embâcles

ЛЕДОВЫЙ РЕЖИМ РЕКИ ДУНАЙ МЕЖДУ РЕГЕНСБУРГОМ И ОРШОВОЙ ЗИМОЙ 1908 /1909 гг.

ПРИЛОЖЕНИЕ № 9
ANNEXE № 9

RÉGIME DES GLACES DU DANUBE ENTRE REGensburg ET ORSOVA AU COURS DE L'HIVER 1908/1909



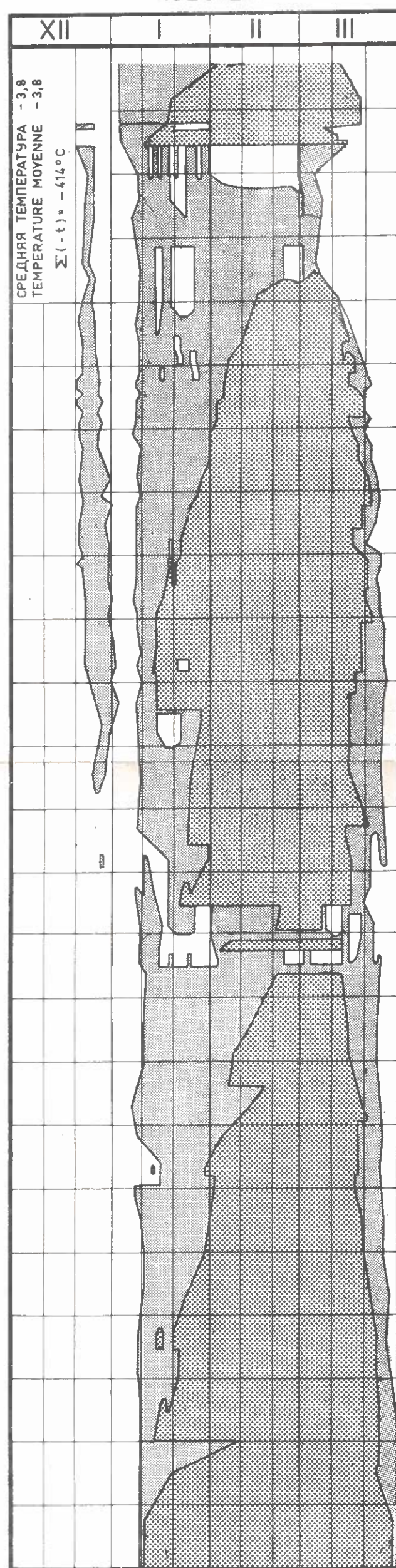
ЛЕДОХОА - CHARRIAGE

ЛЕДОСТАР - PRISE DU FLEUVE

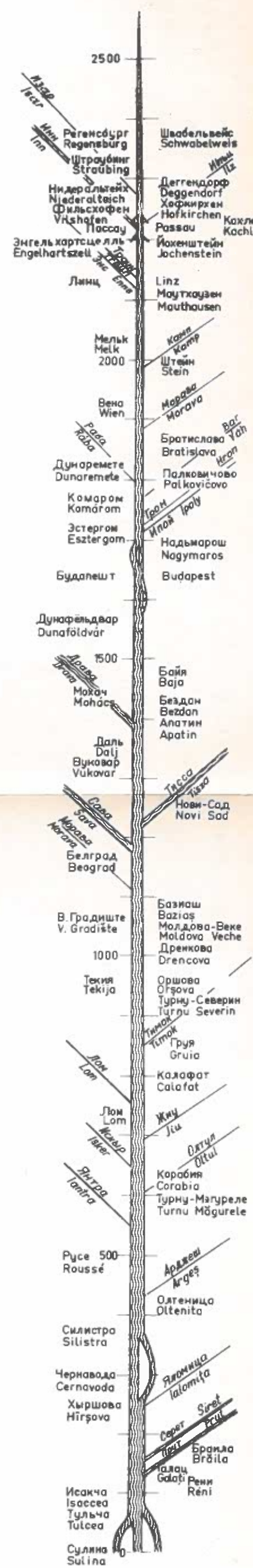
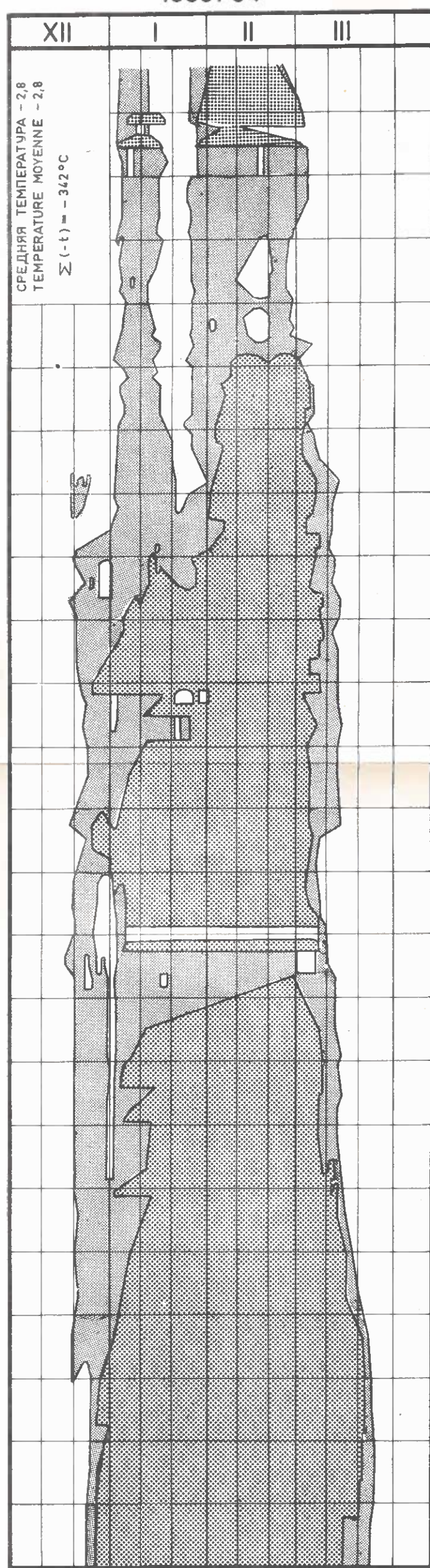
ЛЕДОВЫЙ РЕЖИМ РЕКИ ДУНАЙ ПО ХАРАКТЕРНЫМ ЗИМАМ
RÉGIME DES GLACES DU DANUBE AU COURS D'HIVERS CARACTÉRISTIQUES

ПРИЛОЖЕНИЕ № 10а
ANNEXE № 10a

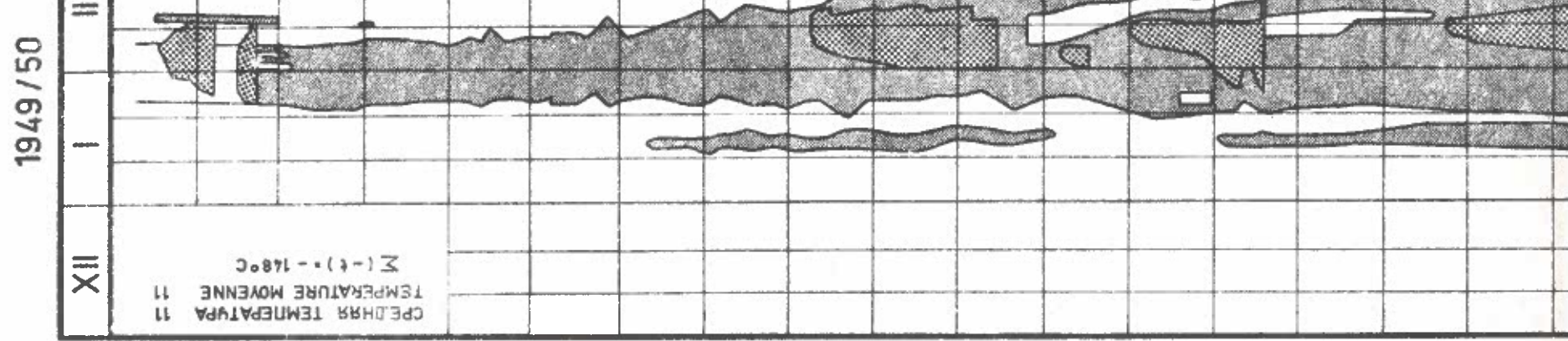
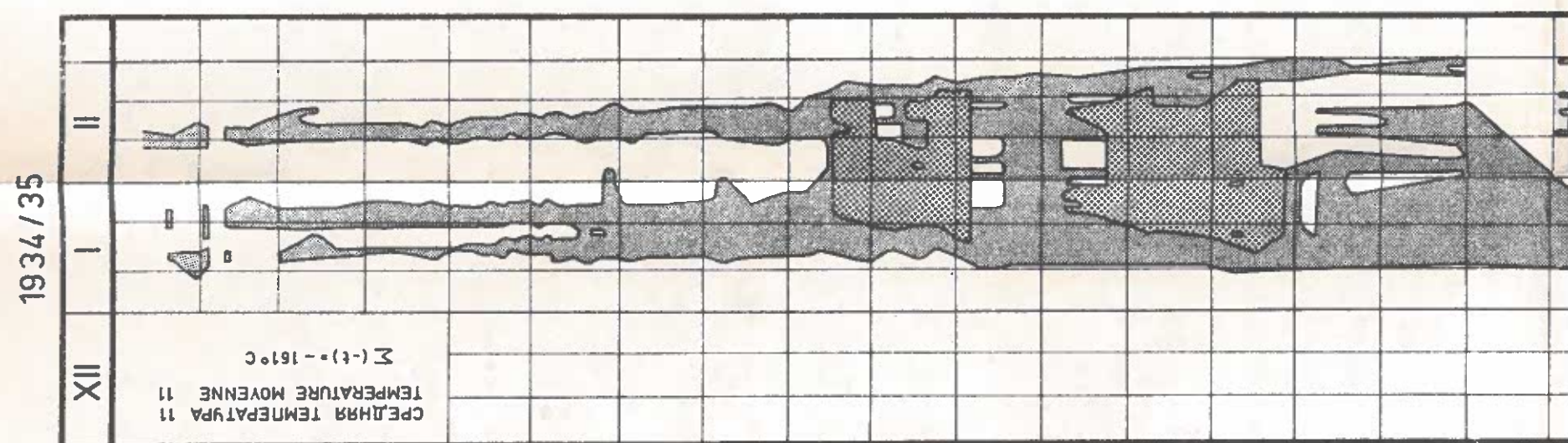
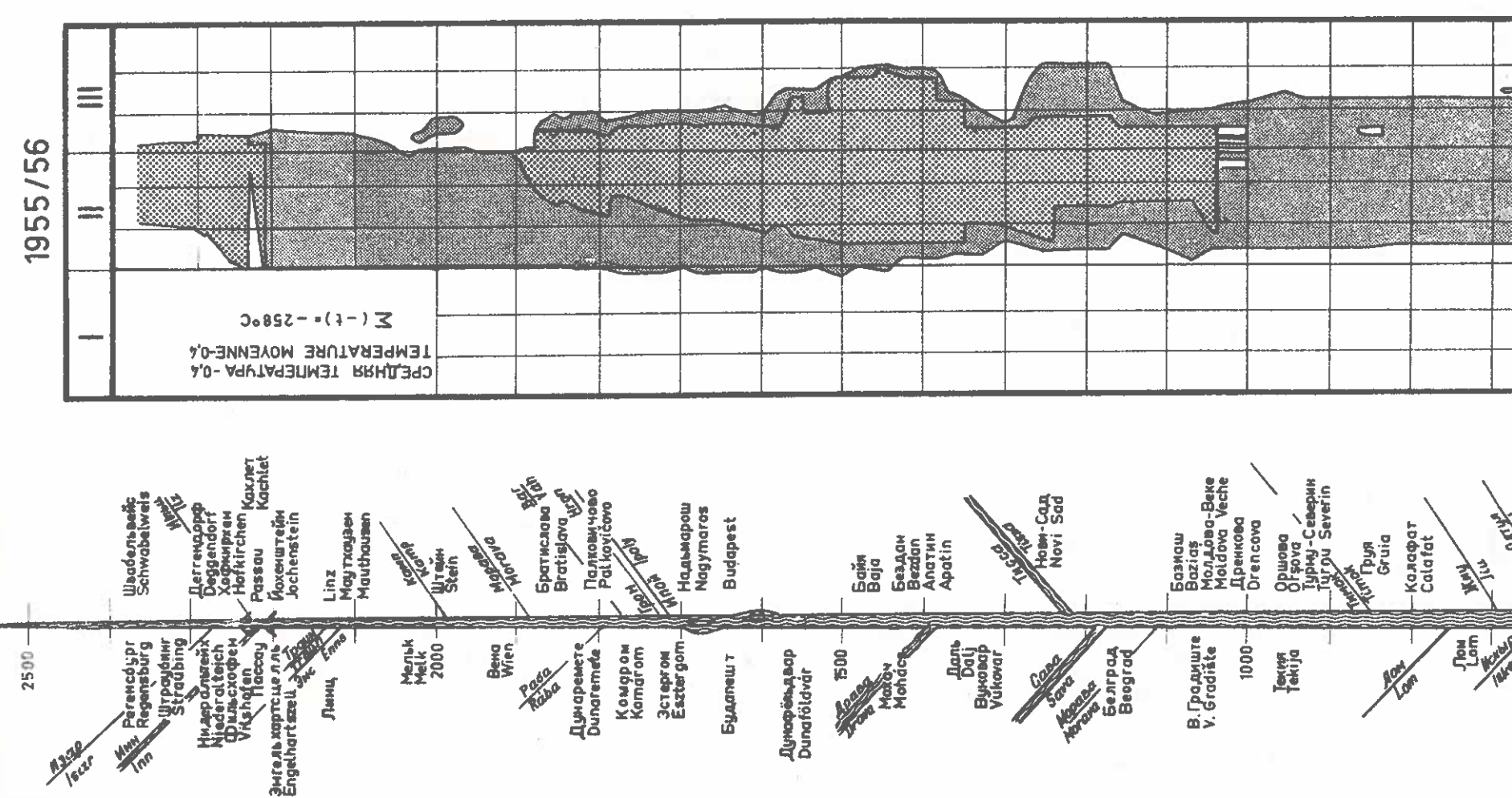
1928/29

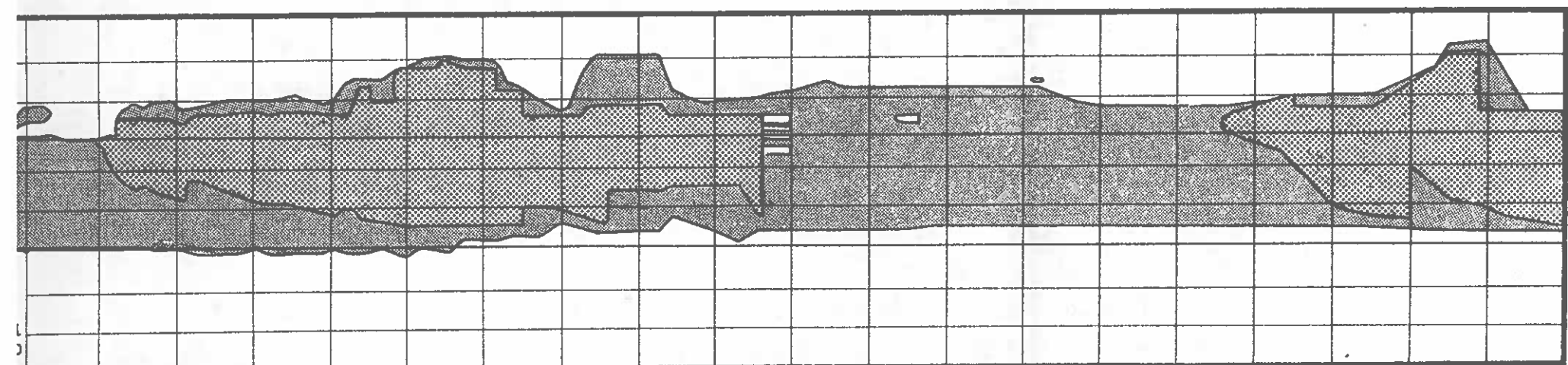
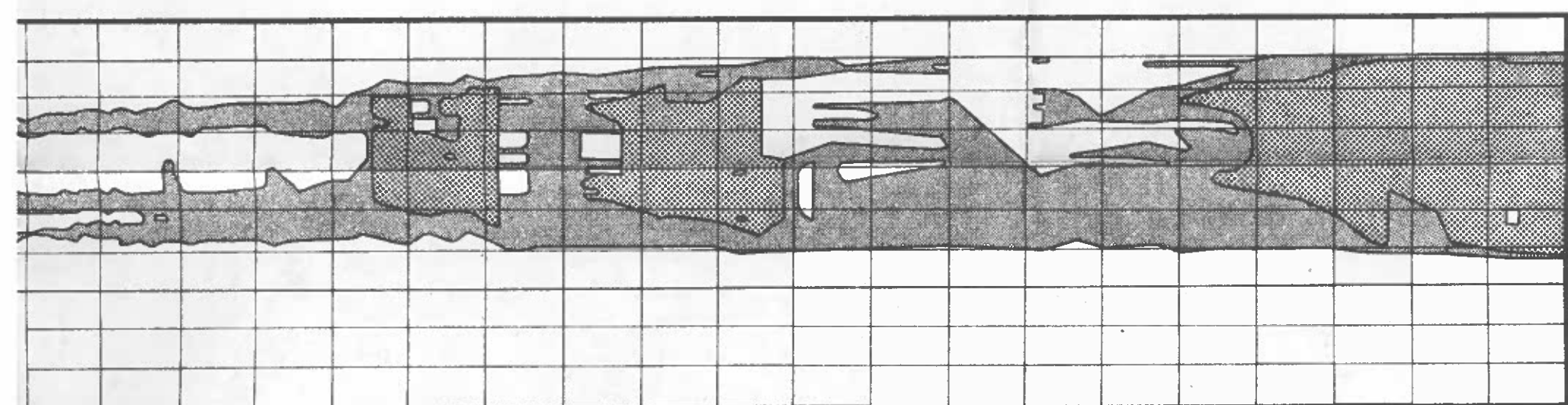
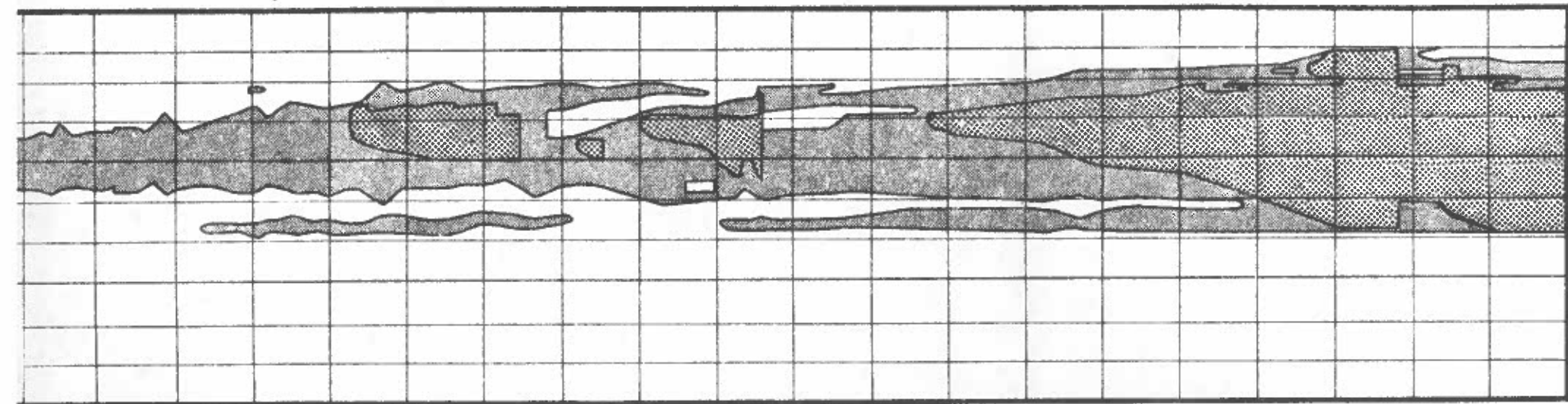


1953/54



ЛЕДОВЫЙ РЕЖИМ РЕКИ ДУНАЙ ПО ХАРАКТЕРНЫМ ЗИМАМ REGIME DES GLACES DU DANUBE AU COURS D'UNIVERS CARACTÉRISTIQUES

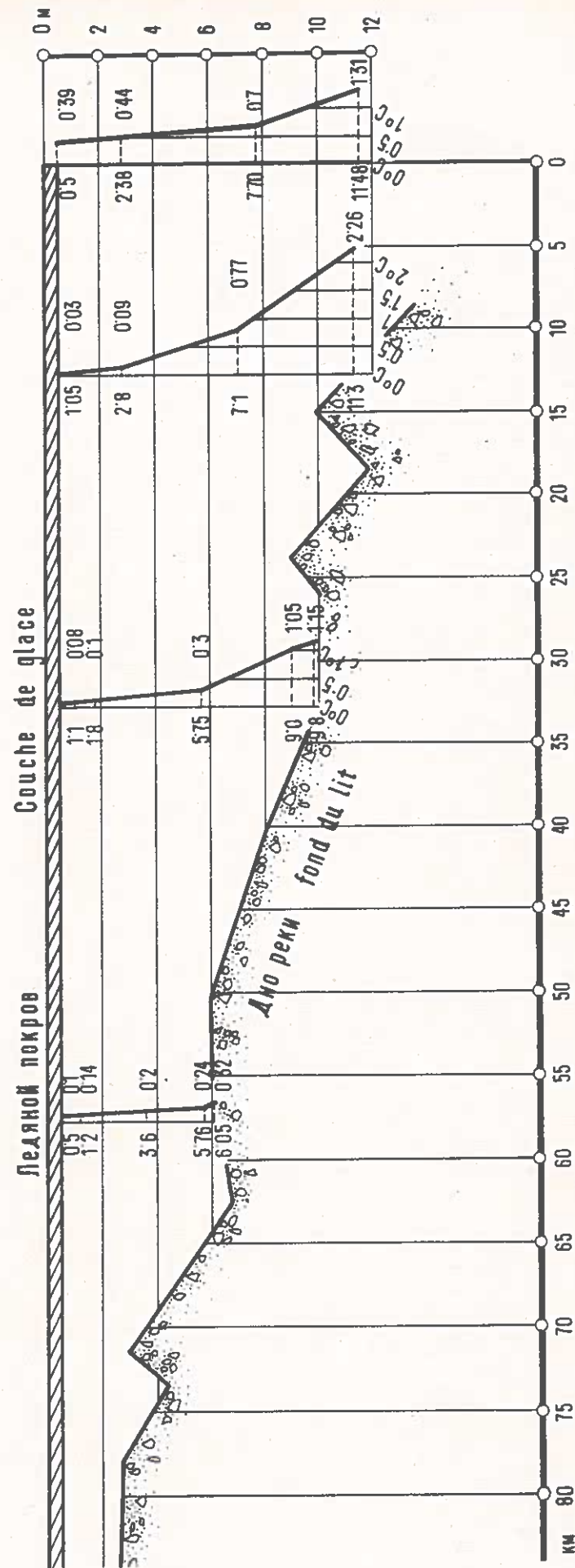




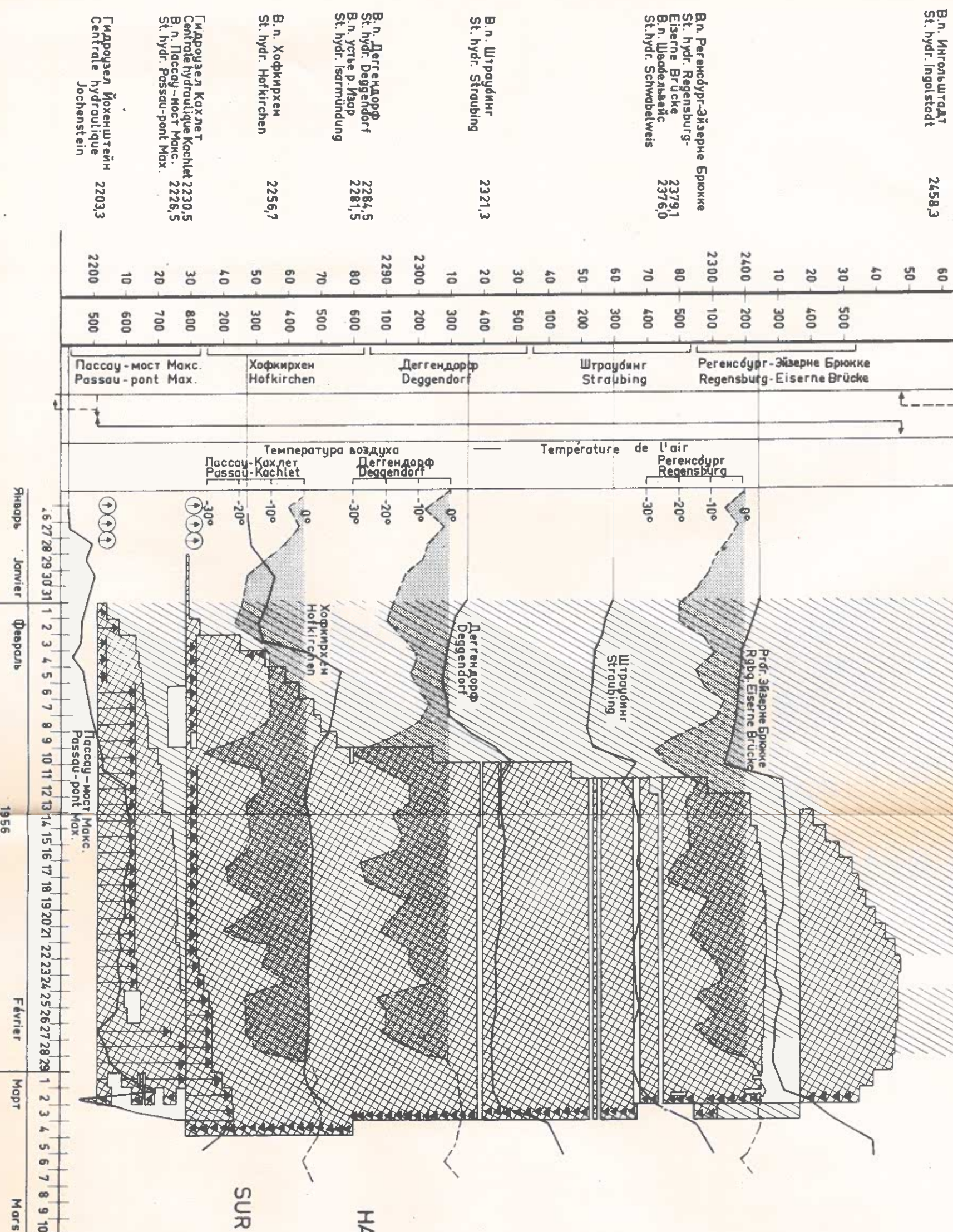
Штайн
Wien
Райна
Райна
Дунайримет
Dunayrime
Комарно
Komárom
Эстергом
Esztergom
Будапешт
Budapest
Дунайфольдвар
Dunaföldvár
Мончест
Monostor
Дал
Dala
Сара
Sara
Нови Сад
Novi Sad
Београд
Belgrade
Бања Лука
Banja Luka
Бања Ваја
Banja Vaja
Бездан
Bezdan
Веден
Vedens
Аранин
Araniin
Базац
Bazač
Мондош-Ваке
Mondos-Vake
Дренкова
Drenkova
Оришча
Orischa
Тирну Северин
Tirnu Severin
Грдја
Grdja
Калафат
Calafat
Жел
Jel
Лом
Lom
Калевир
Kalevir
Янтра
Yantra
Русе
Rousse
Арда
Arda
Олтенія
Oltenia
Силистра
Silistra
Черновод
Cernavoda
Хыршова
Хыршова
Нітрочна
Nitrochna
Серб
Serb
Північний Балкан
Pivnichnyi Balkan
Бранко
Branko
Рени
Renii
Искакча
Isakcha
Іасаса
Iasasa
Тульча
Tulcea
Суліна
Sulina

ледоход
charge
ледостав
prise du fleuve

СРЕДНЯЯ ТЕМПЕРАТУРА ВОДЫ ПОД ЛЬДОМ В ВОДОХРАНИЛИЩЕ
TEMPERATURE MOYENNE DE L'EAU SOUS LA COUCHE DE GLACE
DANS LE BASSIN DE RETENUE

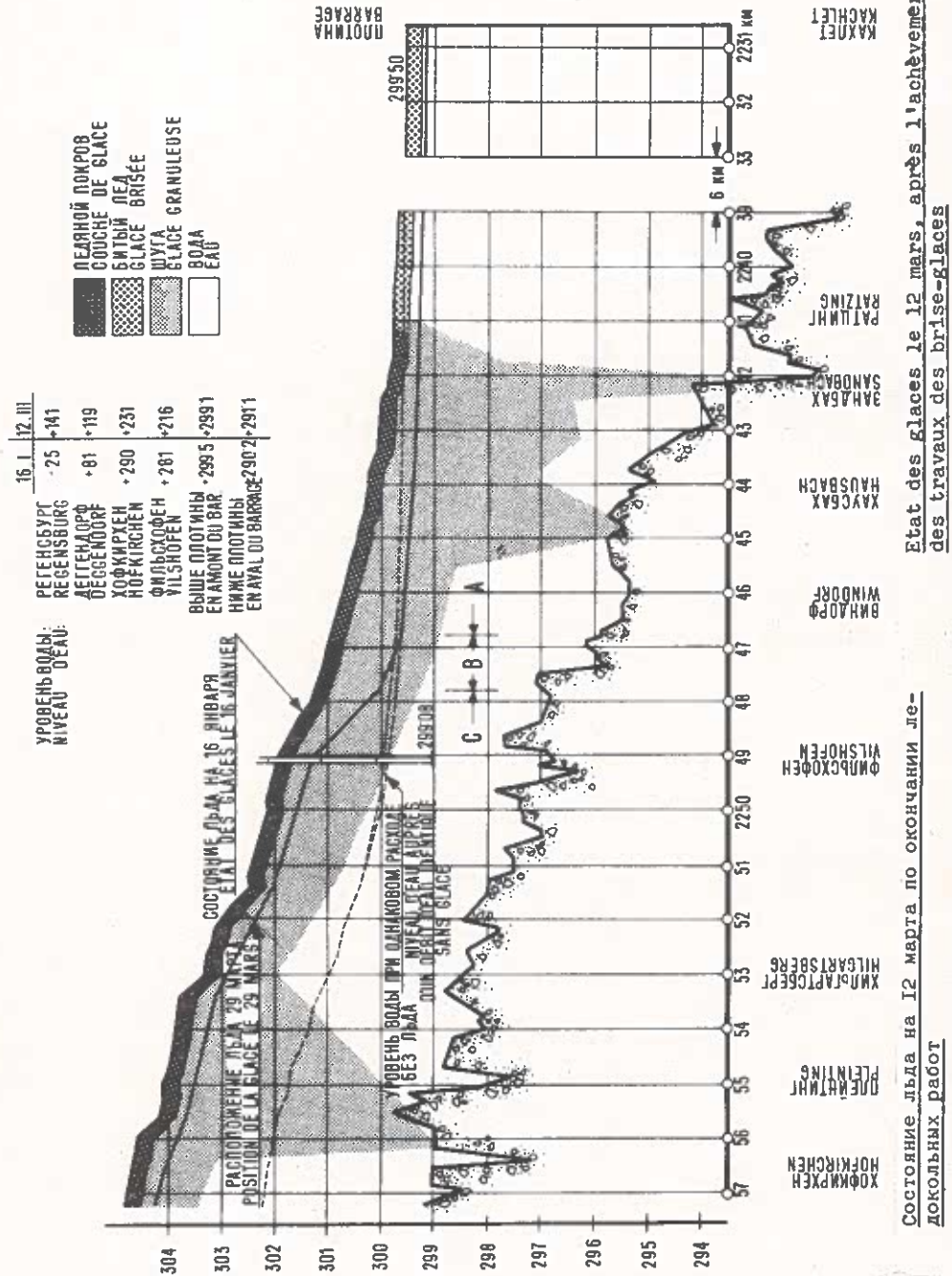


ПРИЛОЖЕНИЕ № 12
ANNEXE № 12
УСЛОВНЫЕ ОБОЗНАЧЕНИЯ:
SIGNES CONVENTIONNELS



ЛЕДОВЫЕ ЯВЛЕНИЯ
НА УЧАСТКЕ ФРГ ЗИМОЙ 1955/56 Г.Г.
SUR LE SECTEUR DE LA RF D'ALLEMAGNE
AU COURS DE L'HIVER 1955/56

ЛЕДОВЫЙ РЕЖИМ В ВЕРХНЕМ БЫЕФЕ ГИДРУЭЛЛА КАХЛЕТ ЗИМОЙ 1928/29 ГГ.
REGIME DES GLACES DANS LE BIEF AMONT DE L'USINE HYDRAULIQUE DE
KACHELET AU COURS DE L'HIVER 1928/1929



Состояние льда на 12 марта по окончании ледокольных работ

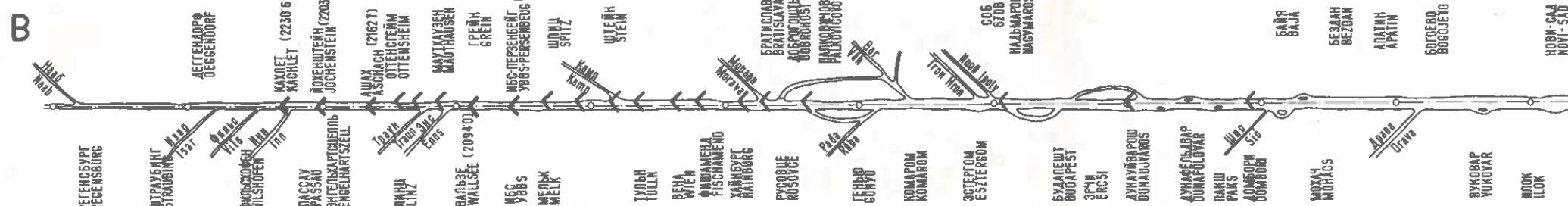
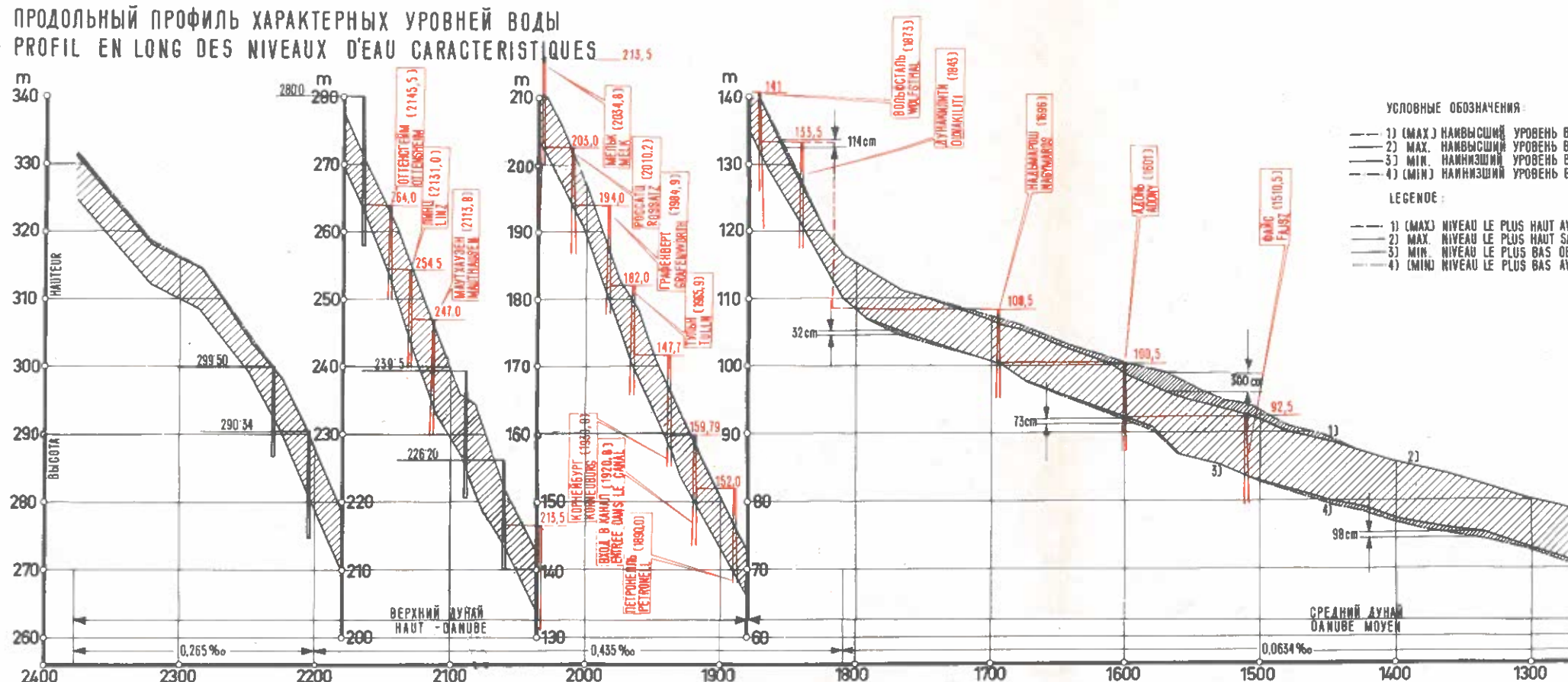
- А. Участок свободный от льда между плотиной и
2246,8 км

Б. Канал, проложенный по льду, между 2246,8 и
2247,8 км

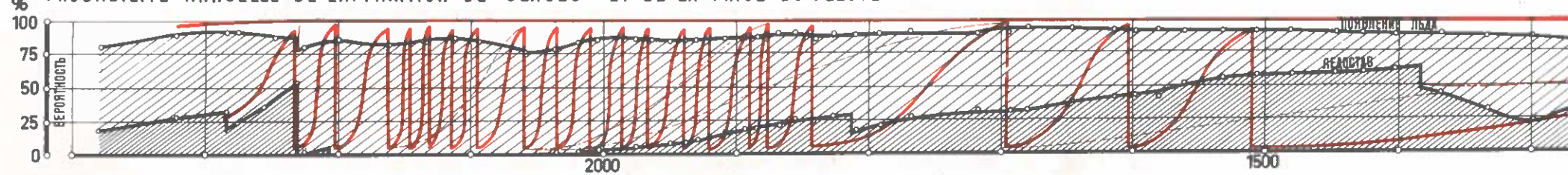
С. Выше 2247,8 км состояние ледяного покрова
идентично состоянию на 16 янвада

ПРОГНОЗИРУЕМЫЕ ИЗМЕНЕНИЯ ХАРАКТЕРИСТИК ЛЕДОВОГО РЕЖИМА ПОСЛЕ СООР MODIFICATIONS PRÉSUMÉES DES CARACTÉRISTIQUES DU RÉGIME DES GLACES APRÈS LA C

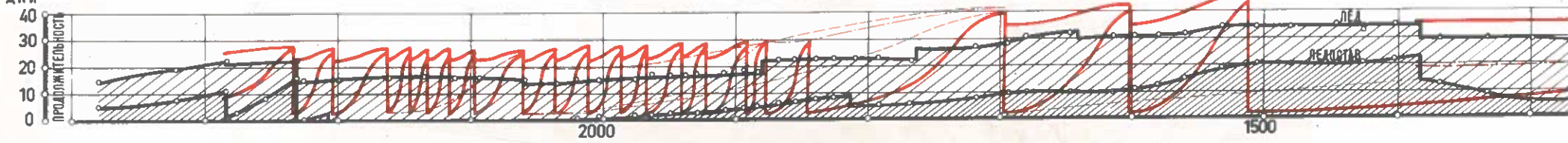
A ПРОДОЛЬНЫЙ ПРОФИЛЬ ХАРАКТЕРНЫХ УРОВНЕЙ ВОДЫ
PROFIL EN LONG DES NIVEAUX D'EAU CARACTÉRIQUES



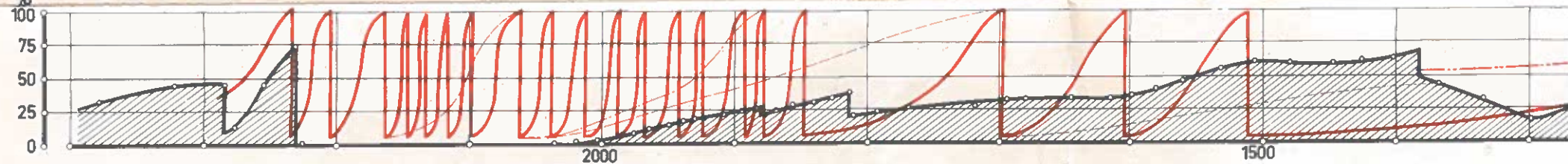
С ГОДОВАЯ ВЕРОЯТНОСТЬ ПОЯВЛЕНИЯ ЛЬДА И НАСТУПЛЕНИЯ ЛЕДОСТАВА
PROBABILITÉ ANNUELLE DE L'APPARITION DE GLACES ET DE LA PRISE DU FLEUVE



Д СРЕДНЯЯ ГОДОВАЯ ПРОДОЛЖИТЕЛЬНОСТЬ НАЛИЧИЯ ЛЬДА И ЛЕДОСТАВА
DUREE MOYENNE ANNUELLE DE LA PRÉSENCE DE GLACES ET DE LA PRISE DU FLEUVE



Е ПОКАЗАТЕЛЬ ЛЕДОСТАВА
INDICE DE LA PRISE DU FLEUVE



ЕНИЯ ГИДРОУЗЛОВ НА ДУНАЕ INSTRUCTION DES CENTRALES HYDRAULIQUES SUR LE DANUBE

ПРИЛОЖЕНИЕ № 14
ANNEXE № 14

